

**INSTITUT TEKNOLOGI NASIONAL MALANG
FAKULTAS TEKNOLOGI INDUSTRI
JURUSAN TEKNIK ELEKTRO
KONSENTRASI TEKNIK ENERGI LISTRIK**



**ANALISA PENEMPATAN KAPASITOR PADA JARINGAN DISTRIBUSI
PRIMER 20kV DENGAN METODE *INTERACTIVE TRADE-OFF*
PADA G.I SENGKALING PENYULANG PUJON**

SKRIPSI

Disusun Oleh :
MUCH. SYUJAI
01.12.116

SEPTEMBER 2006

LEMBAR PERSETUJUAN

**ANALISA PENEMPATAN KAPASITOR PADA JARINGAN
DISTRIBUSI PRIMER 20 kV DENGAN METODE
INTERACTIVE TRADE-OFF PADA G.I SENGKALING
PENYULANG PUJON**

SKRIPSI

*Disusun dan Diajukan Untuk Melengkapi dan
Memenuhi Syarat-Syarat Guna Mencapai Gelar Sarjana Teknik*

Disusun Oleh :
MUCH. SYUJAI
01.12.116



Mengetahui,
Ketua Jurusan Teknik Elektro

Ir. F. YUDI LIMPRAPTONO, MT
NIP.Y. 1039500274

Diperiksa dan disetujui,
Dosen Pembimbing


Ir. H. TAUFIK HIDAYAT, MT
NIP.Y. 10187000151

**KONSENTRASI TEKNIK ENERGI LISTRIK
JURUSAN TEKNIK ELEKTRO S-1
FAKULTAS TEKNOLOGI INDUSTRI
INSTITUT TEKNOLOGI NASIONAL MALANG**

A B S T R A K S I

ANALISA PENEMPATAN KAPASITOR PADA JARINGAN DISTRIBUSI PRIMER 20 kV DENGAN METODE *INTERACTIVE TRADE-OFF* PADA G.J SENGKALING PENYULANG PUJON

(Much Syujai, Nim 01.12.116, Teknik Elektro/T.Energi Listrik S-1)
(Dosen Pembimbing : Ir. H. Taufik Hidayat, MT)

Kata Kunci : Sistem Distribusi Radial, Penempatan Kapasitor, Pengurangan Rugi-rugi, *Node Sensitif, Fixed dan Switched Capacitor, Genetics Algorithm, Metode Interactive Trade-off.*

Dengan meningkatnya usaha disektor industri dan meningkatnya taraf hidup masyarakat maka kebutuhan akan energi listrik semakin meningkat pula, sehingga diperlukan penyediaan energi listrik beserta jaringan dan penyaluran yang sangat baik. Bertambahnya industri-industri menyebabkan peran penggunaan alat-alat listrik akan semakin luas, misalnya motor-motor listrik, trafo, AC, lampu-lampu TL dan lain-lain. Beban industri sangat banyak membutuhkan daya reaktif induktif.

Seiring dengan meningkatnya beban-beban induktif, maka daya reaktif yang ada dijaringan akan semakin besar yang selanjutnya akan memperbesar komponen rugi-rugi daya, disamping itu dapat memperburuk kondisi tegangan. Untuk mereduksi rugi daya solusinya dengan pemasangan kapasitor. Dalam skripsi ini digunakan *Metode Interactive Trade-off* untuk penempatan kapasitor dan besar kapasitas kapasitor yang optimal pada jaringan. Perhitungan aliran daya menggunakan *Metode Newton Raphson* diterapkan untuk mengetahui perubahan hasil dari pemasangan kapasitor.

Pada penyulang Pujon 20 kV dipasang 5 buah kapasitor yaitu pada *node* 52 dengan kapasitas 210 kVAR, *node* 56 dengan kapasitas 210 kVAR, *node* 72 dengan kapasitas 210 kVAR, *node* 82 dengan kapasitas 210 kVAR dan *node* 98 dengan kapasitas 210 kVAR. Besarnya penurunan rugi daya aktif adalah 22,905 kW dari sebelum pemasangan kapasitor 129,862 kW menjadi 106,957 kW, sedangkan untuk daya reaktif juga terjadi penurunan sebesar 28,308 kVAR dari sebelum pemasangan kapasitor 161,362 kVAR menjadi 133,054 kVAR. Tegangan tiap node meningkat sedangkan aliran daya dan arus menurun pada setiap saluran.

Biaya tahunan sebelum pemasangan kapasitor sebesar US \$ 63,131 atau sebesar Rp. 587.118.300,-/tahun, sedangkan total biaya tahunan setelah pemasangan kapasitor sebesar US \$ 45,507 atau sebesar Rp. 423.215.100,-/tahun (asumsi 1 US \$ adalah Rp. 9.300,-) sehingga keuntungan yang di dapat adalah sebesar US \$ 17,624 atau sebesar Rp. 163.903.200,-/tahun.

KATA PENGANTAR

Dengan mengucapkan puji syukur kehadirat Tuhan Yang Maha Esa, atas rahmat dan karunia-Nya memungkinkan penulis dapat menyelesaikan skripsi yang berjudul, “ANALISA PENEMPATAN KAPASITOR PADA JARINGAN DISTRIBUSI PRIMER 20 kV DENGAN METODE INTERACTIVE TRADE-OFF PADA G.I SENGKALING PENYULANG PUJON”.

Skripsi ini bertujuan untuk memenuhi kurikulum akademik yang harus ditempuh oleh setiap mahasiswa ITN Malang guna mengakhiri pendidikan pada jenjang strata satu jurusan Teknik Elektro konsentrasi Teknik Energi Listrik di Institut Teknologi Nasional Malang.

Atas segala bimbingan, pengarahan dan bantuan yang diberikan, sehingga tersusunnya skripsi ini, maka penulis menyampaikan terima kasih kepada :

1. **Ir. Mochtar Asroni, MSME**, selaku Dekan FTI ITN Malang.
2. **Ir. F Yudi Limpraptono, MT**, selaku Ketua Jurusan Teknik Elektro (S1) ITN Malang.
3. **Ir. Mimin Mustikawati** selaku Sekretaris Jurusan Teknik Elektro (S1) ITN Malang.
4. **Ir. H. Taufik Hidayat, MT**, selaku bapak dan dosen pembimbing.

Akhirnya penulis mengharapkan skripsi dapat berguna dan bermanfaat bagi rekan-rekan mahasiswa khususnya pada jurusan Teknik Elektro S-1 konsentrasi Teknik Energi Listrik.

Malang, September 2006

Penulis

UcaPan TeriMA KaSiH

SyUkUr

**" AdaLaH SuAtu HaL YanG MeNggeMbirakan, BiLa Dalam
SuaTU AktIfitaS Yang Kita Lakukan Dapat BerJalan
Dengan BaIK Dan Lancar TanPa aDanya Suatu HalangAN
ApApun.**

TerMasuk Juga DidALamNya KetIka Kita Lulus "



**Terima Kasih Kepada Semua Yang Telah MembanTu, Memotivasi dan menyadarkan
Aku Untuk Segera Menyelesaikan Skripsi Ini,**

**" SEMOGA ALLAH SWT, AKAN MEMBALAS BUDI BAIK
KALIAN SEMUA "**

TERUNTUK YANG KUCINTA DAN KUSAYANG

**" UMI', ABA, NE'NG HJ. EMMA, MAS MAMAD, MAS ROZI DAN
ADE'Q ILMIAH.**

DAFTAR ISI

	Halaman:
HALAMAN JUDUL	i
LEMBAR PERSETUJUAN	ii
ABSTRAKSI.....	iii
KATA PENGANTAR	iv
DAFTAR ISI.....	vi
DAFTAR GAMBAR	xi
DAFTAR TABEL.....	xiv
DAFTAR GRAFIK	xv
 BAB I PENDAHULUAN	
1.1. Latar Belakang	1
1.2. Rumusan Masalah.....	2
1.3. Tujuan	2
1.4. Batasan Masalah.....	3
1.5. Metodologi Penelitian	3
1.6. Sistematika Penulisan	4
 BAB II SISTEM DISTRIBUSI TENAGA LISTRIK DAN APLIKASI KAPASITOR	
2.1. Sistem Tenaga Listrik	6
2.2. Sistem Distribusi Tenaga Listrik.....	7

2.1.1. Sistem Distribusi Primer (Jaringan Tegangan Menengah)	8
2.1.2. Sistem Distribusi Sekunder (Jaringan Tegangan Rendah).....	8
2.3. Struktur Jaringan Distribusi Tenaga Listrik	9
2.3.1. Sistem Jaringan Distribusi Radial	9
2.3.2. Sistem Jaringan Distribusi Tertutup (Loop)	10
2.3.3. Sistem Jaringan Distribusi <i>Mesh</i>	11
2.4. Macam-Macam Struktur Jaringan Distribusi Radial.....	11
2.4.1. Sistem Radial Pohon	12
2.4.2. Sistem Radial Dengan <i>Tie</i> dan <i>Switch</i> Pemisah.....	13
2.4.3. Sistem Radial Dengan Pembagian <i>Pase Area</i>	14
2.4.4. Sistem Radial Dengan Beban Terpusat.....	15
2.5. Daya Dalam Sistem Tenaga Listrik	16
2.5.1. Daya Nyata (<i>Real Power</i>)	16
2.5.2. Daya Reaktif (<i>Reaktive Power</i>).....	17
2.5.3. Daya Semu (<i>Apparent Power</i>)	17
2.6. Daya Reaktif dan Faktor Daya.....	17
2.7. Kapasitor Daya.....	20
2.7.1. Kapasitor Seri dan Kapasitor <i>Shunt</i>	20
2.7.2. Faktor-Faktor Pemilihan Kapasitor Seri dan Kapasitor Shunt..	21
2.8. Pengaruh Pemasangan Kapasitor <i>Shunt</i>	22
2.8.1. Pengurangan Rugi-Rugi Saluran dengan Kapasitor <i>Shunt</i>	23
2.8.2. Perbaikan Tegangan	25
2.8.3. Perbaikan Faktor Daya dan Kenaikan Kapasitas Sistem	26

2.8.4. Perhitungan Pengaruh Perbaikan Faktor Daya	27
2.8.5. Penentuan Rating Kapasitor untuk Perbaikan Faktor Daya Beban	29
2.9. Sistem <i>Per-Unit</i>	30

**BAB III ANALISIS PENENTUAN LETAK DAN KAPASITAS
KAPASITOR PADA JARINGAN DISTRIBUSI 20 kV TIPE
RADIAL DENGAN METODE *INTERACTIVE TRADE-OFF***

3.1. Analisa Aliran Daya Jaringan Radial.....	32
3.1.1 Tujuan	32
3.1.2. Metode <i>Newton Raphson</i>	32
3.1.3. Algoritma Aliran Daya <i>Newton Raphson</i>	35
3.1.4. <i>Flowchart</i> Algoritma Aliran Daya <i>Newton Raphson</i>	36
3.2. Penyelesaian Metode <i>Interactive Trade-off</i>	37
3.2.1. Algoritma Genetika.....	37
3.2.1.1.Istilah-istilah Algoritma Genetika.....	39
3.2.1.2.Proses Algoritma Genetika	41
3.2.1.3.Elitsm	45
3.2.1.4.Crossover.....	46
3.2.1.5.Mutasi.....	47
3.3. Metode <i>Interactive Trade-off</i>	49
3.3.1. Fungsi Tujuan (<i>Objective Function</i>)	50
3.3.2. Meminimalkan Pengeluaran Konstruksi Kapasitor (<i>Minimise The Capacitor Construction Expenditures</i>)	50

3.3.3. Meminimalkan Kehilangan Daya Nyata (<i>Minimise The real Power Loss</i>).....	51
3.3.4. Meminimalkan Penyimpangan Tegangan Bus (<i>Minimise The Deviation of Voltage</i>)	51
3.3.5. Memaksimalkan <i>Scurity Margin</i> Dari Feeder dan Transformator.....	52
3.3.6. Optimisasi Multi Tujuan (<i>Multi-Objective Optimisation</i>)	53
3.3.7. Teknik ϵ -Penghambat (ϵ - <i>Constrain Technique</i>)	54
3.3.8. Algoritma Pemecahan Masalah.....	55
3.3.9. Algoritma Program Solusi <i>Interactive Trade-off</i>	56
3.3.10. <i>Flowchart</i> Algoritma Pemecahan Masalah.....	57
3.3.11. <i>Flowchart</i> Algoritma Solusi <i>Interactive Trade-off</i>	58
BAB IV ANALISA PENENTUAN LETAK, KAPASITAS KAPASITOR, JUMLAH PADA JARINGAN DISTRIBUSI 20 kV TIPE RADIAL PENYULANG PUJON	
4.1. Program Komputer Penentuan Letak, Kapasita Kapasitor, Jumlah Pada Jaringan Distribusi Radial Penyulang Pujon	59
4.2. Sistem Distribusi Tenaga Listrik 20 kV G.I Sengkaling Penyulang Pujon	59
4.3. Data Saluran	62
4.4. Pembebanan Sistem 20kV Penyulang Pujon	64

4.5.	Data Kapasitas Kapasitor dan Harga (<i>cost/kVAR</i>).....	66
4.6.	Prosedur Pelaksanaan Program Perhitungan.....	67
4.7.	Analisa Perhitungan	60

BAB V KESIMPULAN

5.1.	Kesimpulan	81
------	------------------	----

DAFTAR PUSTAKA

LAMPIRAN

DAFTAR GAMBAR

Gambar :	Halaman :
2.1 Skema Penyaluran Energi Listrik.....	6
2.2. Jaringan Distribusi Tegangan Menengah (JTM), Jaringan Tegangan Rendah (JTR) dan Sambungan Rumah ke Pelanggan.....	7
2.3. Jaringan Tegangan Menengah Sistem Distribusi Radial	9
2.4. Jaringan Tegangan Menengah Struktur Loop yang dipasok dari satu sumber	10
2.5. Jaringan Tegangan Menengah Struktur <i>Mesh</i>	11
2.6. Sistem radial jaringan pohon.....	13
2.7. Sistem Radial Dengan <i>Tie</i> dan <i>Switch</i> Pemisah.....	14
2.8. Sistem Radial Dengan Pembagian <i>Phase Area</i>	15
2.9. Sistem Radial Dengan Beban Terpusat	16
2.10. Segi Tiga Daya.....	18
2.11. Segi Tiga Arus.....	19
2.13. Saluran Primer Dengan Beban Tepusat	19
2.14. Vektor arus dan tegangan sebelum dan setelah pemasangan kapasitor	24
2.15. Diagram vector pada rangkaian dengan pf <i>lagging</i> (a) dan (c) tanpa kapasitor shunt, (b) dan (d) dengan kapasitor <i>shunt</i>	25
2.16. Perbaikan faktor Daya.....	26
2.17. Diagram Fasor dan Sudut Daya Beban Distribusi	28

3.1.	<i>Flowchart</i> Algoritma Aliran Daya Newton Raphson.....	35
3.2.	Roulette-Wheel	44
3.3.	Pembentukan Next Generation dalam Algoritma Genetika.....	46
3.4.	Ilustrasi Operator Dengan One Point Crossover.....	47
3.5.	Ilustrasi Operator Dengan Two Point Crossover	47
3.6.	Ilustrasi Operator Dengan Uniform Crossover	47
3.7.	Ilustrasi Operator Mutasi Untuk Representasi String Biner.....	48
3.8.	Ilustrasi Operator Mutasi Untuk Representasi Integer.....	48
3.9.	<i>Flowchart</i> Algoritma Pemecahan Masalah.....	57
3.10.	<i>Flowchart</i> Algoritma Solusi <i>Interactive Trade-Off</i>	58
4.1.	<i>Single Line Diagram</i> Penyulang Pujon Sebelum Penempatan Kapasitor .	61
4.2.	Tampilan Utama Program	67
4.3.	Tampilan Inputan Data (General)	67
4.4.	Tampilan Inputan Data (Data Pembebanan)	68
4.5.	Tampilan Inputan Data (Data Saluran)	68
4.6.	Tampilan Hasil Aliran Daya Untuk Mengetahui Harga Tegangan Dan Sudut Fasa Tiap-tiap Bus Sebelum Kompensasi	69
4.7.	Tampilan Hasil Aliran Daya Untuk Arus yang Mengalir pada Saluran dan Daya tiap Saluran Sebelum Kompensasi	69
4.8.	Tampilan Total Pembangkitan, Pembebanan, dan Rugi-rugi Sebelum Kompensasi	70
4.9.	Tampilan Parameter Yang Digunakan	70
4.10.	Tampilan Hasil Aliran Daya Untuk Mengetahui Harga Tegangan Dan Sudut Fasa Tiap-tiap Bus Setelah Kompensasi	71

4.11.	Tampilan Hasil Aliran Daya Untuk Arus yang Mengalir pada Saluran dan Daya tiap Saluran Setelah Kompensasi	71
4.12.	Tampilan Total Pembangkitan, Pembebanan, dan Rugi-rugi Setelah Kompensasi	72
4.13.	Hasil Penempatan Metode <i>Interactive- Trade-Off</i>	72
4.14.	Hasil Program Penempatan Metode <i>Interactive Trade-off</i>	75
4.15.	<i>Single Line Diagram</i> Penempatan Kapasitor Metode <i>Interactive Trade-off</i>	76

BAB I

PENDAHULUAN

1.1. Latar Belakang

Dengan meningkatnya usaha di sektor industri dan meningkatnya taraf hidup masyarakat maka kebutuhan akan energi listrik semakin meningkat pula, sehingga diperlukan penyediaan energi listrik beserta jaringan dan penyaluran yang sangat baik. Bertambahnya industri-industri menyebabkan peran penggunaan alat-alat listrik akan semakin luas, misalnya motor-motor listrik, trafo, AC, lampu-lampu penerangan dan lain lain. Beban industri sangat banyak membutuhkan daya reaktif induktif. Dengan meningkatnya beban-beban induktif, maka memperbesar komponen rugi-rugi daya, disamping itu dapat memperburuk kondisi tegangan.

Altenatif yang sering dipakai untuk memperbaiki kondisi jaringan akibat adanya rugi-rugi tersebut adalah memasang daya reaktif tambahan disisi beban salah satunya adalah pemasangan kapasitor.

Banyak metode yang dipakai dalam menganalisa masalah penentuan penempatan dan besar kapasitor pada jaringan distribusi, pada umumnya banyak teknik untuk membahas masalah alokasi kapasitor dengan menggunakan metode-metode konvensional tetapi pembahasan-pembahasan yang dilakukan masih kurang dan masih dilakukan analisa yang lebih mendalam lagi.

Hal ini mendorong penulis untuk mengangkat permasalahan dengan menggunakan metode *Interactive trade-Off* dapat menjadi salah satu alternatif yang efektif untuk penempatan kapasitor dalam jaringan distribusi primer.

1.2. Rumusan Masalah

Salah satu cara pemasangan sumber daya reaktif tambahan disisi beban adalah dengan pemasangan kapasitor pada jaringan distribusi primer, sehingga dapat mengurangi rugi-rugi disaluran. Yang menjadi permasalahan adalah bagaimana cara menentukan letak dan kapasitas kapasitor yang optimal pada jaringan distibusi radial agar rugi-rugi yang dihasilkan menjadi seminim mungkin dan juga menghemat biaya instalasi kapasitor tersebut yang semaksimal mungkin.

Oleh karena itu pada skripsi ini akan menganalisa hal tersebut dengan suatu alternatif metode *Interactive trade-Off* merupakan suatu algoritma yang dapat menentukan lokasi, jumlah, kapasitas dan biaya pemasangan kapasitor yang dipasang pada jaringan distribusi.

Dari permasalahan yang timbul diatas, maka skripsi ini berjudul:

“ANALISA PENEMPATAN KAPASITOR PADA JARINGAN DISTRIBUSI PRIMER 20kV DENGAN METODE *INTERACTIVE TRADE-OFF* PADA G.I SENGKALING PENYULANG PUJON”

1.3. Tujuan.

Adapun tujuan penulisan skripsi ini adalah

1. Menentukan letak dan kapasitas kapasitor yang optimal pada sistem distribusi radial penyulang Pujon.

2. Memperbaiki profil tegangan setelah pemasangan kapasitor
3. Mengurangi rugi-rugi daya aktif dan rugi-rugi daya reaktif setelah pemasangan kapasitor.
4. Menentukan nilai penghematan biaya setiap tahun setelah penempatan kapasitor.

1.4. Batasan Masalah

Untuk menyederhanakan masalah yang akan dibahas, maka diberikan asumsi-asumsi serta batasan-batasan sebagai berikut:

1. Jaringan yang akan dianalisa adalah jaringan distribusi radial 20 kV di penyulang Pujon.
2. Hanya Kapasitor Shunt yang digunakan dalam perbaikan tegangan dan pengurangan rugi daya.
3. Analisa penentuan letak kapasitor dan pemilihan kapasitas kapasitor menggunakan metode *Interactive trade-Off*.
4. Tidak membahas penyebab gangguan.
5. Tidak membahas secara detail metode aliran daya yang digunakan yaitu metode *Newton Raphson*.
6. Diassumsikan nilai faktor daya sebesar 0.86.

1.5. Metodologi Penelitian

Metodologi yang digunakan dalam penyusunan skripsi ini adalah:

1. Kajian literatur

Yaitu kajian pustaka untuk mempelajari teori-teori yang terkait melalui literatur yang ada, yang berhubungan dengan permasalahan.

2. Pengumpulan Data

Bentuk data yang digunakan adalah:

- Data kuantitatif, yaitu data yang dapat dihitung atau data yang berbentuk angka-angka.
- Data kualitatif, yaitu data yang bebentuk diagram. Dalam hal ini single line diagram penyulang.

3. Simulasi dan pembahasan masalah

Analisa pehitungan tegangan, sudut fasa tegangan, rugi-rugi daya dan aliran daya tiap saluran menggunakan metode Newton Raphson, dengan metode GA (*Genetic Algorithm*) untuk memecahkan permasalahan *Objective Function* untuk menentukan penempatan kapasitor yang optimal menggunakan Metode *Interactive trade-Off* yang disimulasikan dengan program komputer.

1.6. Sistematika Penulisan

Sistematika dari pembahasan di dalam skripsi ini adalah sebagai berikut :

BAB I : PENDAHULUAN

Berisikan Latar belakang, Rumusan Masalah, Tujuan, Batasan Masalah, Metodologi Penelitian, Sistematika Penulisan.

BAB II : SISTEM DISTRIBUSI TENAGA LISTRIK DAN APLIKASI KAPASITOR

Disini akan dibahas masalah sistem jaringan distribusi, pengertian jatuh tegangan, pengaruh rendahnya jatuh daya, penjelasan teori tentang kapasitor serta faktor daya, dan penjelasan sistem per-unit.

BAB III : ANALISA PENENTUAN LETAK DAN KAPASITAS KAPASITOR PADA JARINGAN DISTRIBUSI 20 kV TIPE RADIAL DENGAN METODE *INTERACTIVE TRADE-OFF*

Pada bab ini akan dibahas metode aliran daya Newton Raphson, teori GA (*Genetic Algorithms*) dan teori-teori mengenai metode *Interactive trade-Off* untuk menentukan penempatan dan kapasitas kapasitor.

BAB IV : ANALISA PENENTUAN LETAK, KAPASITAS KAPASITOR, JUMLAH PADA JARINGAN DISTRIBUSI 20Kv TIPE RADIAL PENYULANG PUJON

Pada bab ini akan dibahas mengenai penentuan letak dan kapasitas kapasitor menggunakan metode *Interactive trade-Off*, perbandingan profil tegangan, rugi daya dan nilai biaya sebelum dan setelah penempatan kapasitor.

BAB V : KESIMPULAN

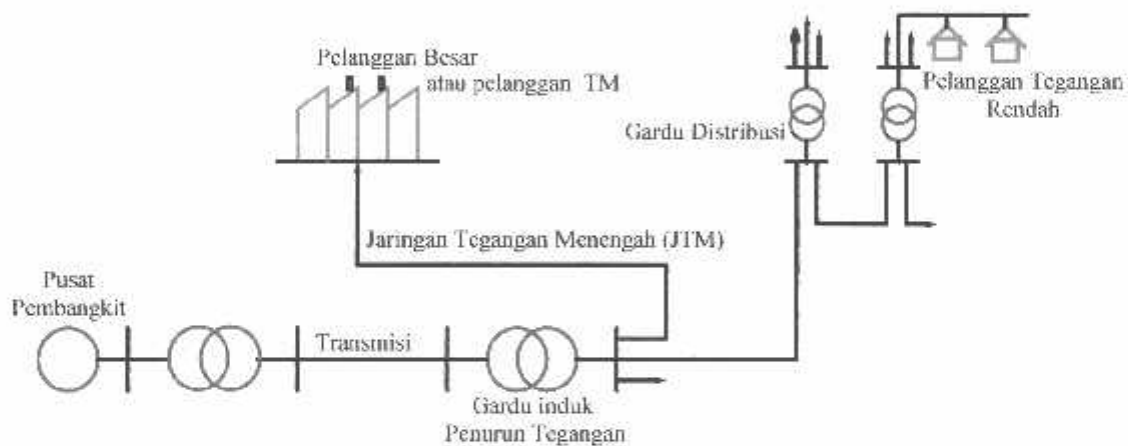
Merupakan bab terakhir yang memuat intisari dari hasil pembahasan, yang berisikan kesimpulan dan saran yang dapat digunakan sebagai pertimbangan untuk pengembangan penulisan selanjutnya.

BAB II

SISTEM DISTRIBUSI TENAGA LISTRIK DAN APLIKASI KAPASITOR

2.1. Sistem Tenaga Listrik^[1]

Sistem tenaga listrik merupakan suatu sistem terpadu yang terbentuk oleh hubungan-hubungan peralatan dan komponen-komponen listrik. Sistem tenaga listrik ini mempunyai peranan utama untuk menyalurkan energi listrik yang dibangkitkan oleh generator ke konsumen yang membutuhkan energi listrik.



Gambar 2.1. Skema Penyaluran Energi Listrik^[1]

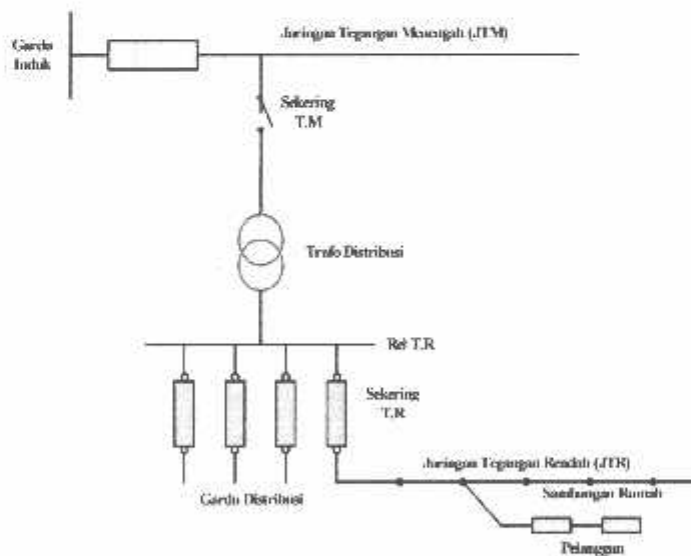
Secara garis besar suatu sistem tenaga listrik dapat dikelompokkan menjadi 3 sub sistem, yaitu :

1. Sistem Pembangkitan : Berperan sebagai sumber daya tenaga listrik dan disebut juga produsktor energi.

2. Sistem Transmisi atau Penyaluran : Berfungsi sebagai penyalur daya listrik secara besar-besaran dari pembangkit ke bagian sistem distribusi atau konsumen.
3. Sistem Distribusi dan Beban : Berperan sebagai distributor energi ke konsumen yang memerlukan energi tersebut.

2.2. Sistem Distribusi Tenaga Listrik^[2]

Jaringan distribusi berada pada akhir dari sistem tenaga listrik, perannya mendistribusikan tenaga listrik dari gardu Induk ke konsumen melalui gardu distribusi. jaringan setelah keluar dari gardu induk bisa disebut jaringan distribusi. Setelah tenaga listrik disalurkan melalui jaringan distribusi primer maka kemudian tenaga listrik diturunkan tegangannya dalam gardu-gardu distribusi menjadi tegangan rendah, kemudian disalurkan melalui jaringan tegangan rendah untuk selanjutnya disalurkan kerumah-rumah pelanggan (konsumen) PLN melalui sambungan rumah.



Gambar 2.2. Jaringan Distribusi Tegangan Menengah (JTM), Jaringan Tegangan Rendah (JTR) dan Sambungan Rumah ke Pelanggan^[2]

Dalam pendistribusian tenaga listrik ke konsumen, tegangan yang digunakan bervariasi tergantung dari jenis konsumen yang membutuhkan. Untuk konsumen industri biasanya digunakan tegangan menengah 20 kV sedangkan untuk konsumen perumahan digunakan tegangan rendah 220/380 Volt, yang merupakan tegangan siap pakai untuk peralatan-peralatan rumah tangga. Dengan demikian maka sistem distribusi tenaga listrik dapat diklasifikasikan menjadi dua bagian sistem yaitu:

1. Sistem Distribusi Primer (Jaringan Tegangan Menengah)
2. Sistem Distribusi Sekunder (Jaringan Tegangan Rendah)

Pengklasifikasian sistem distribusi tenaga listrik menjadi dua ini bedasarkan tingkat tegangan distribusinya.

2.2.1. Sistem Distribusi Primer (Jaringan Tegangan Menengah)

Tingkat Tegangan yang digunakan pada sistem distribusi primer adalah meliputi tegangan 20 kV, Oleh karena itu sistem distribusi ini sering disebut dengan sistem distribusi tegangan menengah.

2.2.2. Sistem distribusi Sekunder (Jaringan Tegangan Rendah)

Tingkat Tegangan yang digunakan pada sistem distribusi sekunder adalah tegangan rendah yaitu 127/220 volt atau 220/380 volt, oleh karena itu sistem distribusi ini sering disebut dengan sistem distribusi tegangan rendah.

Sistem jaringan yang digunakan untuk menyalurkan dan mendistribusikan tenaga listrik tersebut dapat menggunakan sistem satu fasa dengan dua kawat maupun sistem tiga fasa dengan empat kawat.

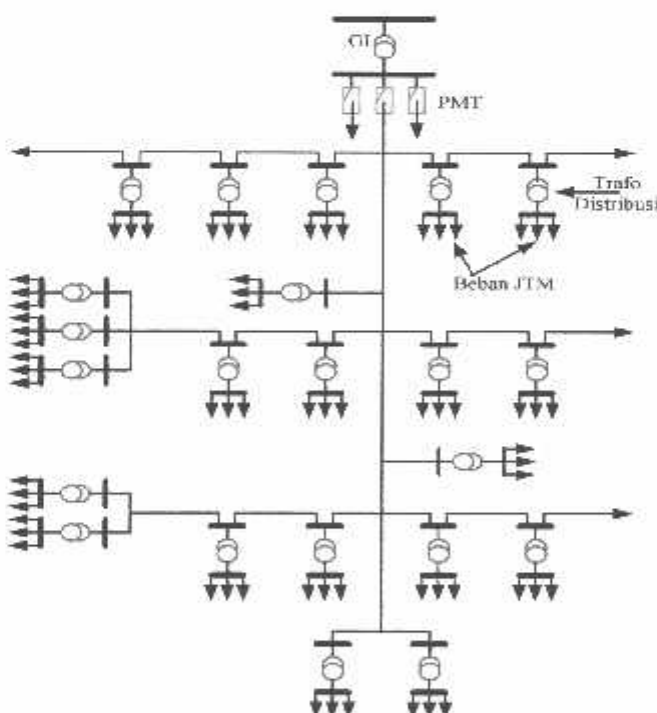
2.3. Struktur Jaringan Distribusi Tenaga Listrik^[1]

Ada beberapa bentuk jaringan yang umum digunakan untuk menyalurkan dan mendistribusikan tenaga listrik, yaitu :

1. Sistem jaringan distribusi radial
2. Sistem jaringan distribusi rangkaian tertutup (*loop*)
3. Sistem jaringan distribusi mesh

2.3.1. Sistem Jaringan Distribusi Radial

Bentuk jaringan ini merupakan bentuk dasar yang paling sederhana dan paling banyak dipergunakan. Sistem ini dikatakan radial karena dari kenyataannya bahwa jaringan ini ditarik secara radial dari gardu induk ke pusat-pusat beban atau konsumen yang dilayani. Sistem ini terdiri dari saluran utama (*trunk line*) dan saluran cabang (*lateral*) seperti pada gambar 2.3.



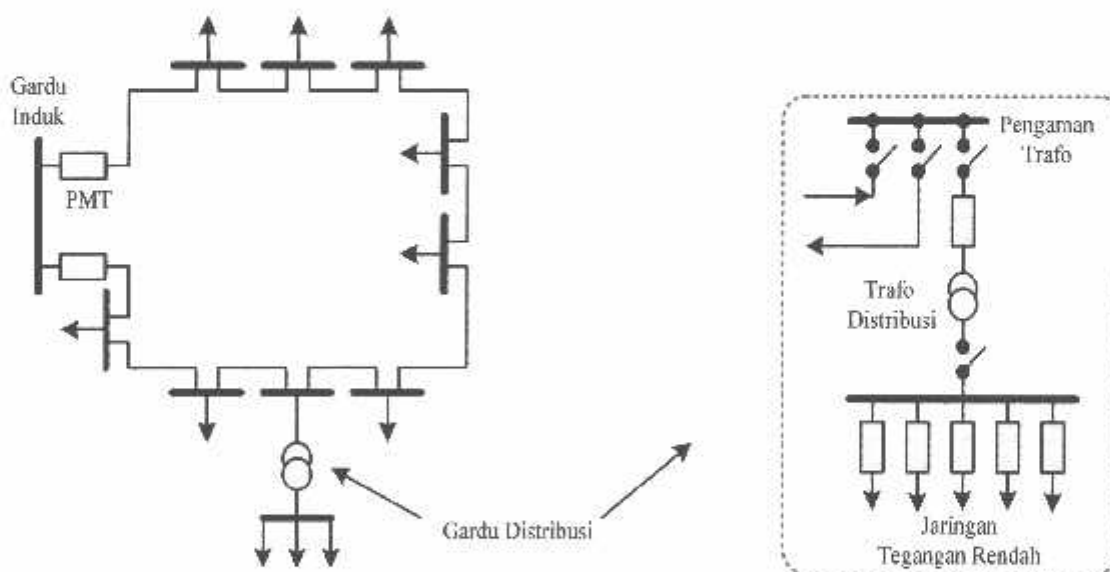
Gambar 2.3. Jaringan Tegangan Menengah Sistem Distribusi Radial^[1]

Pelayanan tenaga listrik untuk suatu daerah beban tertentu dilaksanakan dengan memasang transformator pada sembarang titik pada jaringan yang sedekat mungkin dengan daerah beban yang dilayani. Untuk daerah beban yang menyimpang jauh dari saluran utama maupun saluran cabang, maka akan ditarik lagi saluran tambahan yang dicabangkan pada saluran tersebut.

Kelemahan yang dimiliki oleh sistem radial adalah jatuh tegangan yang cukup besar dan bila terjadi gangguan pada salah satu *feeder* maka semua pelanggan yang terhubung pada *feeder* tersebut akan terganggu.

2.3.2. Sistem Jaringan Distribusi Tertutup (Loop).

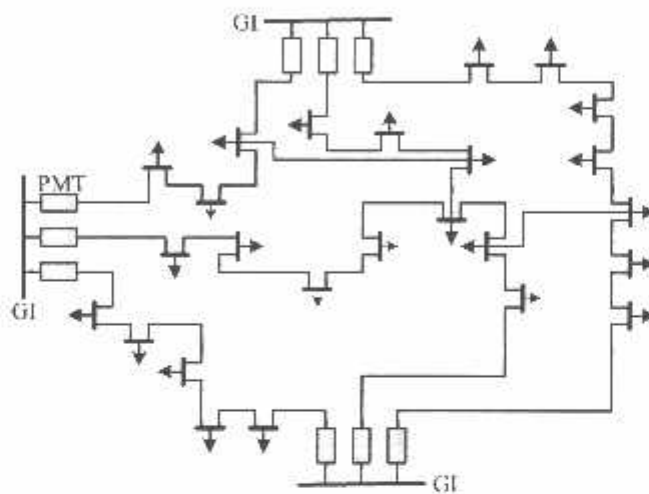
Sistem ini disebut jaringan distribusi *loop* karena saluran primer yang menyalurkan daya sepanjang daerah beban yang dilayani, membentuk suatu rangkaian *loop*.



Gambar 2.4. Jaringan Tegangan Menengah Struktur Loop yang dipasok dari satu sumber^[1]

2.3.3. Sistem Jaringan Distribusi *Mesh*.

Jaringan Distribusi *Mesh* merupakan jaringan yang strukturnya kompleks, dimana kelangsungan penyaluran dan pelayanannya diutamakan. Struktur jaringan ini umumnya digunakan pada jaringan tegangan rendah yang kepadatannya cukup tinggi.



Gambar 2.5. Jaringan Tegangan Menengah Struktur *Mesh*^[3]

2.4. Macam-macam Struktur Jaringan Distribusi Radial^[3]

Tipe jaringan ini merupakan bentuk dasar, susunan maupun kebutuhan alat-alat penunjangnya paling sedikit dan paling sederhana. Tipe ini paling banyak digunakan untuk melayani konsumen terutama beban-beban rumah tangga yang tidak menuntut tingkat kontinyuitas pelayanan yang tinggi. Sumber daya pada tipe ini hanya dari satu titik. Salurannya dicabang-cabang menuju ke titik-titik beban, dan antara titik sumber dengan titik beban hanya ada satu pilihan. Dengan demikian bila salah satu saluran cabang mengalami gangguan maka seluruh beban yang ada di saluran tersebut akan mengalami pemadaman total.

Jaringan distribusi radial mempunyai beberapa keuntungan dan kelemahan sebagai berikut :

Keuntungan jaringan radial :

1. Bentuknya sederhana dibandingkan dengan bentuk lain.
2. Biaya investasinya relatif lebih murah, karena saluran menuju ke tiap beban hanya tersedia satu jalur.

Kelemahan jaringan radial :

1. Kualitas pelayanan (penyaluran daya) dibanding dengan tipe yang lain lebih jelek, sebab jatuh tegangan dan rugi-rugi daya relatif besar. Kerugian ini terjadi pada saluran.
2. Kontinyuitas penyaluran daya tidak terjamin. Dengan hanya mengandalkan satu saluran, maka bila terjadi gangguan pada saluran tersebut tidak dapat diharapkan *supply* melalui saluran ini.

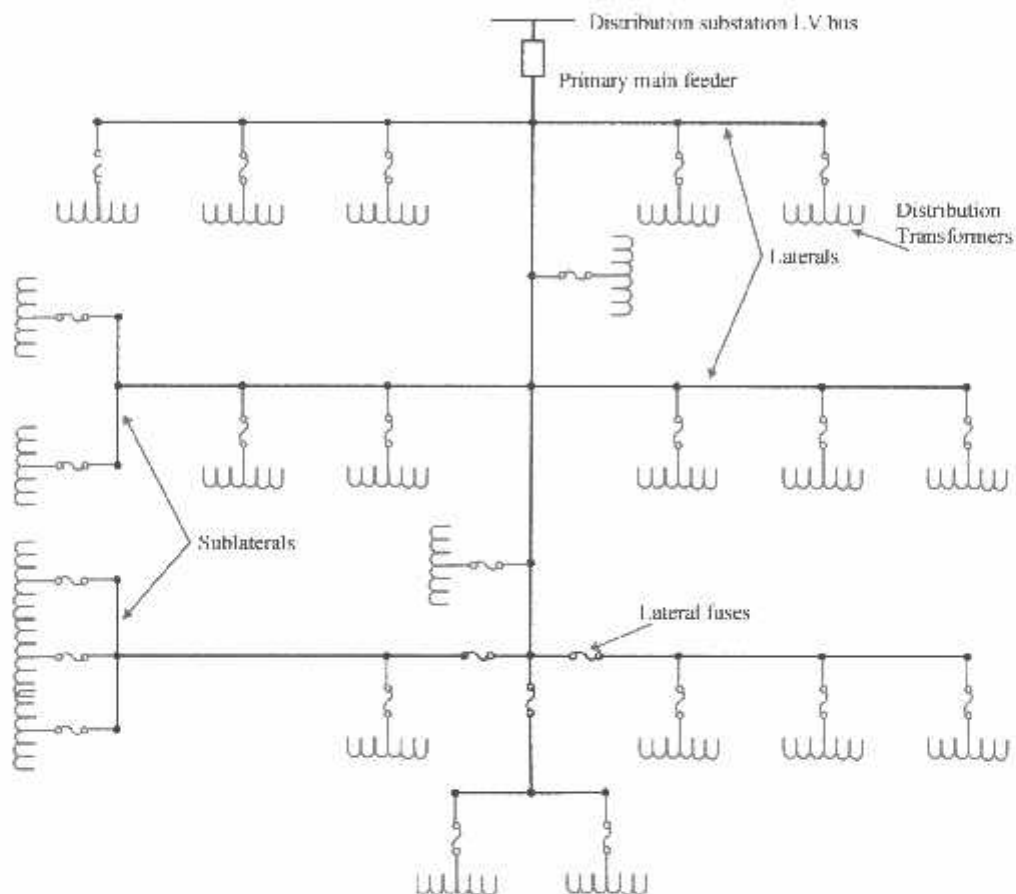
Jaringan radial ini dalam perkembangannya mengalami beberapa bentuk modifikasi sehingga dikenal beberapa macam jaringan distribusi radial, yaitu :

1. Sistem Radial Pohon
2. Sistem Radial dengan *Tie* dan *Switch* Pemisah
3. Sistem Radial dengan Pusat Beban
4. Sistem Radial dengan pembagian Daerah Phasa (*Phase Area*)

2.4.1. Sistem Radial Pohon

Sistem radial jaringan pohon ini merupakan bentuk yang paling dasar dari sistem jaringan radial. Saluran utama (*main feeder*) ditarik dari suatu Gardu Induk sesuai dengan kebutuhan kemudian di cabangkan melalui saluran cabang (*lateral*)

feeder), selanjutnya di cabangkan lagi melalui saluran anak cabang (*sub lateral feeder*). Ukuran dari masing-masing saluran tergantung dari besar arus yang ditanggung. Dari gambar 2.6, *main feeder* merupakan saluran yang dialiri arus terbesar, selanjutnya arus mengecil pada setiap cabang dari besarnya beban.

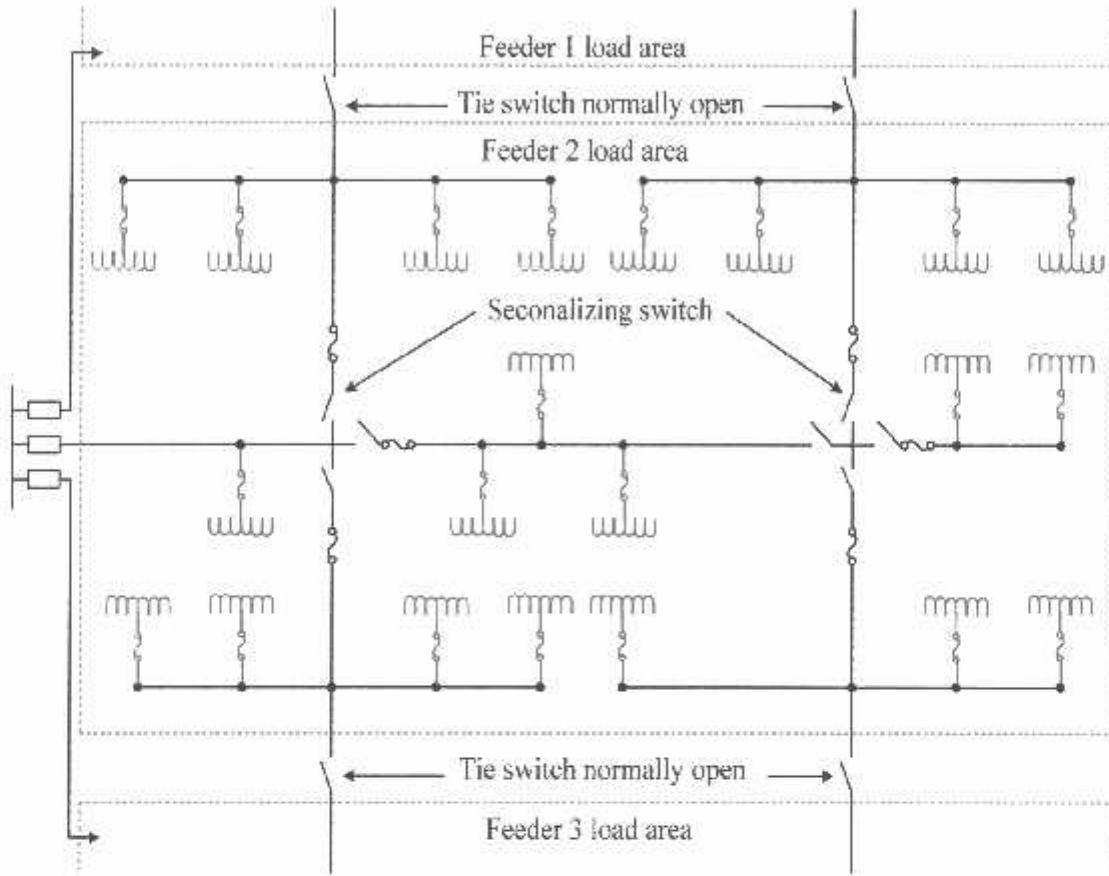


Gambar 2.6. Sistem radial jaringan pohon^[3]

2.4.2. Sistem Radial Dengan Tie dan Switch Pemisah

Sistem ini merupakan pengembangan dari sistem radial pohon, untuk meningkatkan keandalan sistem saat terjadi gangguan maka *feeder* yang terganggu akan dilokalisir sedangkan arca yang semula dilayani *feeder* tersebut

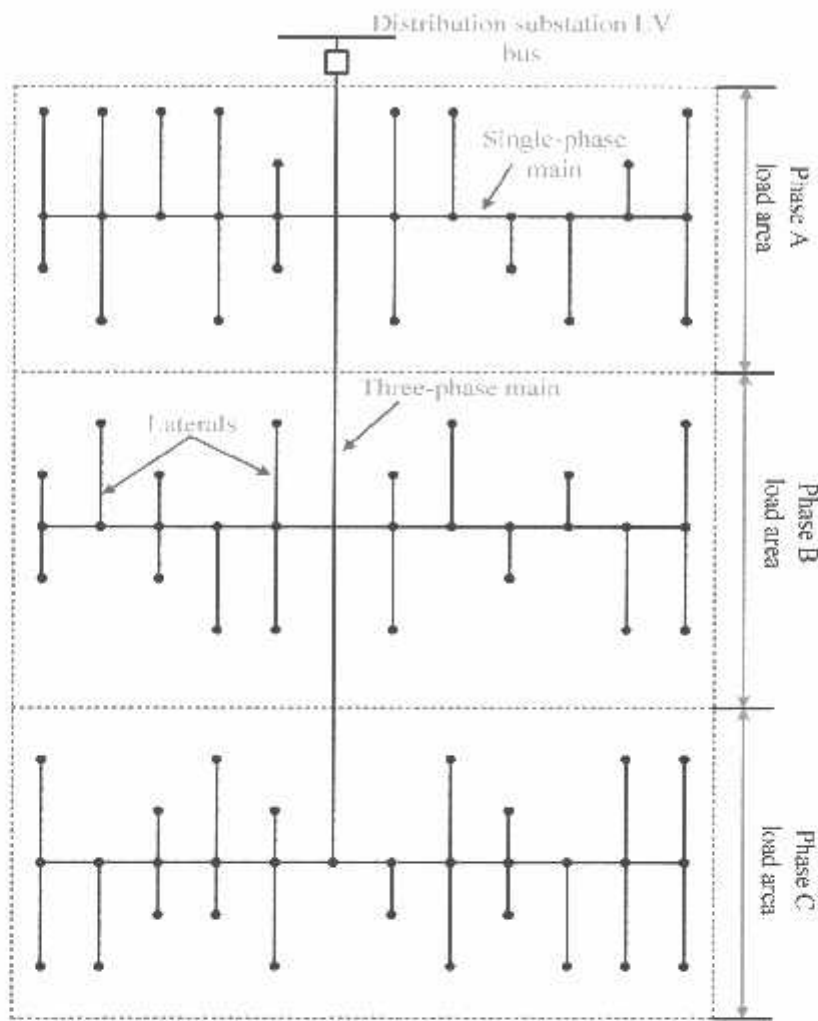
pelayanannya dialihkan pada *feeder* yang sehat atau yang tidak terganggu. Sistem radial dengan *Tie* dan *Switch pemisah* dapat dilihat pada gambar 2.7.



Gambar 2.7. Sistem Radial Dengan *Tie* dan *Switch pemisah*^[3]

2.4.3. Sistem Radial Dengan Pembagian *Phase Area*

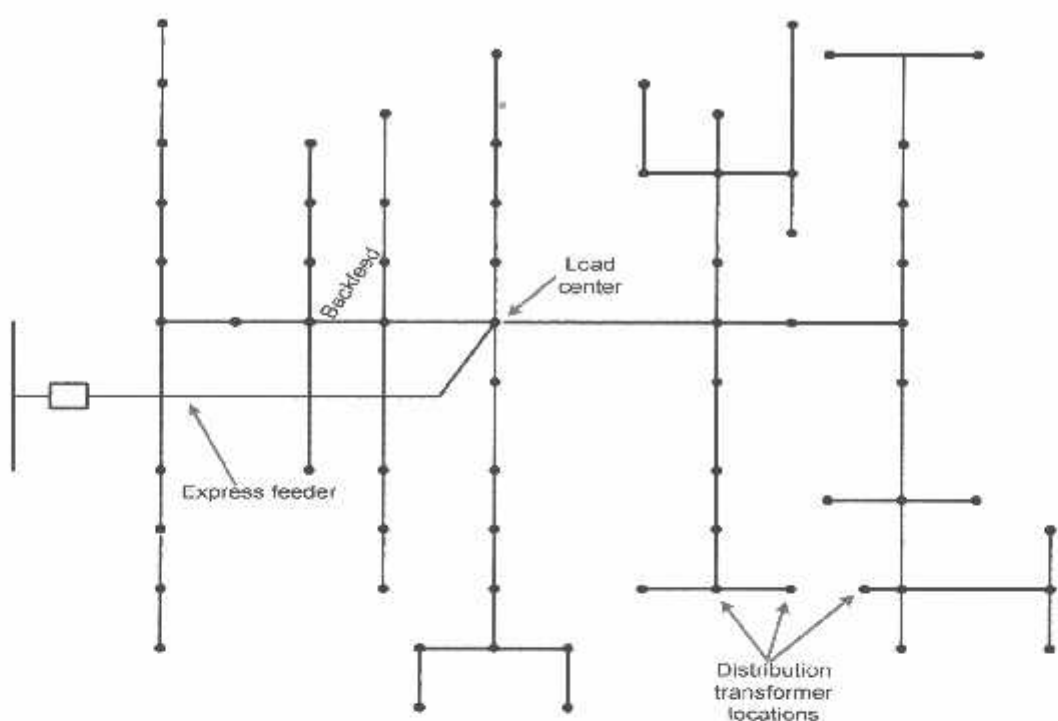
Pada bentuk ini masing-masing fasa dari jaringan bertugas melayani daerah beban yang berlainan. Bentuk ini dapat menimbulkan kondisi sistem tiga fasa yang tidak seimbang (simetris), bila digunakan pada daerah beban yang baru dan belum mantap pembagian bebannya. Contoh dari sistem jaringan ini dapat dilihat pada gambar 2.8.



Gambar 2.8. Sistem Radial Dengan Pembagian *Phase Area*^[3]

2.4.4. Sistem Radial Dengan Beban Terpusat

Bentuk dari sistem ini mensuplai daya dengan menggunakan *main feeder* yang disebut *express feeder* langsung ke pusat beban dan dari titik pusat beban ini disebut dengan menggunakan *buck feeder* radial seperti terlihat pada gambar 2.9.



Gambar 2.9. Sistem Radial Dengan Beban Terpusat^[3]

2.5. Daya Dalam Sistem Tenaga Listrik^[4]

Dalam sistem tenaga listrik, pembangkit-pembangkit tenaga listrik harus mampu menyediakan tenaga listrik kepada pelanggan sesuai dengan permintaan beban listrik yang ada. dan hal yang harus diperhatikan adalah sistem yang tetap konstan, dalam hal ini tegangan dan frekuensi harus tetap konstan karena berhubungan dengan daya.

Daya listrik yang dibangkitkan dikenal dengan istilah:

2.5.1. Daya Nyata (Real Power)

Daya Nyata dinyatakan dalam persamaan :

$$P = [V][I] \cos \phi \dots \quad (2.1)$$

Daya nyata untuk beban 3 fasa seimbang

$$P = \sqrt{3} |V_{jala-jala}| |I_{jala-jala}| \cos \varphi \dots \quad (2.2)$$

2.5.2. Daya Reaktif (*Reactive power*)

Daya reaktif adalah daya yang timbul karena adanya pembentukan medan magnet pada beban-beban induktif (KVAR).

Daya reaktif dinyatakan dalam persamaan :

$$Q = |V| |I| \sin \phi \dots \quad (2.3)$$

Daya reaktif untuk beban 3 fasa seimbang :

$$Q = \sqrt{3} |V_{jala-jala}| |I_{jala-jala}| \sin \phi \dots \quad (2.4)$$

2.5.3. Daya Semu (*Apparent Power*)

Daya semu dinyatakan dalam persamaan :

$$S = |V| |I| \dots \quad (2.5)$$

Daya semu untuk beban 3 fasa seimbang :

$$S = \sqrt{3} | V_{jala-jala} | | I_{jala-jala} | \dots \quad (2.6)$$

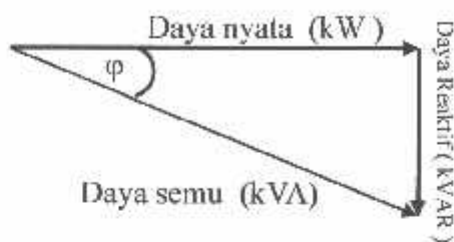
2.6. Daya Reaktif dan Faktor Daya^[11]

Setiap pemakaian daya reaktif akan menyebabkan turunnya faktor daya yang kemudian menyebabkan memburuknya karakteristik kerja peralatan-peralatan sistem pada umumnya, baik dari segi teknik operasional maupun segi ekonomisnya, faktor daya adalah perbandingan antara daya nyata dan daya semu.

$$\text{Faktor daya} = \frac{\text{Daya Nyata}(kW)}{\text{Daya semu}(kVA)} \dots \quad (2.7)$$

Untuk daya semu sendiri dibentuk oleh dua komponen daya nyata (kW) dan komponen daya reaktif (kVAR).

Hubungan ini dapat digambarkan sebagai berikut:



Gambar 2.10. Segitiga Daya^[11]

Dengan Faktor daya- $\cos\varphi = \frac{P}{S}$

$$\cos \varphi = \frac{P}{\sqrt{P^2 + Q_1^2}} \quad \dots \dots \dots \quad (2.8)$$

P = Daya Nyata (kW)

S = Daya semu (kVΑ)

Q – Daya reaktif (kVar)

φ = Sudut Phase

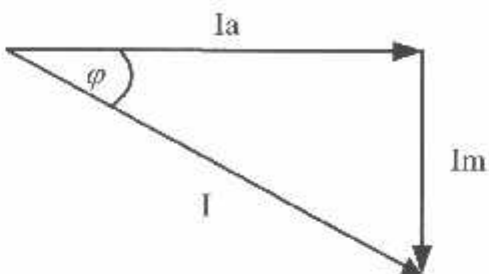
Dari gambar 2.10 daya semu terdiri dari komponen daya nyata dan daya reaktif.

Suatu beban akan membutuhkan suplai daya aktif jika beban tersebut bersifat induktif dan suatu beban membutuhkan suplai daya reaktif jika beban tersebut bersifat kapasitif. Jadi faktor daya dapat dilihat dari hubungan antara arus nyata, arus magnetisasi dan arus total.

- Arus nyata (I_a) adalah arus yang dibeban dan diubah kedalam energi panas.

- Arus magnetisasi (I_m) adalah arus yang mengalir dibeban untuk menimbulkan medan magnet.
- Arus total (I) adalah arus yang mengalir dijaringan dan merupakan penjumlahan vektor dari arus nyata dengan arus magnetisasi.

Dalam bentuk vektor hubungan tersebut digambarkan sebagai berikut :

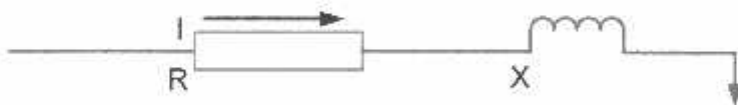


Gambar 2.11. Segitiga Arus^[1]

Beberapa sebab sistem distribusi mempunyai faktor daya yang rendah, yaitu :

- Banyaknya pemakaian motor asinkron terutama pada industri.
- Makin meningkatnya pemakaian lampu TL untuk penerangan.
- Pemakaian pemanas air.

Menurunnya faktor daya berarti mengecilnya perbandingan antara daya nyata dengan daya saku atau berarti semakin membesarnya kebutuhan beban dan daya aktif.



Gambar 2.12. Saluran Primer Dengan Beban Tepusat^[1]

Karena pada saluran terdapat resistansi R dan reaktansi X, maka rugi daya (P_L) dirumuskan sebagai berikut :

$$P_L = I^2 R = (I \cos \theta)^2 R + (I \sin \theta)^2 R \dots \quad (2.9)$$

dimana : I_R adalah arus aktif

I_X adalah arus reaktif

2.7. Kapasitor Daya^[1]

Secara sederhana kapasitor terdiri dari dua buah plat logam yang dipisahkan oleh suatu bahan elektrik dan kapasitor ini mempunyai sifat menyimpan muatan listrik. Pada beberapa tahun lalu kebanyakan kapasitor terbuat dari dua buah plat alumunium murni yang dipisahkan oleh tiga atau lebih lapisan kertas yang dilapisi oleh bahan kimia. Kapasitor daya telah mengalami perkembangan yang begitu cepat selama 30 tahun terakhir. Karena bahan elektrik yang digunakan lebih efisien serta teknologi pembuatan kapasitor lebih baik.

2.7.1. Kapasitor Seri dan Kapasitor Shunt

Kapasitor daya terdiri atas 2 bagian yaitu kapasitor seri dan kapasitor shunt:

a. Kapasitor Seri

Kapasitor seri adalah kapasitor yang dihubung seri dengan impedansi saluran yang bersangkutan, pemakaiannya amat dibatasi pada saluran distribusi, karena peralatan pengamannya cukup rumit. Jadi secara umum dikatakan biaya untuk pemasangan kapasitor seri lebih mahal daripada biaya pemasangan kapasitor paralel atau biasa disebut kapasitor *shunt*.

b. Kapasitor *Shunt*

Kapasitor *shunt* adalah kapasitor yang dihubungkan parallel dengan saluran dan secara intensif digunakan pada saluran distribusi. Kapasitor *shunt* mencatat daya reaktif atau arus yang menentang komponen arus beban induktif.

Dengan dipasangnya kapasitor *shunt* pada jaringan distribusi akan dapat memperbaiki profil tegangan, memperbaiki faktor daya dan menaikkan kapasitas sistem serta dapat mengurangi rugi saluran.

2.7.2. Faktor-faktor pemilihan kapasitor Seri dan kapasitor shunt^[5] :

Faktor-faktor yang mempengaruhi pemilihan kapasitor *shunt* dan seri ditabelkan sebagai berikut :

Tabel 2-1
Kapasitor Seri dan Kapasitor *Shunt*

No	Tujuan	Kapasitor	
		Seri	Shunt
1	Memperbaiki faktor daya	Kedua	Pertama
2	Memperbaiki tingkat tegangan pada sistem saluran udara dengan faktor daya nominal dan rendah	Pertama	Kedua
3	Memperbaiki tingkat tegangan pada sistem saluran udara dengan faktor daya yang tinggi	Tidak Dipakai	Pertama
4	Memperbaiki tingkat tegangan pada sistem saluran udara bawah tanah dengan faktor daya yang tinggi	Tidak Dipakai	Tidak Dipakai
5	Memperbaiki tingkat tegangan pada sistem saluran bawah tanah dengan	Pertama	Tidak Dipakai

6	faktor daya normal dan rendah Mengurangi rugi-rugi daya dan rugi-rugi energi pada saluran	Kedua	Pertama
7	Mengurangi fluktuasi tegangan	Pertama	Tidak Dipakai

2.8. Pengaruh Pemasangan Kapasitor *Shunt*¹¹

Kapasitor *shunt* adalah kapasitor yang dihubungkan pararel dengan saluran dan secara intensif digunakan pada sistem distribusi. Kapasitor *shunt* mencatu daya reaktif atau yang menentang komponen arus beban induktif. Dengan dipasang kapasitor *shunt* pada jaringan distribusi akan dapat memperbaiki profil tegangan, memperbaiki faktor daya dan menaikkan kapasitas sistem serta dapat mengurangi rugi saluran.

Adapun dua cara dalam pemakaian kapasitor *shunt* :

- Kapasitor Tetap (*Fixed Capacitor*)
- Kapasitor Saklar (*Switched Capacitor*)

a. Kapasitor Tetap

Adalah kapasitor untuk kompensasi daya reaktif yang kapasitasnya tetap dan selalu terpasang di jaringan. Penggunaan kapasitor jenis ini harus memperhatikan kenaikan tegangan yang terjadi pada saat beban ringan agar tidak melebihi tegangan yang ditetapkan

b. Kapasitor Saklar

Adalah kapasitor untuk kompensasi daya reaktif yang dapat dihubungkan dan dilepaskan dari jaringan dan dapat diatur besar kapasitasnya sesuai dengan kondisi beban.

Proses membuka-menutup dari saklar kapasitor *shunt* dapat dilakukan dengan cara manual maupun dengan cara otomatis. Pengendalian secara manual (Pada lokasi atau lokasi jarak jauh) dapat dilakukan pada G.I.

Untuk pengendalian secara otomatis, temasuk didalamnya peralatan pengendali tegangan, arus dan suhu. Tipe yang paling populer adalah pengendalian saklar waktu (*time-switch control*), pengendali tegangan dan pengendali tegangan arus.

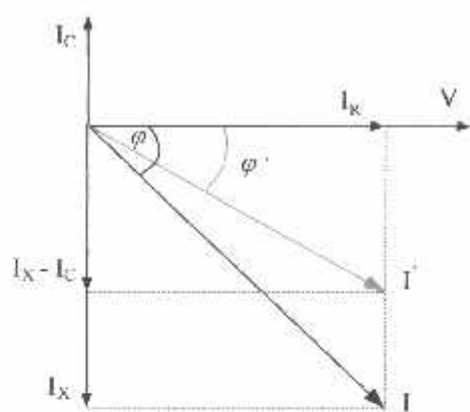
2.8.1. Pengurangan Rugi-Rugi Saluran dengan Kapasitor *Shunt*

Rugi-rugi saluran sebelum ada pengaruh pemasangan kapasitor adalah seperti pada persamaan (2.9) diatas.

Sedangkan setelah pemasangan kapasitor, maka sebagian daya reaktif yang dibutuhkan oleh beban akan disuplai oleh kapasitor tersebut, sehingga arus yang mengalir dijaringan akan lebih kecil. Persamaan rugi daya dan rugi energi setelah pemasangan kapasitor adalah :

$$P_L = (I \cos \theta)^2 R + (I \sin \theta - Ic)^2 R \quad \dots \dots \dots (2.10)$$

Dalam bentuk diagram vektor adalah :



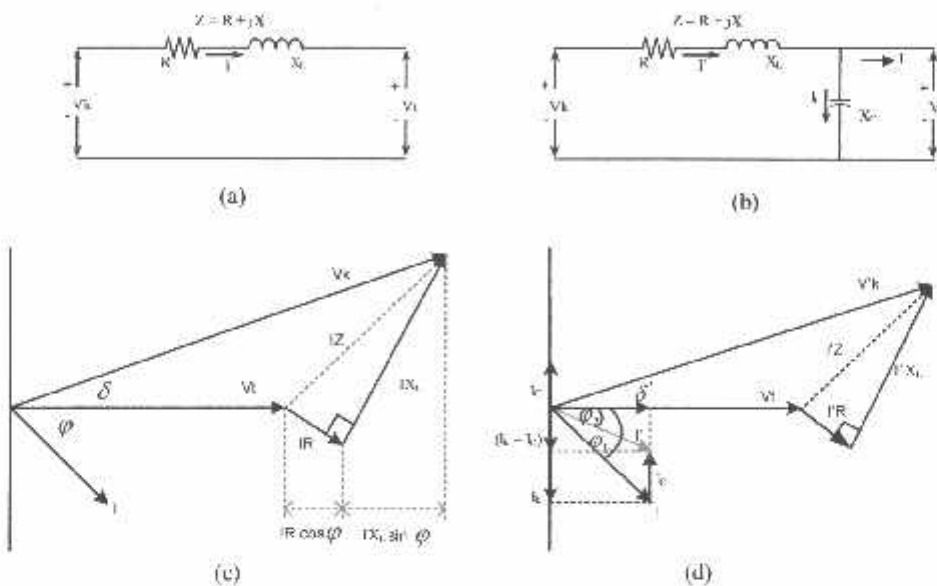
Gambar 2-14. Vektor arus dan tegangan sebelum dan setelah pemasangan kapasitor [1]

Sehingga pengurangan rugi daya dengan adanya pemasangan kapasitor *shunt* adalah :

$$\begin{aligned}\Delta_{\text{pls}} &= I^2 R - I_l^2 R \\ &= (I \cos \theta)^2 R + (I \sin \theta)^2 R - (I \cos \theta)^2 R + (I \sin \theta - I_c)^2 R \\ &\quad - 2(I \sin \theta) I_c R - I_c^2 R \dots \quad (2.11)\end{aligned}$$

2.8.2. Perbaikan Tegangan^[1]

Pemakaian kapasitor *shunt* dalam sistem tenaga listrik selain untuk perbaikan faktor daya juga bertujuan menaikkan tegangan. Dan secara vektoris dapat digambarkan sebagai berikut :



Gambar 2.15. Diagram vektor pada rangkaian dengan pf *lagging*
(a) dan (c) tanpa kapasitor shunt, (b) dan (d) dengan kapasitor *shunt*

Jatuh tegangan pada jaringan dengan pf *lagging* dapat dihitung sebagai berikut :

Sebelum pemasangan kapasitor :

$$\delta V = IR \cos \varphi + IX_L \sin \varphi \text{ volt} \quad (2.12)$$

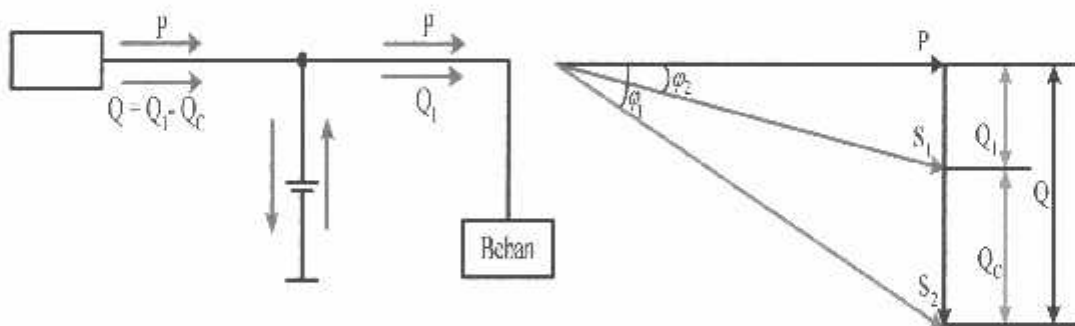
Bila kapasitor dipasang pada ujung penerima dari saluran, seperti yang terlihat pada gambar 2-15b, secara pendekatan jatuh tegangannya menjadi :

$$\delta V = IR \cos \varphi + (IX_L - I_C) \sin \varphi \text{ volt} \quad (2.13)$$

2.8.3. Perbaikan Faktor Daya dan Kenaikan Kapasitas Sistem

Manfaat terbesar yang diperoleh dari perbaikan faktor daya berasal dari pengurangan daya reaktif dalam sistem. Hal ini menghasilkan pengurangan biaya pemakaian daya yang lebih rendah, kenaikan kapasitas sistem, perbaikan tegangan dan pengurangan rugi-rugi dalam sistem. Satu-satunya jalan untuk memperbaiki faktor daya adalah mengurangi daya reaktif di jaringan. Jika komponen arus reaktif dapat dikurangi, maka total arus akan berkurang sedangkan komponen daya aktif tidak berubah, maka faktor daya akan lebih besar sebagai akibat berkurangnya daya reaktif. Faktor daya akan mencapai 100 % jika komponen daya reaktif sama dengan nol (0).

Dengan menambah kapasitor, daya reaktif Q akan berkurang, gambar 2.16 menunjukkan perbaikan faktor daya pada sistem, kapasitor mensuplai daya reaktif ke beban.



Gambar 2-16. Perbaikan Faktor Daya¹¹¹

Diasumsikan bahwa beban disuplai oleh daya nyata P , daya reaktif (Lagging) Q dan daya semu S , pada faktor daya tertinggal $\cos \varphi$

$$\cos \varphi = \frac{P}{S} \quad \dots \dots \dots \quad (2.14)$$

Bila suatu kapasitor Q_c kVAR dipaang pada beban, faktor daya dapat diperbaiki dari $\cos \varphi_1$ menjadi $\cos \varphi_2$ dimana:

$$\begin{aligned}\cos \varphi &= \frac{P}{S_1} \\ \cos \varphi &= \frac{P}{\sqrt{(P^2 + Q_1^2)}} \\ \cos \varphi &= \frac{P}{\sqrt{P^2 + (Q_1 - Q_c)^2}} \quad \dots \dots \dots \quad (2.15)\end{aligned}$$

Sehingga daya semu dan daya reaktif berkurang dari S_1 (kVA) ke S_2 (kVA) dan dari Q_1 (kVAR) Q_2 (kVAR) sehingga kapasitas beban akan meningkat. Dengan demikian dapat diambil kesimpulan bahwa *persentase pengurangan rugi-rugi daya jaringan*

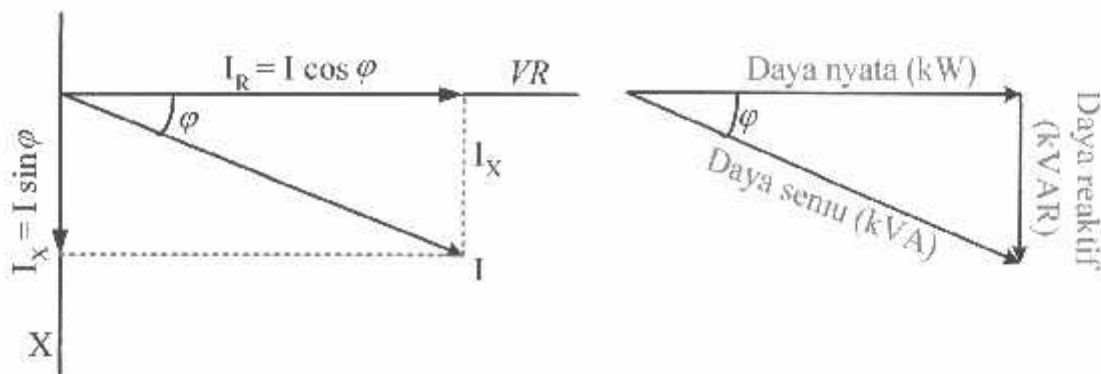
dapat dihitung menggunakan rumus berikut:

$$\% \text{ Rugi Daya} = 100 \left(\frac{\text{Faktor daya mula} - \text{mula}(\cos \varphi_1)}{\text{Faktor daya baru}(\cos \varphi_2)} \right) \dots \quad (2.16)$$

$$\% \text{Pengurangan Rugi Daya} = 100 \left(1 - \left(\frac{\text{Faktor daya mula} - \text{mula}(\cos \varphi_1)}{\text{Faktor daya baru}(\cos \varphi_2)} \right)^2 \right) \quad \dots \dots \dots (2.17)$$

2.8.4. Perhitungan Pengaruh Perbaikan Faktor Daya

Diagram *phase* dari dua komponen arus nyata itu arus aktif dan reaktif dapat dilihat pada gambar 2-17 berikut:



Gambar 2-17. Diagram Fasor dan Sudut Daya Beban Distribusi^[1]

Penjumlahan secara vektor dari arus aktif dan reaktif menghasilkan arus-arus total yang dapat dinyatakan dengan persamaan :

$$\begin{aligned} I &= \text{Arus Semu} = \sqrt{(\text{arus aktif})^2 + (\text{arus reaktif})^2} \\ &= \sqrt{(I \cdot \text{Cos.}\phi)^2 + (I \cdot \text{Sin.}\phi)^2} \quad \dots \dots \dots \quad (2.18) \end{aligned}$$

Pada suatu tegangan V, daya aktif, daya reaktif, dan daya nyata, adalah sebanding dengan arus, dimana hubungannya dapat dinyatakan sebagai berikut:

$$\begin{aligned} \text{Daya Semu (kVA)} &= \sqrt{(\text{Daya aktif})^2 + (\text{Daya reaktif})^2} \\ (\text{VI}) &= \sqrt{(\text{VI} \cdot \text{Cos.}\phi)^2 + (\text{VI} \cdot \text{Sin.}\phi)^2} \quad \dots \dots \dots \quad (2.19) \end{aligned}$$

$$\text{Faktor Daya} = \frac{\text{Daya aktif}}{\text{Daya Semu}} = \frac{\text{kW}}{\text{kVA}}$$

$$\text{Daya Aktif} = \text{Daya Semu} * \text{Faktor Daya}$$

$$\text{kW} = \text{kVA} * \text{Faktor Daya}$$

$$\text{kW} = \text{kVA} \cdot \text{Cos } \phi \quad \dots \dots \dots \quad (2.20)$$

2.8.5. Penentuan Rating Kapasitor untuk Perbaikan Faktor Daya Beban

Dari hubungan fasor diagram daya aktif dan daya reaktif dapat ditulis beberapa persamaan matematis sebagai berikut:

$$\cos \varphi = \frac{\text{Daya.aktif}}{\text{Daya.semu}} = \frac{(kW)}{(kVA)} \quad \dots \dots \dots \quad (2.21)$$

$$\sin \varphi = \frac{\text{Daya.reaktif}}{\text{Daya.semu}} = \frac{(kVAR)}{(kVA)} \quad \dots \dots \dots \quad (2.22)$$

$$\tan \varphi = \frac{(kVAR)}{(kW)} \quad \dots \dots \dots \quad (2.23)$$

Karena Komponen daya aktif biasanya konstan, dan daya semu serta komponen daya reaktif berubah sesuai dengan faktor daya, maka persamaan yang dinyatakan dalam komponen daya aktif yang paling tepat digunakan, persamaan ini dapat dituliskan sebagai berikut:

$$\text{Daya.reaktif pada daya mula-mula} = \text{Daya.aktif} \times \tan \varphi_1$$

$$= (kW) \times \tan \varphi_1$$

$$\text{Daya.reaktif pada faktor daya baru} = \text{Daya.aktif} \times \tan \varphi_2$$

$$= (kW) \times \tan \varphi_2$$

Dengan φ_1 = Sudut dari faktor daya mula-mula

φ_2 = Sudut dari faktor daya yang telah diperbaiki

Rating kapasitor yang dibutuhkan perbaikan faktor daya:

$$\text{Daya.reaktif (kVAR)} = \text{Daya.aktif} \times (\tan \varphi_1 - \tan \varphi_2)$$

$$= (kW) \times (\tan \varphi_1 - \tan \varphi_2) \quad \dots \dots \dots \quad (2.24)$$

Untuk penyederhanaan $(\tan \phi_1 - \phi_2)$ sering ditulis $\Delta \tan$, yang merupakan suatu faktor pengali untuk menentukan daya reaktif.

Daya reaktif (kVAR) = Daya aktif x Δ Tan

$$(k\text{VAR}) = (k\text{W}) \times \Delta \tan \dots \quad (2.25)$$

2.9. Sistem Per-Unit^[4]

Untuk memudahkan perhitungan-perhitungan dalam sistem tenaga listrik digunakan p.u (per unit) yang didefinisikan sebagai perbandingan harga yang sebenarnya dengan harga dasar (base value), sehingga dapat dirumuskan sebagai berikut :

$$\text{Besaran per-unit} = \frac{\text{besaran sesunguhnya}}{\text{besaran dasar dengan dimensi yang sama}} \quad \dots \dots \dots \quad (2.26)$$

Rumus-rumus yang digunakan untuk penentuan arus dasar dan impedansi dasar adalah :

- Untuk data 1 fasa

Arus dasar:

$$I_d = \frac{kVA \text{ dasar 1 fasa}}{kV \text{ dasar } L+N} \dots \quad (2.27)$$

Impedansi dasar:

$$Z_d = \frac{(kV \text{ dasar } L - N)^2 \times 1000}{kVA \text{ dasar 1 fasa}} \quad \dots \dots \dots \quad (2.28)$$

$$= \frac{(kV \text{ dasar } L - N)^2}{MVA \text{ dasar 1 fasa}}$$

Dalam persamaan diatas nilai-nilai besaran diberikan untuk rangkaian satu fasa. Jadi tegangannya adalah tegangan antara fasa ke tanah dan daya setiap fasa.

Setelah besaran-besaran dasar telah ditentukan maka besaran-besaran itu dinormalisasikan terhadap besaran dasar. Dengan demikian impedansi per satuan didefinisikan sebagai berikut :

$$Z_s = \frac{\text{Impedansi sebenarnya } Z(\Omega)}{\text{Impedansi dasar } Z_d} \quad \dots \quad (2.29)$$

BAB III

ANALISA PENENTUAN LETAK DAN KAPASITAS KAPASITOR PADA JARINGAN DISTRIBUSI 20 kV TIPE RADIAL DENGAN METODE *INTERACTIVE TRADE-OFF*

3.1. Analisa Aliran Daya Jaringan Radial^[2]

Sebelum melakukan optimasi dengan menggunakan metode *Interactive trade-Off* dilakukan suatu proses analisa aliran daya untuk mengetahui kondisi suatu sistem distribusi radial.

3.1.1. Tujuan

Tujuan mempelajari analisa aliran daya pada skripsi ini adalah :

1. Untuk mengetahui keadaan tegangan pada setiap bus dari sistem jaringan.
2. Untuk mengetahui besarnya daya yang mengalir pada setiap cabang dari struktur jaringan.
3. Untuk mengetahui besar rugi-rugi daya aktif dan daya reaktif pada setiap cabang dari saluran.

3.1.2. Metode Newton Raphson^[4]

Secara matematis persamaan aliran daya *Newton Raphson* dapat diselesaikan dengan menggunakan koordinat rektangular, koordinat polar atau bentuk hibrid (gabungan antara bentuk kompleks dengan bentuk polar). Dalam pembahasan skripsi ini menggunakan bentuk polar.

Hubungan antara arus simpul I_p dengan tegangan simpul V_q pada suatu jaringan dengan n simpul dapat dituliskan :

$$I_p = \sum_{q=1}^n Y_{pq} V_{pq} \quad \dots \quad (3.1)$$

Injeksi daya pada simpul p adalah :

Dalam penyelesaian aliran daya dengan *Newton Raphson* bentuk persamaan aliran daya yang dipilih adalah polar, dimana tegangan dinyatakan dalam bentuk polar , yaitu :

$$V_p^* = |V_p| e^{-j\delta p}$$

$$V_g = |V_g| e^{j\delta q}$$

$$Y_{pq}^* = |V_{pq}| e^{-j\theta_{pq}}$$

Maka persamaan (3.3) dapat ditulis :

$$P_p - jQ_p = \sum_{q=1}^n |V_p V_q Y_{pq}| e^{-j(\phi_p - \phi_q + \theta_{pq})} \quad \dots \quad (3.4)$$

Dengan memisahkan bagian riil dan bagian imajiner maka diperoleh :

$$P_p = \sum_{q=1}^n |V_p V_q Y_{pq}| \cos(\delta_p - \delta_q + \theta_{pq}) \dots \quad (3.5)$$

$$Q_p = \sum_{q=1}^n |V_p V_q Y_{pq}| \sin(\delta_p - \delta_q + \theta_{pq}) \dots \quad (3.6)$$

Kedua persamaan diatas akan menghasilkan suatu kumpulan persamaan serempak (simultan) yang tidak linier untuk setiap simpul sistem tenaga listrik. Untuk mengetahui magnitude tegangan (V) dan sudut fasa (δ) disetiap simpul dapat diselesaikan dengan menggunakan persamaan (3.5) dan (3.6) yang dilinierkan dengan metode *Newton Raphson* yang dapat dilihat dari persamaan dibawah ini :

$$\begin{bmatrix} \Delta P \\ \Delta Q \end{bmatrix} = \begin{bmatrix} H & N \\ M & L \end{bmatrix} \begin{bmatrix} \Delta \delta \\ \Delta |V| \end{bmatrix} \quad \dots \quad (3.7)$$

Dimana :

ΔP = selisih injeksi bersih daya nyata dengan penjumlahan aliran daya nyata tiap saluran yang menghubungkan simpul dengan V yang didapat dari perhitungan iterasi ke- k

ΔQ = selisih injeksi bersih daya reaktif dengan penjumlahan aliran daya reaktif tiap saluran yang menghubungkan simpul dengan V yang didapat dari perhitungan iterasi ke-k

$\Delta\delta$ = vektor koreksi sudut fasa tegangan

$\Delta|V|$ = vektor koreksi magnitude tegangan

H, L, M, N merupakan elemen-elemen off diagonal dan diagonal dari sub matriks Jacobian yang dibentuk dengan mendefinisikan persamaan (3.5) dan (3.6), dimana:

$$H_{pq} = \frac{\partial P_p}{\partial \delta_q} \quad N_{pq} = \frac{\partial P_p}{\partial [V_q]}$$

$$M_{pq} = \frac{\partial Q_p}{\partial \delta_q}$$

Persamaan (3.7) diselesaikan untuk menghitung vektor koreksi magnitude tegangan $\Delta(|V|)$ dan sudut fasa tegangan ($\Delta\delta$) yang baru. Sehingga diperoleh harga magnitude tegangan dan sudut fasa yang baru, yaitu :

$$|V|^{k+1} = |V|^k + \Delta|V|^k \dots \quad (3.8)$$

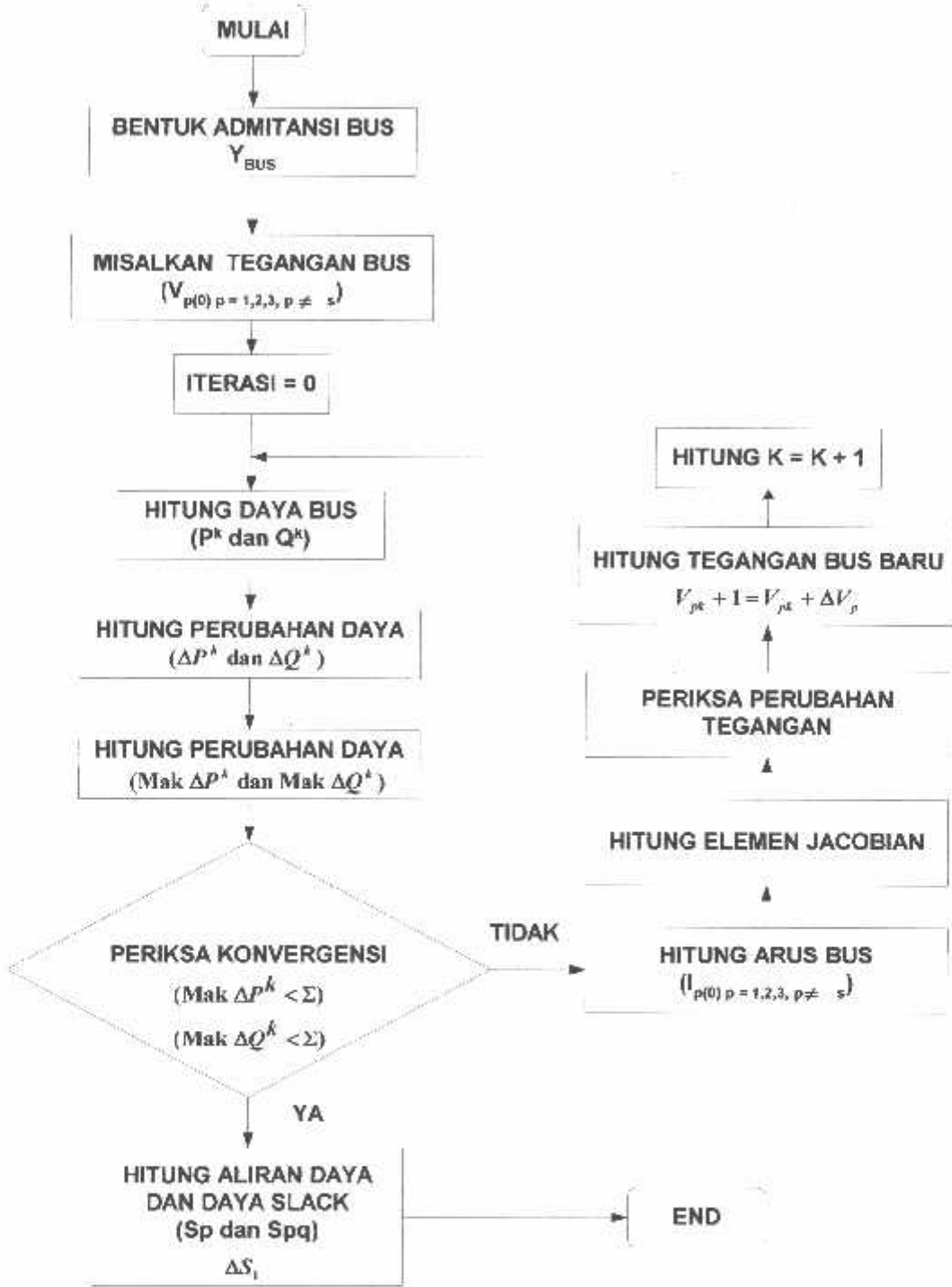
$$\delta^{k+1} = \delta^k + \Delta\delta^k. \quad (3.9)$$

Proses perhitungan akan berulang sampai selisih daya nyata dan daya reaktif antara yang dijadwalkan dengan yang dihitung, yaitu ΔP dan ΔQ untuk semua simpul mendekati nilai toleransi atau proses perhitungan iterasi mencapai konvergen.

3.1.3. Algoritma Aliran Daya *Newton Raphson*

1. Tentukan nilai $P_{p(\text{ditetapkan})}$ dan $Q_{p(\text{ditetapkan})}$ yang mengalir ke dalam sistem pada setiap rel untuk nilai yang ditentukan atau perkiraan dari besar dan sudut tegangan untuk iterasi pertama atau tegangan yang ditentukan paling akhir untuk iterasi berikutnya.
2. Hitung ΔP pada setiap rel.
3. Hitung nilai-nilai matrik Jacobian dengan menggunakan nilai-nilai perkiraan atau yang ditentukan dari besar dan sudut tegangan dalam persamaan untuk turunan parsial yang ditentukan dengan differensiasi persamaan (3.5) dan (3.6).
4. Balikkan Jacobian itu dan hitung koreksi-koreksi tegangan $\Delta\delta_q$ dan $\Delta|V_q|$ pada nilai sebelumnya.
5. Hitung nilai baru dari δ_q dan $|V_q|$ dengan menambahkan $\Delta\delta_p$ dan $\Delta|V_q|$ pada nilai sebelumnya.
6. Kembali ke langkah pertama dan ulangi proses itu dengan menggunakan nilai untuk besar dan sudut tegangan yang ditentukan paling akhir sehingga semua nilai ΔP dan ΔQ atau semua nilai $\Delta\delta$ dan $\Delta|V|$ lebih kecil dari suatu indeks ketetapan yang telah dipilih.

3.1.4. Flowchart Algoritma Aliran Daya Newton Raphson



Gambar 3.1. Flowchart Algoritma Aliran Daya Newton Raphson

3.2. Penyelesaian Metode *Interactive Trade-off*

3.2.1. Algoritma Genetika^[6]

Algoritma Genetika merupakan metode *adaptive* yang bisa digunakan untuk memecahkan suatu pencarian nilai dalam sebuah masalah optimasi. Algoritma ini didasarkan pada proses genetik yang ada dalam mahluk hidup yaitu perkembangan generasi dalam sebuah populasi yang alami, secara lambat laun mengikuti prinsip seleksi alam “siapa yang kuat, dia yang bertahan (*survive*)”. Dengan meniru proses ini, algoritma genetika dapat digunakan untuk mencari solusi permasalahan-permasalahan dalam dunia nyata.

Algoritma Genetika ditemukan oleh John Holland pada awal tahun 1970 yang dilandasi oleh sifat-sifat evolusi alam. Holland percaya bahwa ini sangat cocok digabungkan dalam sebuah algoritma komputer, menghasilkan sebuah teknik penyelesaian untuk permasalahan-permasalahan yang sulit dengan langkah alami yaitu melalui evolusi. John Holland mulai bekerja dengan algoritma yang dibentuk dari string-string biner 1 dan 0 yang disebut *kromosom*. Seperti halnya alam, algoritma ini menyelesaikan permasalahan-permasalahan dengan menemukan kromosom-kromosom yang baik dengan memanipulasi materi dan sifat (*gene*) kromosom-kromosom. Algoritma ini tidak mengetahui type permasalahan yang akan diselesaikan. Hanya informasi yang telah diberikan dari *evaluasi* berupa nilai fitness setiap kromosom dengan nilai fitness terbaik yang bertahan hidup dan selalu diproduksi.

Sebelum Algoritma Genetika dijalankan, maka sebuah kode yang sesuai (representasi) untuk persoalan harus dirancang. Titik solusi dalam ruang

permasalahan dikodekan dalam bentuk kromosom/string yang terdiri dari komponen genetik terkecil yaitu gen. Pemakaian bilangan seperti integer, floating point dan abjad sebagai *allele* (nilai gen) memungkinkan penerapan operator genetika yaitu proses produksi (*reproduction*), pindah silang (*crossover*), mutasi (*mutation*) untuk menciptakan himpunan titik-titik solusi. Untuk memeriksa hasil optimasi, kita membutuhkan fungsi *fitness* yang menandakan gambaran hasil (*solution*) yang sudah dikodekan. Selama proses, induk harus digunakan untuk reperoduksi, pindah silang dan mutasi untuk menciptakan keturunan (*offspring*). Jika Algoritma Genetika didesain dengan baik, populasi akan mengalami konvergensi dan akan mendapatkan sebuah solusi yang optimum.

Algoritma Genetika memiliki empat dasar kerja yaitu :

1. Bekerja dengan mengkodekan parameter-parameter permasalahan dan tidak bekerja secara langsung dengan parameter-parameter tersebut.
2. Mencari solusi masalah dari sejumlah populasi kandidat solusi, tidak hanya memproses satu solusi saja.
3. Hanya memperhitungkan fungsi fitness setiap kandidat solusi untuk mendapatkan hasil optimum global.
4. Menggunakan aturan transisi secara probabilistik bukan deterministik.

3.2.1.1. Istilah-Istilah Algoritma Genetika

Algoritma Genetika menggunakan mekanisme genetika yang ada pada proses alami dan sistem buatan. Istilah-istilah yang digunakan adalah gabungan dari dua disiplin ilmu, yaitu ilmu Biologi dan ilmu computer. Mitsuo Gen dan Runwei Cheng (1997) menjelaskan istilah-istilah yang digunakan dalam Algoritma Genetika sebagai berikut :

Tabel 3-1. Istilah Yang Digunakan Dalam Algoritma Genetika

Istilah	Keterangan
Kromosom	Individu berupa segmen string yang sudah ditentukan
Gen	Bagian dari string
Loci	Posisi dari gen
Allele	Nilai yang dimasukkan dalam gen
Phenotype	String yang merupakan solusi terakhir
Genotype	Sejumlah string hasil perkawinan yang berpotensi sebagai solusi

Terdapat beberapa parameter yang digunakan dalam Algoritma Genetika. Parameter tersebut digunakan untuk melihat kompleksitas dari Algoritma Genetika. Parameter yang digunakan tersebut adalah :

Jumlah Generasi (MAXGEN)

Merupakan jumlah perulangan (iterasi) dilakukannya rekombinasi dan seleksi. Jumlah generasi ini mempengaruhi kestabilan output dan lama iterasi (waktu proses Algoritma Genetika). Jumlah generasi yang besar dapat mengarahkan kearah solusi yang optimal, namun akan membutuhkan waktu yang lama. Sedangkan jika jumlah generasinya terlalu sedikit maka solusi akan terjebak pada local optimum.

Ukuran Populasi (POPSIZE)

Ukuran populasi mempengaruhi kinerja dan efektifitas dari Algoritma Genetika. Jika ukuran populasi kecil maka populasi tidak menyediakan cukup materi untuk mencakup ruang permasalah, sehingga pada umumnya kinerja Algoritma Genetika menjadi buruk. Dalam hal ini dibutuhkan ruang yang lebih besar untuk mempersentasikan keseluruhan ruang permasalahan. Selain itu penggunaan populasi yang besar dapat mencegah terjadinya konvergensi pada wilayah local. Zbigniew Michalewics (1996) berpendapat banyak aplikasi Algoritma Genetika mempergunakan populasi pada range 50-100.

Probabilitas Crossover (Pc)

Probabilitas crossover ini digunakan untuk mengendalikan frekuensi operator crossover. Dalam hal ini, dalam populasi terdapat $Pc \times POPSIZE$ struktur (individu) yang melakukan pindah silang. Semakin besar nilai probabilitas crossover maka semakin cepat struktur baru yang diperkenalkan dalam populasi. Namun jika probabilitas crossover terlalu besar maka struktur dengan nilai fungsi obyektif yang baik dapat hilang dengan lebih cepat dari seleksi. Sebaliknya jika probabilitas terlalu kecil akan menghalangi proses pencarian dalam proses Algoritma Genetika. Zbigniew Michalewics (1996) berpendapat banyak aplikasi Algoritma Genetika mempergunakan angka probabilitas crossover pada range 0.65 – 1.

Probabilitas Mutasi (P_m)

Mutasi digunakan untuk meningkatkan variasi populasi digunakan untuk menentukan tingkat mutasi yang terjadi, karena frekuensi terjadinya mutasi tersebut menjadi $P_m \times POPSIZE \times N$, dimana N adalah panjang struktur / gen dalam satu individu. Probabilitas mutasi yang rendah akan menyebabkan gen-gen yang berpotensi tidak dicoba. Dan sebaliknya, tingkat mutasi yang tinggi akan menyebabkan keturunan akan semakin mirip dengan induknya. Dalam Algoritma Genetika, mutasi menjalankan aturan penting yaitu :

1. Mengganti gen-gen yang hilang sama proses seleksi.
2. Menyediakan gen-gen yang tidak muncul pada saat inisialisasi awal populasi.

Zbigniew Michalewics (1996) berpendapat banyak aplikasi Algoritma Genetika mempergunakan anka probabilitas mutasi pada daerah range 0.001 – 0.01.

Panjang Kromosom ($NVAR$)

Panjang kromosom berbeda-beda sesuai dengan model permasalahan. Titik solusi dalam ruang permasalahan dikodekan dalam bentuk kromosom/string yang terdiri dari komponen genetik terkecil yaitu gen. Pengkodean dapat memakai bilangan seperti string biner, integer, floating point dan abjad.

3.2.1.2. Proses Algoritma Genetika

Sangat perlu untuk mengetahui proses dalam Algoritma Genetika. Dibawah ini akan diuraikan mengenai hal itu, dimana uraian ini merupakan penjabaran dari Algoritma Genetika seperti penjelasan pada bagian berikutnya.

A. Pengkodean atau Representasi

Langkah pertama kali yang dilakukan dalam penggunaan Algoritma Genetika adalah melakukan pengkodean atau representasi terhadap permasalahan yang akan dilakukan.

Secara umum Algoritma Genetika dibentuk oleh serangkaian kromosom yang ditandai dengan x_i ($i = 1, 2 \dots N$). Setiap elemen dalam kromosom ini adalah variabel string yang disebut gen, berisi nilai-nilai atau allele. Variabel-variabel ini dapat dinyatakan dalam bentuk bilangan biner, bilangan real (*floating point*), integer, abjad. Pengkodean string biner merupakan pendekatan klasik yang digunakan dalam penelitian Algoritma Genetika karena sederhana. Meskipun representasi dengan cara ini menyulitkan untuk beberapa permasalahan optimasi, misalnya permasalahan graph coloring. Digunakan teknik pengkodean yang lain seperti representasi real number (*floating point*), representasi *order-based* (untuk *bin-patching, graph coloring*), embedded lists (untuk permasalahan penjadwalan (*scheduling*), *variable element list* (untuk semi konduktor layout), dan even *LISP S-expressions*.

Selanjutnya beberapa kromosom dibentuk dan berkumpul membentuk populasi. Populasi inilah populasi awal bagi Algoritma Generika untuk awal melakukan pencarian.

B. Fungsi *Fitness* (Fungsi Evaluasi)

Dalam Algoritma Genetika, sebuah fungsi *fitness* $f(x)$ harus dirancang untuk masing-masing permasalahan yang akan diselesaikan. Dengan

menggunakan kromosom tertentu, fungsi obyektif atau fungsi evaluasi akan mengevaluasi status masing-masing kromosom. Setiap gen x_i ($i = 1, 2, \dots, N$) dipergunakan untuk menghitung $f_k(x)$ ($k = 1, 2, \dots, POPSIZE$).

Pada permulaan optimasi, biasanya nilai *fitness* masing-masing individu masih mempunyai rentang yang lebar. Seiring dengan bertambah besar generasi, beberapa kromosom mendominasi populasi dan mengakibatkan rentang nilai *fitness* semakin kecil. Hal ini dapat mengakibatkan konvergensi dini (*premature convergence*).

Permasalahan klasik dalam Algoritma Genetika adalah beberapa kromosom dengan nilai *fitness* yang tinggi (tetapi bukan nilai optimum) mendominasi populasi dan mengakibatkan Algoritma Genetika konvergen pada lokal optimum. Ketika mencapai konvergen, kemampuan Algoritma Genetika untuk mencari solusi yang lebih baik menghilang. Tukar silang antara kromosom induk yang hampir identik. Dalam hal ini hanya operasi mutasi yang mampu menghasilkan kromosom yang relatif baru dan merupakan cara untuk menghindari kromosom tertentu mendominasi populasi.

C. Seleksi

Pada Algoritma Genetika terdapat proses seleksi yaitu proses pemilihan kromosom yang akan di-crossover-kan dengan kromosom dari individu lain. Masalah yang paling mendasar pada proses ini adalah bagaimana proses penyelesiannya. Menurut teori Darwin proses seleksi individu adalah : “*individu terbaik akan tetap hidup dan menghasilkan keturunan*”. Pada proses seleksi ini

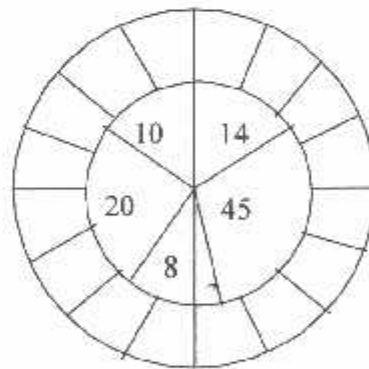
dapat menggunakan banyak metode seperti *roulette wheel selection*, *rank selection*, *elitesm* dan lain sebagainya.

■ Roulette Wheel Selection

Dimana setiap individual memiliki harga fitness sehingga didapatkan probabilitas individual $(f(i)/\sum f(i))$ tersebut dicopykan pada populasi yang baru. Untuk individual yang memiliki probabilitas 20% untuk jumlah populasi 10 maka kemungkinan individual tersebut dapat terpilih sebanyak dua kali. Illustrasi kerja operator ini dapat digambarkan seperti pada gambar 3.1.

Adapun algoritma dari *roulette-wheel* adalah sebagai berikut :

1. Menjumlahkan fitness dari seluruh anggota populasi.
2. Membangkitkan nilai k, suatu nilai random antara 0 dan total fitnessnya.
3. Menjumlahkan fitness dari kromosom-kromosom dari populasi mulai 0 hingga total fitness lebih besar atau sama dengan nilai k lalu ambil kromosom tersebut,



Gambar 3.2. Roulette-Wheel^[6]

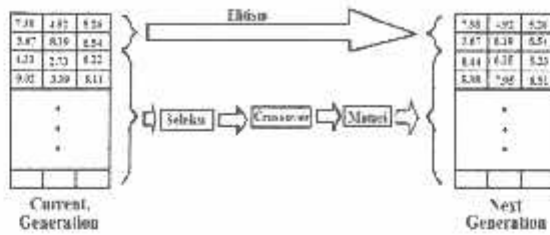
Rank Selection

Apabila fitness yang dimiliki oleh suatu kromosom dalam populasi berbeda terlalu jauh dari kromosom lainnya maka hal ini dapat menjadi permasalahan. Misalnya bila kromosom terbaik mempunyai fitness yang menyebabkan besarnya tempat yang dimilikinya dalam *roulette wheel* sebesar 90% maka kromosom-kromosom yang lain akan mempunyai peluang yang terlalu kecil untuk diseleksi.

Rank selection pertama kali merangking populasi dan kemudian setiap kromosom diberi nilai fitness baru berdasarkan hasil rangking tersebut. Yang pertama akan mempunyai *fitness 1*, yang kedua akan mempunyai *fitness 2* dan seterusnya sampai yang terakhir akan mempunyai *fitness N*. Dengan demikian semua kromosom akan mempunyai peluang untuk diseleksi..

3.2.1.3. Elitism

Selama membuat populasi baru dengan crossover dan mutasi, kemungkinan akan terjadi kehilangan kromosom terbaik (*best/few best*). Elitism adalah metode yang pertama kali meng-copy-kan kromosom terbaik (*best/few best*) kedalam populasi baru. Sisanya dikerjakan dengan cara biasa, yaitu melalui seleksi, crossover dan mutasi. Elitism dapat secara cepat meningkatkan performansi dari Algoritma Genetika karena *elitism* menghindarkan hilangnya hilangnya solusi terbaik (*best / few best*) yang telah ditemukan. Illustrasi kerja operator ini dapat digambarkan seperti pada gambar 3.3.

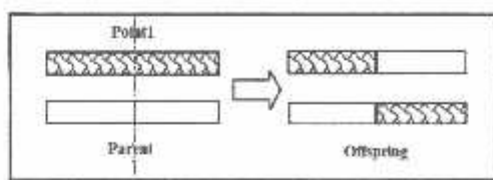


Gambar 3.3. Pembentukan *Next Generation* dalam Algoritma Genetika^[6]

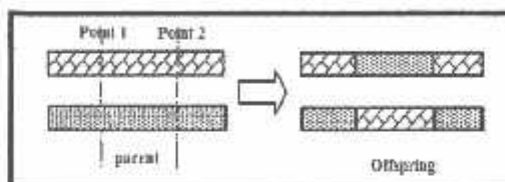
3.2.1.4 Crossover (Pindah Silang)

Fungsi dari *crossover* adalah menghasilkan kromosom anak dari kombinasi materi-materi gen dua kromosom induk. Cara kerjanya dengan membangkitkan sebuah nilai random r_k dimana $k = 1, 2, \dots, POPSIZE$. Probabilitas *crossover* (P_c) ditentukan dan digunakan untuk mengendalikan frekuensi operator *crossover*. Apabila nilai $r_k < P_c$ maka kromosom ke- k terpilih untuk mengalami *crossover*. *Crossover* yang paling sederhana adalah *one point crossover*. Posisi titik persilangan (point) ditentukan secara random pada range satu sampai panjang kromosom. Kemudian nilai *offspring* diambil dari dua parent tersebut dengan batas titik persilangan tersebut. Ilustrasi kerja operator ini digambarkan seperti pada gambar 3.4.

Kemudian ditingkatkan lagi dengan menggunakan *two point crossover*. Penentuan posisi titik persilangan sama seperti sama seperti *one point crossover* sebelumnya. Pemilihan secara random dilakukan 2 kali. Kemudian nilai *offspring* diambil dari dua parent tersebut dengan batas dua titik persilangan tersebut. Ilustrasi kerja operator ini digambarkan seperti pada gambar 3.5.

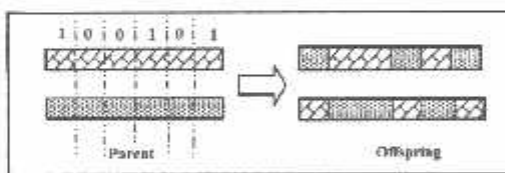


Gambar 3.4. Illustrasi operator dengan *One Point Crossover*^[6]



Gambar 3.5. Illustrasi operator dengan *Two Point Crossover*^[6]

Untuk *crossover* uniform dibangkitkan suatu nilai random 0 dan 1 sepanjang jumlah kromosom untuk nilai loci. Jika nilai yang dibangkitkan mempunyai nilai 1 maka *allele* parent 2 dan offspring 2 untuk loci tersebut diambil dari *allele* parent 1 dan offspring 2 untuk loci tersebut diambil dari allele parent 2. Illustrasi kerja operator ini digambarkan seperti pada gambar 3.6.

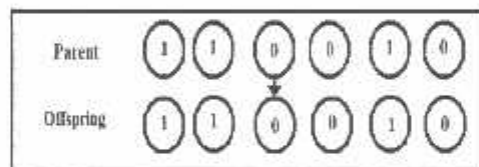


Gambar 3.6. Illustrasi operator *crossover* dengan *uniform crossover*^[6]

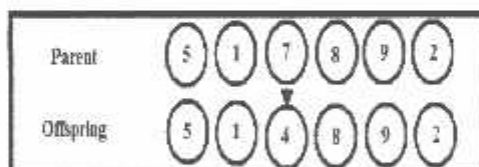
3.2.1.5 Mutation (Mutasi)

Operator mutasi digunakan untuk memodifikasi satu atau lebih nilai gen dalam satu individu. Cara kerjanya dengan membangkitkan sebuah nilai random r_k dimana $k = 1, 2, \dots, NVAR$ (panjang kromosom). Probabilitas mutasi (P_m)

ditentukan dan digunakan untuk mengendalikan frekuensi operator mutasi. Apabila nilai random $r_k < P_m$ maka gen ke-k kromosom tersebut terpilih untuk mengalami mutasi. Mutasi dengan mengganti gen 0 dengan 1 atau sebaliknya gen 1 dengan 0. Biasanya disebut flip yaitu membalik nilai ke 1 atau 1 ke 0. Ilustrasi kerja operator untuk representasi string biner digambarkan pada gambar 3.7. Untuk bentuk representasi integer atau floating point, atau selain string biner, seperti gambar 3.8, proses mutasi terjadi apabila nilai $r_k < P_m$ memenuhi maka gen ke-k digantikan oleh suatu nilai random yang dibangkitkan pada range tertentu sesuai dengan pembentukan populasi awal.



Gambar 3.7. Ilustrasi operator mutasi untuk representasi string biner^[6]



Gambar 3.8. Ilustrasi operator mutasi untuk representasi integer^[6]

Untuk kromosom induk seperti gambar 3-8 diatas yaitu 5-1-7-8-9-2, proses mutasi adalah dibangkitkan sebuah nilai random r_k , [$k = 1 \dots NVAR$]. Misalkan pada saat $k = 3$ nilai $r_3 < P_m$ maka gen ke-3 yang bernilai 7 akan bermutasi dengan gen hasil random pada range {1...x} dan diperoleh nilai 4.

Maka bentuk kromosom barunya adalah 5-1-4-8-9-x. Dimana x adalah nilai sembarang integer.

Fungsi dari operator mutasi adalah untuk menghindari agar solusi masalah yang diperoleh bukan merupakan solusi optimum lokal. Seperti halnya pada operator *crossover*, tipe dan implementasi dari operator mutasi bergantung pada jenis pengkodean dan permasalahan yang dihadapi. Seberapa sering mutasi dilakukan dinyatakan dengan suatu probabilitas mutasi, Prm. Posisi elemen pada kromosom yang akan mutasi ditentukan secara random. Mutasi dikerjakan dengan cara melakukan perubahan pada elemen tersebut.

3.3. Metode *Interactive Trade-Off*^[17]

Pada prinsipnya metode *Algoritma Interactive trade-Off* ini merupakan suatu metode yang baik dalam menganalisa masalah penentuan letak dan kapasitas kapasitor pada jaringan primer, tujuan-tujuan ini berbeda satu sama lainnya dan memiliki hubungan-hubungan *trade-off*. Pendekatan-pendekatan konvensional yang mengoptimalkan satu tujuan yang memiliki suatu tingkat kesulitan dalam memecahkan suatu studi kasus. Oleh karena itu dengan adanya metode *Algoritma Interactive trade-Off* yang didasarkan atas teknik ϵ -dihambat (ϵ -constrained technique) yaitu untuk memperoleh sebuah solusi yang diinginkan dan paling memuaskan. Melalui tahap-tahap interaktif, metode ini dapat memberikan pilihan atau kebijakan pengoperasian sistem pada setiap tujuan untuk memecahkan masalah optimisasi multi tujuan (*multi-objective optimization*). Pada metode *Algoritma Interactive trade-Off* lebih di titik beratkan pada masalah biaya yang paling rendah (ekonomis), karena dalam perhitungan diarahkan hanya ke

satu titik saja, yaitu ketitik yang memberikan hasil dengan biaya termurah dari penempatan kapasitor.

Sebuah sistem distribusi dengan lokasi nl yang dimungkinkan sebagai penempatan kapasitor, dan level beban nt yang berbeda. Biarkan q menjadi vektor dimensional nl , di mana $q = (q_1, q_2, \dots, q_{nl})$, di mana q_i menggambarkan ukuran kapasitor yang dipasang pada lokasi i . Biarkan $q' = (q'_1, q'_2, \dots, q'_{nl})$ di mana q menunjukkan setting kontrol pada lokasi i selama level beban ke j . Selanjutnya, dipertimbangkan dua kapasitor yang berbeda, yaitu kapasitor yang berubah-ubah (*Switched*) dan kapasitor tetap (*fixed*).

3.3.1. Fungsi Tujuan (*Objective Functions*)

Tujuan dari penempatan kapasitor dalam sistem distribusi adalah untuk mengurangi kehilangan energi dan tingkat tegangan dalam batas yang diijinkan, serta meminimalkan biaya total pada rencana penempatan yang dipilih.

3.3.2. Meminimalkan Pengeluaran Konstruksi Kapasitor (*Minimise The Capacitor Construction expenditures*)

Pengeluaran biaya kapasitor terdiri dari dua hal. Hal pertama menunjukkan biaya pembelian, sedangkan hal kedua menunjukkan biaya pemasangan dan pemeliharaan.

$$\min f_c = \sum_{i \in \Omega} \frac{1}{\gamma} [k_p(q) + k_f(q)] a_i \quad \dots \quad (3.10)$$

Di mana;

a_i = Variabel keputusan 0-1, $a_i = 1$ apabila bus ke i dipilih untuk pemasangan kapasitor; sebaliknya $a_i = 0$.

Ω = Menunjukkan lokasi penempatan yang terdiri dari bus-bus yang akan dipertimbangkan untuk injeksi kapasitor.

Y = Menunjukkan lama waktu (tahun) dari kapasitor.

k_p = Menggambarkan biaya pembelian kapasitor dengan ukuran q .

k_f – Menunjukkan pemasangan tetap dan biaya pemeliharaan.

3.3.3. Meminimalkan Kehilangan Daya Nyata (*Minimise The Real Power Loss*)

Tujuan ini diusahakan untuk meminimalkan biaya total dari kchilangan daya nyata yang muncul dari cabang-cabang saluran, seperti yang ditetapkan dalam persamaan berikut ini:

$$\min f_p = \sum_{j=1}^m k_j t_j p_{loss,j} \dots \quad (3.11)$$

Di mana:

nt = Menunjukkan total jumlah level beban.

k_j = Menunjukkan biaya daya yang muncul pada level beban j .

t_j = Menunjukkan durasi pada level beban j .

$p_{loss,j}$ = Menunjukkan total kehilangan daya nyata pada sistem yang dipertimbangkan dalam level beban j .

3.3.4. Meminimalkan Penyimpangan Tegangan Bus (*Minimise The Deviation of Bus Voltage*)

Tegangan bus, sebuah indeks yang penting mencirikan keamanan sistem dan kualitas daya untuk sebuah sistem distribusi. Oleh karena itu, satu indeks

didefinisikan untuk mengukur defisiensi yang disebabkan oleh penyimpangan tegangan bus seperti di bawah ini:

$$\min f_v = \max_i |v_i - v_i^{\text{Rated}}| \quad i = 1, 2, 3, \dots, nb \quad (3.12)$$

Di mana:

nb = Menunjukkan total jumlah bus.

v_i dan v_i^{Rated} = Menunjukkan tegangan nyata dan tegangan yang dinilai pada bus i .

f_v = Menunjukkan penyimpangan maksimal dari tegangan bus dalam sistem.

3.3.5. Memaksimalkan *Security Margin* dari Feeder dan Transfomator

Sebuah indeks sederhana untuk menilai keamanan sistem adalah pembebanan marjin pengisi dan transformer. Indeks keamanan ditentukan sebagai berikut:

$$\min f_s = 1 - \min_i \left| \frac{P_{i\text{Rate}} - P_{i\text{load}}}{P_{i\text{Rate}}} \right| \quad i = 1, 2, 3, \dots, nb \quad (3.13)$$

Di mana:

$P_{i\text{load}}$ dan $P_{i\text{Rate}}$ = Menunjukkan aliran daya dan batas kapasitas dari cabang (transformer) i .

nh = Menunjukkan total jumlah cabang-cabang.

f_s = Menunjukkan keamanan dan indeks kapasitas sistem dari pengisi.

3.3.6. Optimisasi Multi Tujuan (*Multi-Objective Optimisation*)

Perencanaan atau pengoperasian sebuah sistem pada umumnya memiliki banyak tujuan, yang harus didapatkan secara simultan. Dari perspektif matematika, masalah optimisasi multi objektif dapat dinyatakan sebagai berikut:

$$\min f(x) = [f_1(x), f_2(x), \dots, f_n(x)]^T \dots \quad (3.14)$$

$$x \in \Omega \quad \dots \quad (3.15)$$

$$h_k(x) \leq 0 \quad k = 1, 2, \dots, p \quad (3.17)$$

Di mana:

x = Menunjukkan suatu vektor keputusan

Ω = Menunjukkan domain bukan kosong (ruang solusi), dan $f(x)$.

1 = 1,2, ..., m

M = Menunjukkan fungsi-fungsi tujuan.

$c(x)$ dan $h_k(x)$ = Menunjukkan batasan-batasan yang sama dan tidak sama.

Satu alternatif yang penting untuk optimisasi multi tujuan adalah tidak untuk mendapatkan solusi terbaik, tetapi untuk memperoleh solusi kompromi (optimal) yang baik. Dalam kasus ini, konsep kebaikan digunakan untuk mencirikan solusi untuk masalah multi tujuan dengan melakukan analisis *trade-off*.

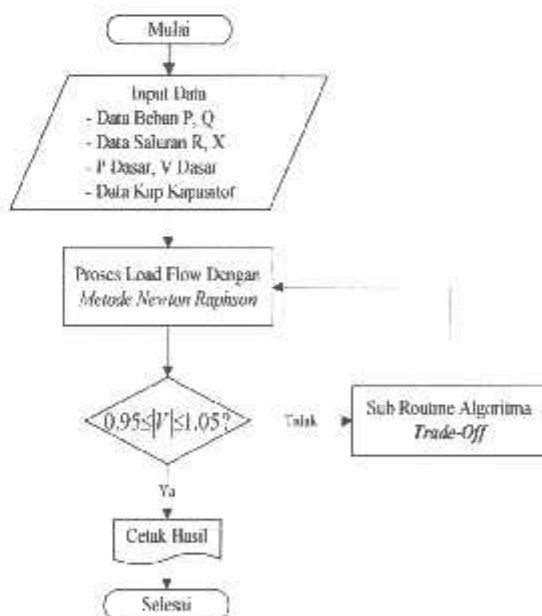
- b. ‘Tidak’ Langsung ke langkah 5
- 4. Melakukan Sub Routine Algoritma *Trade-Off*
- 5. Cetak hasil
- 6. Stop

3.3.9. Algoritma Program Solusi *Interactive Trade-Off*

1. Masukan Parameter-parameter *GA* Jumlah populasi (Pop Size), Maksimum Generasi (Max Gen), nilai kemungkinan Crossover (Pc), Nilai Kemungkinan Mutasi (Pm), dan panjang kromosom tiap inividu.
2. Memecahkan masalah *Multi-Objective* Dengan Metode *GA* memakai persamaan $\min f(x) = [f_1(x), f_2(x), \dots, f_n(x)]^T$; Misalnya ε_i^0 menunjukkan nilai optimal awal dari fungsi tujuan ke i dari tingkat 1, yaitu $\varepsilon_i^0 = \min f_i(x), 1, 2, \dots, m$
3. Uji Solusi dari Tahap 2, apabila Solusi ini dipenuhi dan sesuai dengan batasan $h_k(x) \leq 0$ ‘Ya’, Maka lakukan ‘Stop’; sebaliknya, apabila solusi ini tidak dipenuhi, melangkahlah ke tahap selanjutnya
4. Tetapkan poin interaktif $r = 0$
5. Pilihlah fungsi tujuan utama, $f_r(x)$, dari perangkat fungsi-fungsi tujuan, dan biarkan fungsi tujuan yang tersisa $m-1$ menjadi batasan-batasan ketidaksamaan dengan menentukan hubungan maksimum batas-batas yang diperbolehkan, ε_i^{r+1} .
6. Pecahkan masalah optimal tujuan tunggal Dengan Menggunakan persamaan $\min f_N(x)$.

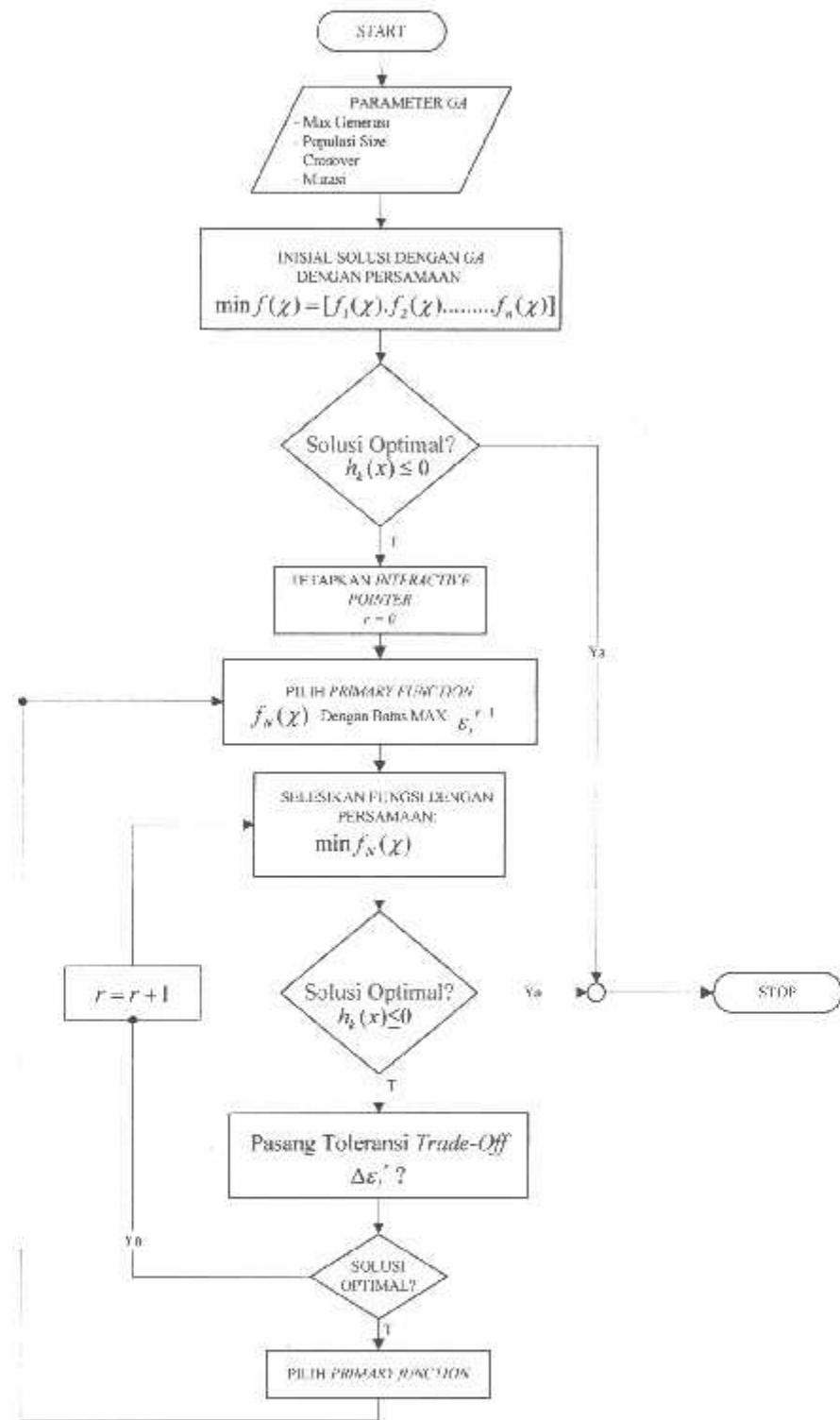
7. Tetapkanlah solusi dari tahap 6. Apabila solusi ini dipenuhi dan sesuai dengan batasan $b_k(x) \leq 0$ ‘Ya’, maka Lakukan ‘Stop’ ; sebaliknya, apabila solusi ini tidak dipenuhi ‘Tidak’, melangkahlah ke tahap selanjutnya.
8. Pasangkan kembali toleransi trade-off $\Delta \varepsilon'_i$. Apabila sudah dipasang, tentukanlah nilai yang baru untuk masing-masing ε'_i dan biarkan $r = r+1$. Kemudian, melangkahlah ke tahap 5; apabila terjadi sebaliknya, melangkahlah ke tahap selanjutnya
9. Apabila *primer function* utama harus dirubah, melangkahlah ke tahap 5; jika terjadi sebaliknya, melangkah ke tahap selanjutnya.
10. STOP (Menghasilkan keluaran solusi yang paling memuaskan)

3.3.10. Flowchart Algoritma Pemecahan Masalah



Gambar 3.9. Flowchart Algoritma Pemecahan Masalah

3.3.11. Flowchart Algoritma Solusi *Interactive Trade-Off*



Gambar 3-10 Flowchart Algoritma Solusi *Interactive Trade-Off*

BAB IV

ANALISA PENENTUAN LETAK, KAPASITAS KAPASITOR, JUMLAH PADA JARINGAN DISTRIBUSI 20kV TIPE RADIAL PENYULANG PUJON

4.1. Program Komputer Penentuan Letak, Kapasitas Kapasitor, Jumlah Pada Jaringan Distribusi Radial Penyulang Pujon

Dalam penyelesaian masalah ini maka diperlukan bantuan program komputer dalam perhitungan yang membutuhkan ketelitian dan keakuratan,

Program komputer dalam skripsi ini dijalankan dengan menggunakan bahasa pemrograman Borland Delphi versi 7.0 dan diaplikasikan pada komputer Pentium 4. dengan Prosesor 1,8A GHz, dengan Memori 256 Mb.

4.2. Sistem Distribusi Tenaga listrik 20kV GI Sengkaling Penyulang Pujon.

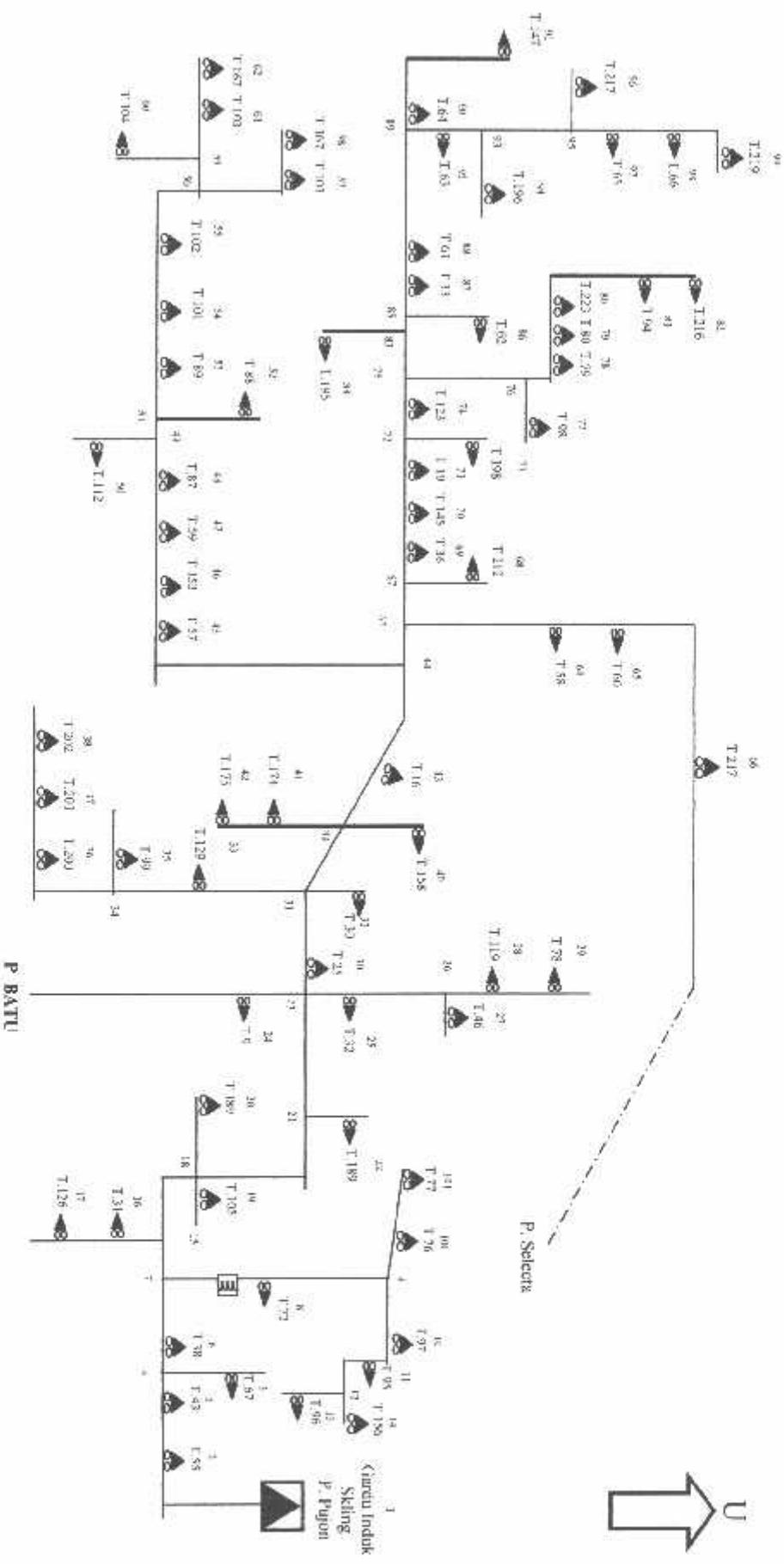
Dalam perhitungan aliran daya Data yang diambil dari GI Sengkaling Malang yang melayani 6 (enam) buah penyulang dengan 2 (dua) buah Trafo yang masing-masing 150/20kV-30MVA dan 150/20kV-30MVA.

Namun pada sekripsi ini hanya menganalisa satu penyulang saja, yaitu pada penyulang Pujon. Sistem Distribusi Radial GI Sengkaling yang memakai tegangan Distribusi 20kV. Untuk menyelesaikan perhitungan Aliran Daya terlebih dahulu ditetapkan *single line diagram* sesuai dengan gambar 4-1 yang akan

dianalisis. Agar memudahkan perhitungan maka digunakan system per-unit (pu), dimana dasar yang digunakan:

- Tegangan Dasar : 20kV
- Daya Dasar : 30MVA

Selanjutnya bus-bus yang diklasifikasikan, yaitu busbar GI Sengkaling diasumsikan sebagai *slack bus*, sedangkan bus-bus yang lain sepanjang saluran Radial sebagai *load bus*. Dalam hal ini tidak ada bus generator karena sepanjang saluran tidak terdapat pembangkitan.



Gambar 4.1. Single Line Diagram Penyulang Pujon Sebelum Penempatan Kapasitor

4.3. Data Saluran

Jaringan distribusi Penyulang Pujon menggunakan kabel saluran udara dengan spesifikasi yang seperti pada tabel 4-1

**Tabel 4-1
Spesifikasi Saluran**

Jenis Konduktor	Penampang nominal (mm ²)	Impedansi saluran (Ω/km)
AAAC	150	0.2162 + j 0.3305
AAAC	120	0.2688 + j 0.3376
AAAC	70	0.4608 + j 0.3572
AAAC	50	0.6452 + j 0.3678
AAAC	35	0.9217 + j 0.3790

Dengan mengacu pada gambar 4-1 *single line diagram* penyulang Pujon, perhitungan saluran yang diperoleh dari data hasil Perhitungan panjang saluran pada Tabel Lampiran A-1.1

Dari data spesifikasi saluran pada penyulang pujon diketahui bahwa jenis konduktor yang digunakan adalah AAAC (*all-aluminium-alloyconductors*) dengan penampang nominal 150 mm² dan impedansi saluran 0.2162 + j0.3305 Ω/km.

Untuk perhitungan Impedansi saluran diberikan contoh pada *node 1 ke 2* sebagai berikut:

Jarak antara node dari 1 ke 2 dengan panjang = 580.3 m = 0.5803 km

$$R = 0.5803 \text{ km} \times 0.2162 \Omega/\text{km} = 0.1255 \Omega$$

$$X = 0.5803 \text{ km} \times 0.3305 \Omega/\text{km} = 0.1918 \Omega$$

Selanjutnya untuk contoh perhitungan Impedansi Saluran dalam *per-unit* (*pu*) pada *node* 1 ke 2 sebagai berikut:

Ditentukan :

$$V_{\text{dasar}} = 20 \text{ kV}$$

$$P_{\text{dasar}} = 30 \text{ MVA}$$

Untuk mencari Z (impedansi) dasar :

$$Z = \frac{V_{\text{dasar}}^2}{P_{\text{dasar}}} = \frac{(\text{KV})^2}{\text{MVA}}$$

$$Z_{\text{dasar}} = \frac{20^2}{30} = 13,33 \text{ pu}$$

Untuk merubah impedansi dalam *per-unit* (*pu*)

Dari hasil perhitungan impedansi saluran diatas, pada node 1 ke node 2 diketahui nilai :

$$R = 0,1255 \Omega$$

$$X = 0,1918 \Omega$$

Untuk merubah Z_{1-2} (impedansi pada nomor saluran 1) dalam *pu*

$$Z_{1-2} = \frac{0,1255 + j0,1918}{13,33} = 0,00941 + j0,0143 \text{ pu}$$

Dengan cara yang sama seperti pada contoh diatas maka diperoleh hasil seperti pada tabel 4-2.

Tabel 4-2
Data Hasil Perhitungan Saluran Penyulang Pujon

No Saluran	Node		Panjang (m)	Impedansi Saluran			
	Dari	Ke		R (Ω)	X (Ω)	R (pu)	X (pu)
1	1	2	580.3	0.1255	0.1918	0.0094	0.0144
2	2	3	1432.6	0.3097	0.4735	0.0232	0.0355
3	3	4	863.9	0.1868	0.2855	0.0140	0.0214
4	4	5	85.4	0.0185	0.0282	0.0014	0.0021
5	4	6	683.3	0.1477	0.2258	0.0111	0.0169
6	6	7	2082.8	0.4503	0.6884	0.0338	0.0516
7	7	8	154.4	0.0334	0.051	0.0025	0.0038
8	8	9	414.5	0.0896	0.137	0.0067	0.0103
9	9	10	896.5	0.1938	0.2963	0.0145	0.0222
10	10	11	463.5	0.1002	0.1532	0.0075	0.0115
11	11	12	452	0.0977	0.1494	0.0073	0.0112
12	12	13	1424.5	0.308	0.4708	0.0231	0.0353
13	12	14	1233	0.2666	0.4075	0.0200	0.0306
14	7	15	1244.8	0.2691	0.4114	0.0202	0.0309
15	15	16	90.5	0.0196	0.0299	0.0015	0.0022
16	16	17	20.4	0.0044	0.0067	0.0003	0.0005
17	15	18	338	0.0731	0.1117	0.0055	0.0084
18	18	19	182.2	0.049	0.0615	0.0037	0.0046
19	18	20	402.8	0.1083	0.136	0.0081	0.0102
20	18	21	304.3	0.0658	0.1006	0.0049	0.0075

Tabel 4-2 Selanjutnya untuk No saluran 20-100 Dapat dilihat pada Lampiran A-1

4.4. Pembebanan Sistem 20 kVPenyulang Pujon

Pembebanan diperoleh dengan mengambil data dari masing-masing trafo distribusi, dimana besarnya beban pada masing-masing fasa diasumsikan seimbang. Jika besarnya pembebanan adalah nol, maka pada node tidak terdapat trafo distribusi tetapi hanya merupakan simpul. Pada tahap ini rugi-rugi yang terjadi pada trafo distribusi diabaikan, dengan mengasumsi factor daya 0,86. Dibawah ini diberikan contoh perhitungan pembebanan pada *Node 2*, Dengan melihat gambar 4-4 dan mengambil data dari masing-masing trafo pada lampiran A-2

$$\begin{aligned}
 \text{Kapasitas Trafo} &= 150 \text{ kVA} \\
 \text{Beban Gardu} &= 35\% \\
 \text{Factor Daya} &= \cos \varphi = 0,86 \\
 &\quad \sin \varphi = 0,5102 \\
 \text{Pembebanan} &= 150 \times 35\% = 52 \text{ kVA} \\
 \text{Beban Aktif (P}_2\text{)} &= 52 \times \cos \varphi = 52 \times 0,86 = 44,7200 \text{ kW} \\
 \text{Beban Reaktif (Q}_2\text{)} &= 52 \times \sin \varphi = 52 \times 0,5102 = 26,5304 \text{ kVAR}
 \end{aligned}$$

Dan selanjutnya perhitungan untuk merubah P (beban aktif) dan Q (beban reaktif) kedalam bentuk *per-unit (pu)*

Dari hasil perhitungan pembebanan diatas, pada *node* 2 diketahui nilai :

$$P_2 = 44,72 \text{ kW} \quad Q_2 = 26,83 \text{ kV}$$

Untuk merubah beban aktif (P) dan beban reaktif (Q) dalam pu

$$P = \frac{P \text{ (kW)}}{P_{\text{dasar}}} \quad Q = \frac{Q \text{ (kVAR)}}{P_{\text{dasar}}}$$

Maka :

$$P_2 = \frac{44,72}{30} = 1,490 \text{ pu} \quad Q_2 = \frac{26,53}{30} = 0,884 \text{ pu}$$

Untuk *node* 3 sampai dengan 20 terlihat seperti pada tabel 4-3 dibawah ini

Tabel 4-3
Data Hasil Perhitungan Pembebanan Sistem 20kV Penyulang Pujon

No Node	Kode Trafo	Lokasi	Pembebanan					Type Node
			S (kVA)	P (kW)	Q (kVAR)	P (pu)	Q (pu)	
1	-	-	0	0.000	0.000	0.000	0.000	Slack
2	T55	Jl Raya Ngandai	52	44.720	26.530	1.491	0.884	Load
3	T43	Jl Raya Mojorejo	70	60.200	35.714	2.007	1.190	Load
4	-	-	0	0.000	0.000	0.000	0.000	Load
5	T67	Dk Beji	43	36.980	21.939	1.233	0.731	Load
6	T38	Jl Raya Beji	32	27.520	16.326	0.917	0.544	Load
7	-	-	0	0.000	0.000	0.000	0.000	Load
8	T72	Emanuel temas	63	54.180	32.143	1.806	1.071	Load
9	-	-	0	0.000	0.000	0.000	0.000	Load
10	T97	Ds Temas Klerek	142	122.120	72.448	4.071	2.415	Load
11	T95	Ds Torong Rejo	93	79.980	47.449	2.666	1.582	Load
12	-	-	0	0.000	0.000	0.000	0.000	Load
13	T96	Ds Torong Rejo tutup	80	68.800	40.816	2.293	1.361	Load
14	T156	Ds wukir	0	0.000	0.000	0.000	0.000	Load
15	-	-	0	0.000	0.000	0.000	0.000	Load
16	T31	Jl Sudiro	38	32.680	19.388	1.089	0.646	Load
17	T126	Jl Sudiro	138	118.680	70.408	3.956	2.347	Load
18	-	-	0	0.000	0.000	0.000	0.000	Load
19	T105	R.s Paru-paru	73	62.780	37.245	2.093	1.241	Load
20	T189	Jl Kasiman	78	67.080	39.796	2.236	1.327	Load

Tabel 4-3 Selanjutnya untuk No Node 21-101 Dapat dilihat pada Lampiran A-1

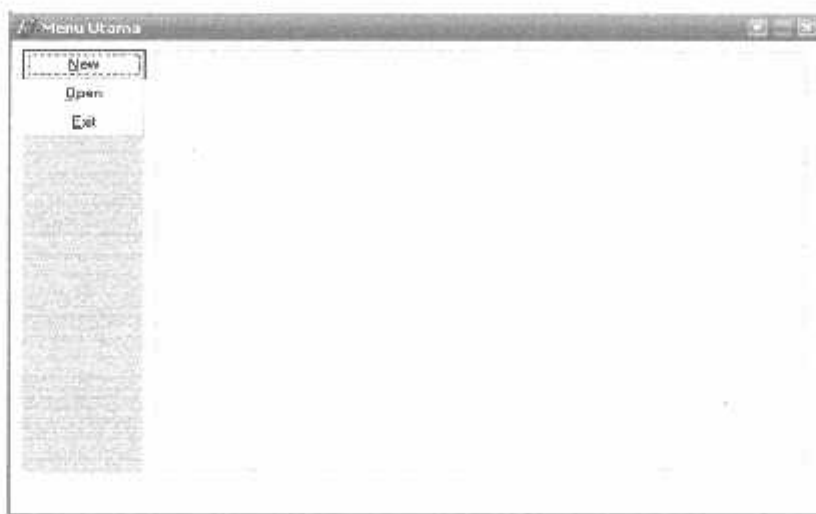
4.5. Data Kapasitas Kapasitor dan Harga (Cost/ kVAR).

Pada analisa mencantkan nilai biaya, nilai kapasitas kapasitor dan harga sudah ditentukan dalam \$ /kVAR. Data yang tersedia oleh *suplier* untuk *feeder* distribusi yaitu dengan ukuran (*size*) 30 kVAR/Unit dan harga kapasitor yang tersedia 400\$/Bank.^[7]

4.6. Prosedur Pelaksanaan Program Perhitungan

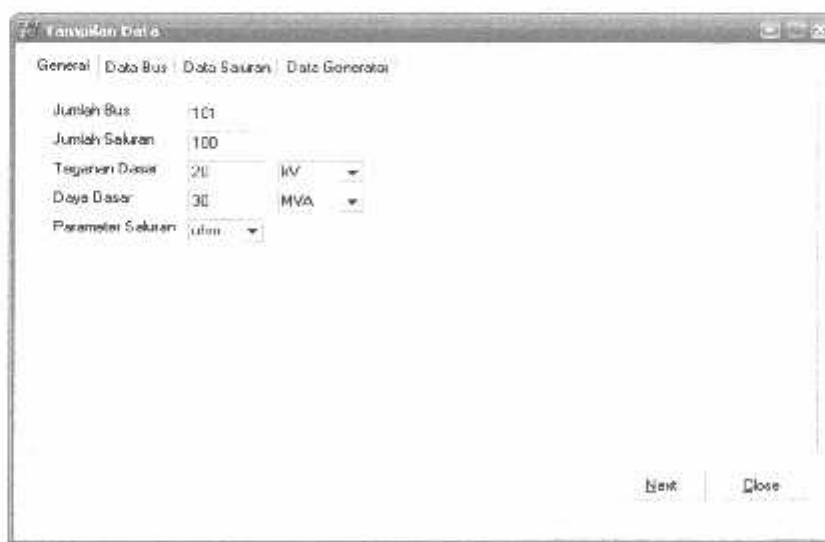
Prosedur menjalankan program perhitungan dengan menggunakan bahasa pemrograman Borland Delphi versi 7.0 dapat dilakukan sebagai berikut :

1. Tampilan Utama Program



Gambar 4.2. Tampilan Utama Program

2. Tekan tombol *New* untuk memasukkan data baru atau tekan *Open* untuk data yang tersimpan



Gambar 4.3. Tampilan Inputan Data (General)

Tampilan Data								
General		Data Bus		Data Saluran		Data Generator		
Bus	absV (pu)	sudV (deg)	Pg (kW)	Qg (kVAR)	Pl (kW)	Ql (kVAR)	Egen (ohm)	Type Bus
1	1	0	0	0	0	0	0	1
2	2	0	0	0	44.72	26.53	0	3
3	1	0	0	0	60.2	35.714	0	3
4	1	0	0	0	0	0	0	3
5	1	0	0	0	36.98	21.939	0	3
6	1	0	0	0	27.52	16.326	0	3
7	1	0	0	0	0	0	0	3
8	1	0	0	0	54.18	32.143	0	3
9	1	0	0	0	0	0	0	3
10	1	0	0	0	122.12	72.440	0	3
11	1	0	0	0	70.00	47.440	0	3
12	1	0	0	0	0	0	0	3
13	1	0	0	0	58.8	40.816	0	3
14	1	0	0	0	0	0	0	3
...

Gambar 4.4. Tampilan Inputan Data (Data Pembebanan)

Tampilan Data								
General		Data Bus		Data Saluran		Data Generator		
No	Dan	Ke	R (ohm)	X (ohm)	Lc (ohm)	Tr	Tu	Su (deg)
1	1	2	0.1295	0.1919	0	0	0	10000
2	2	3	0.3097	0.4735	0	0	0	10000
3	3	4	0.1060	0.2655	0	0	0	10000
4	4	5	0.11185	0.11025	0	0	0	10000
5	4	6	0.1477	0.2258	0	0	0	10000
6	6	7	0.4503	0.6004	0	0	0	10000
7	7	8	0.0834	0.0834	0	0	0	10000
8	8	9	0.0895	0.1137	0	0	0	10000
9	9	10	0.1938	0.2963	0	0	0	10000
10	10	11	0.1082	0.1532	0	0	0	10000
11	11	12	0.0977	0.1494	0	0	0	10000
12	12	13	0.306	0.4700	0	0	0	10000
13	12	14	0.2668	0.4075	0	0	0	10000
...

Gambar 4.5. Tampilan Inputan Data (Data Saluran)

3. Tekan Tombol *Next* kemudian tekan tombol **LF Awal** untuk melihat hasil perhitungan aliran daya *Newton Raphson* sebelum kompensasi.

Hasil Loadflow																
[LF Awal]		Aliran Daya		Summary		Parameter		LF Akhir		Aliran Daya		Summary		Grafik V	Hasil Program	
No.	Bus	Vab(V) (pu)	θab(V) (deg)	Pb (kW)	Qb (kVAR)	Pa (kW)	Qa (kVAR)	Qi (kVAR)	Sups (pu)	Type Bus						
1		0.00000	0.00000	3949.982	2427.859	0.000	0.000	0.000	0.000	1						
2	0.99780	0.06502	0.000	0.300	44.720	26.530	0.000	0.000	0.000	0						
3	0.99174	0.22609	0.000	0.300	60.200	35.714	0.000	0.000	0.000	0						
4	0.98626	-0.32095	0.000	0.000	0.000	0.000	0.000	0.000	0.000	0						
5	0.98626	-0.32104	0.000	0.000	0.000	36.980	21.939	0.000	0.000	0						
6	0.90554	-0.30050	0.000	0.000	27.520	16.326	0.000	0.000	0.000	0						
7	0.97732	-0.62770	0.000	0.000	0.000	0.000	0.000	0.000	0.000	0						
8	0.97225	-0.62092	0.000	0.000	54.180	32.143	0.000	0.000	0.000	0						
9	0.97710	-0.63411	0.000	0.000	0.000	0.000	0.000	0.000	0.000	0						
10	0.97604	-0.64140	0.000	0.000	122.120	72.448	0.000	0.000	0.000	0						
11	0.97677	-0.64357	0.000	0.000	79.980	47.449	0.000	0.000	0.000	0						
12	0.97674	-0.64452	0.000	0.000	0.000	0.000	0.000	0.000	0.000	0						
13	0.97663	-0.64750	0.000	0.000	69.800	40.915	0.000	0.000	0.000	0						
14	0.97674	-0.64452	0.000	0.000	0.000	0.000	0.000	0.000	0.000	0						
15	0.97235	-0.75206	0.000	0.000	0.000	0.000	0.000	0.000	0.000	0						

Gambar 4.6. Tampilan Hasil Aliran Daya Untuk Mengetahui Harga Tegangan Dan Sudut Fasa Tiap-tiap Bus Sebelum Kompensasi

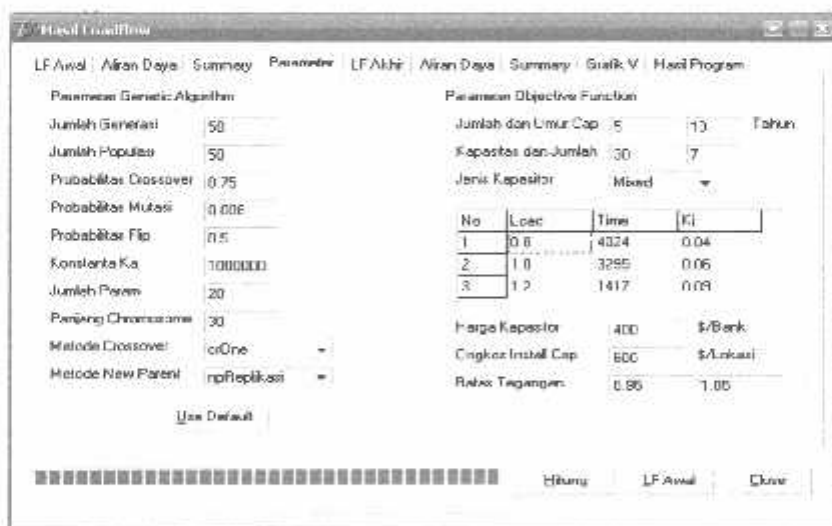
Hasil Loadflow																
[LF Awal]		Aliran Daya		Summary		Parameter		LF Akhir		Aliran Daya		Summary		Grafik V	Hasil Program	
No.	Dan	Kel	P (kW)	Q (kVAR)	Aarus(A)	Aarus(A)	Dan	Kel	P (kW)	Q (kVAR)	Aarus(A)	Aarus(A)				
1	1	2	3949.982	2427.859	197.499	121.383	2	1	3943.230	-2						
2	2	3	3898.618	2390.322	195.269	120.051	3	2	3882.247	2						
3	3	4	3822.047	2331.231	192.231	118.238	4	3	381.732	-2						
4	4	5	36.960	21.939	1.965	1.129	5	4	-36.960	-2						
5	4	6	3775.552	2293.750	190.367	117.119	6	4	-3760.174	-2						
6	5	7	3740.654	2266.144	189.975	116.293	7	6	3718.484	2						
7	7	8	411.223	244.078	20.900	12.717	8	7	411.204	2						
8	8	9	357.024	211.905	18.146	11.042	9	8	-355.863	-2						
9	9	10	270.965	-60.012	13.774	8.302	10	9	-272.915	-1						
10	10	11	148.795	88.297	7.565	4.604	11	10	-149.787	-1						
11	11	12	68.367	40.826	3.498	2.129	12	11	68.805	-						
12	12	13	60.005	40.034	3.490	2.120	13	12	-60.000	-						
13	12	14	-0.000	0.000	-0.000	0.000	14	12	0.000	-						
14	7	15	3307.261	1988.174	168.016	103.563	15	7	3296.773	1						

Gambar 4.7. Tampilan Hasil Aliran Daya Untuk Arus yang Mengalir pada Saluran dan Daya tiap Saluran Sebelum Kompensasi



Gambar 4.8. Tampilan Total Pembangkitan, Pembebanan, dan Rugi-rugi Sebelum Kompensasi

- Kemudian tekan tombol **Parameter** dan **Use Default** untuk melihat parameter dari *Interactive Trade-Off* dan parameter *Objective Function* yang digunakan.



Gambar 4.9. Tampilan Parameter Yang Digunakan

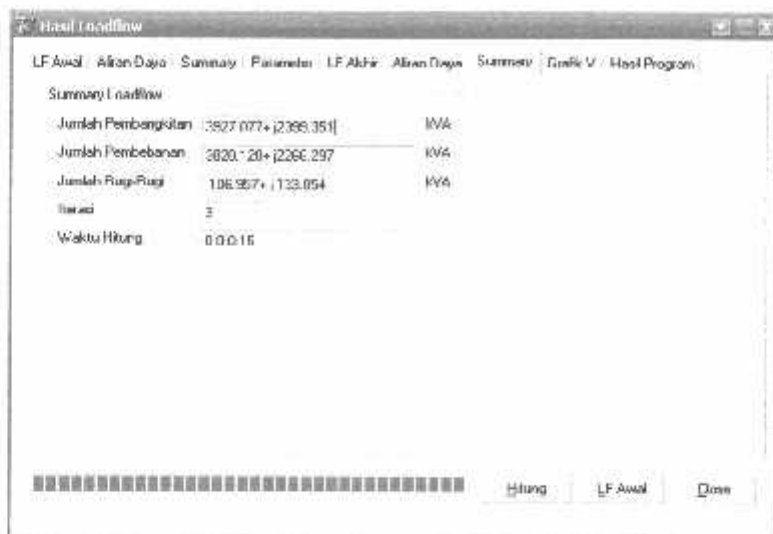
4. Kemudian pilih tombol **Hitung** untuk memperoleh hasil perhitungan Aliran Daya dengan *Metode Newton Raphson* setelah kompensasi.

Bus	V(V)	theta(V)	Pw(kW)	Qw(kVar)	Pf(kW)	Qf(kVar)	Sbus(pu)	Type Bus
1	1.00000	0.00000	3937.077	1649.351	0.000	0.000	0.000	1
2	0.99796	-0.07840	0.000	0.000	44.720	26.550	0.000	2
3	0.99306	0.27145	0.000	0.000	60.200	35.714	0.000	3
4	0.98016	0.36723	0.000	0.000	3.000	0.000	0.000	3
5	0.99015	-0.36732	0.000	0.000	36.980	21.053	0.000	3
6	0.98789	0.47853	0.000	0.000	27.520	16.326	0.000	3
7	0.98106	0.76777	0.000	0.000	0.000	0.000	0.000	3
8	0.98030	-0.75960	0.000	0.000	54.180	32.143	0.000	3
9	0.98082	-0.76414	0.000	0.000	0.000	0.000	0.000	3
10	0.98057	0.77145	0.000	0.000	122.120	72.448	0.000	3
11	0.98050	-0.77353	0.000	0.000	79.980	47.449	0.000	3
12	0.98040	-0.77447	0.000	0.000	0.000	0.000	0.000	3
13	0.98036	0.77742	0.000	0.000	68.880	40.016	0.000	3
14	0.98046	0.77447	0.000	0.000	0.000	0.000	0.000	3
15	0.97251	-0.91096	0.000	0.000	0.000	0.000	0.000	3

Gambar 4.10. Tampilan Hasil Aliran Daya Untuk Mengetahui Harga Tegangan Dan Sudut Fasa Tiap-tiap Bus Setelah Kompensasi

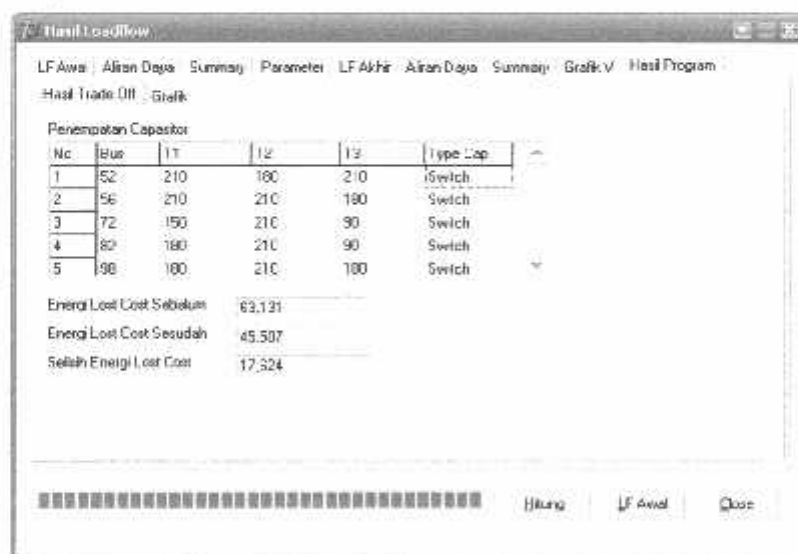
No	Da	Ke	P (kW)	Q (kVar)	Aarus (A)	Aarus im (A)	Da	Ke	P (kW)	Q (kVar)
1	1	2	3927.077	1649.351	196.354	62.480	2	1	-3821.365	-1
2	2	3	3676.685	1614.122	134.115	81.135	3	2	-3862.956	-1
3	3	4	3802.756	1957.445	191.093	79.323	4	3	-3794.760	-1
4	4	5	36.980	21.939	1.880	1.120	5	4	-35.980	-1
5	4	6	3757.780	1523.288	199.232	78.202	6	4	-3751.507	-1
6	8	7	3724.067	1497.495	197.947	77.364	7	6	-3705.400	-1
7	7	8	411.222	244.077	20.792	12.715	8	7	-411.203	2
8	8	9	387.023	211.933	18.052	11.341	9	8	-386.982	2
9	9	10	270.065	190.012	10.700	0.301	10	9	-270.015	-1
10	10	11	146.795	98.287	7.526	4.604	11	10	-148.787	-4
11	11	12	68.807	40.826	3.480	2.129	12	11	-68.805	-4
12	12	13	68.805	40.824	3.480	2.129	13	12	-68.800	-4
13	12	14	0.000	0.000	0.000	0.000	14	12	-0.000	-1
14	7	15	3294.261	1225.007	167.055	64.549	15	7	-3295.626	-1

Gambar 4.11. Tampilan Hasil Aliran Daya Untuk Arus yang Mengalir pada Saluran dan Daya tiap Saluran Setelah Kompensasi



Gambar 4.12. Tampilan Total Pembangkitan, Pembebanan, dan Rugi-rugi Setelah Kompensasi

- Kemudian pilih tombol **Hasil Program** untuk mengetahui hasil penempatan kapasitor pada saluran.



Gambar 4.13. Hasil Penempatan Metode *Interactive- Trade-Off*

- Slack bus = 1
- Load bus = 101
- Jumlah saluran = 100

Setelah dilakukan analisis aliran daya dengan menggunakan metode *Newton Raphson* maka diperoleh profil tegangan tiap-tiap bus, dan Tabel Aliran daya tiap saluran seperti pada tabel 4-4 sampai tabel 4-5.

**Tabel 4-4.
Profil Tegangan dan Sudut Fasa Tiap Bus Penyalang Pujon
Sebelum Kompensasi**

Bus	Tegangan abs (pu)	Sudut Fasa (rad)
1	1.00000	0.00000
2	0.99760	-0.06503
3	0.99174	-0.22509
4	0.98826	-0.32095
5	0.98826	-0.32104
6	0.98554	-0.39650
7	0.97732	-0.62770
8	0.97725	-0.62962
9	0.97710	-0.63441
10	0.97684	-0.64148

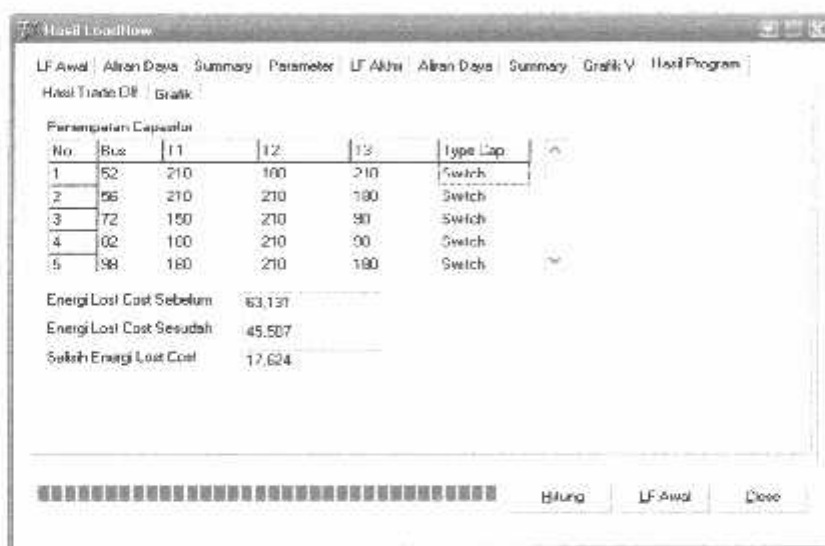
Tabel 4-4 Selanjutnya untuk Bus 10-101 Dapat dilihat pada Lampiran A-1

**Tabel 4-5
Aliran Daya Tiap Saluran Penyalang Pujon
Sebelum Kompensasi**

Saluran		P (kW)	Q (kVAR)	Saluran		P (kW)	Q (kVAR)
Dari	Ke			Dari	Ke		
1	2	3949.982	2427.659	2	1	-3943.238	-2417.352
2	3	3898.518	2390.822	3	2	-3882.247	-2365.945
3	4	3822.047	2330.231	4	3	-3812.532	-2315.690
4	5	36.980	21.939	5	4	-36.980	-21.939
4	6	3775.552	2293.750	6	4	-3768.174	-2282.470
6	7	3740.654	2266.144	7	6	-3718.484	-2232.252
7	8	411.223	244.078	8	7	-411.204	-244.048
8	9	357.024	211.905	9	8	-356.983	-211.843
9	10	270.965	160.812	10	9	-270.915	-160.735
10	11	148.795	88.287	11	10	-148.787	-88.275

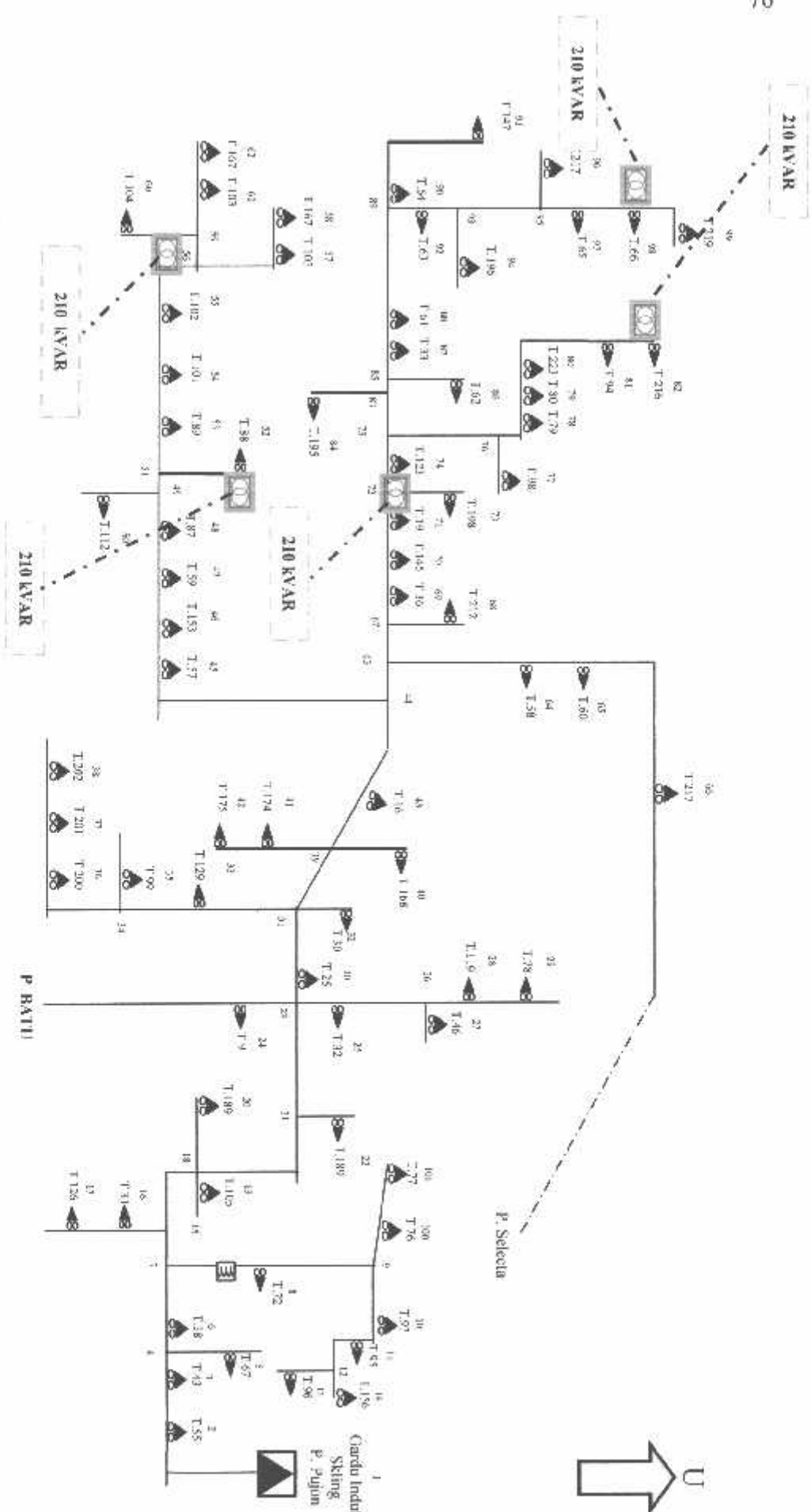
Tabel 4-5 Selanjutnya Dapat dilihat pada Lampiran A-1

Dari hasil analisa diatas dapat disimpulkan bahwa penyulang Pujon perlu dipasang kapasitor untuk menaikan profil tegangan yang dianggap kritis yang beroperasi diluar batas yang dijinkan oleh PLN (0.95% - 1.05%) yang terjadi pada bus 70-99, Mengurangi rugi-rugi saluran, dan untuk mengurangi biaya Operasional seminim mungkin. Seperti terlihat pada gambar 4-14 tampilan hasil perhitungan dengan metode kombinasi *Interactive- Trade-Off*.



Gambar 4-14. Hasil Program Penempatan Metode *Interactive- Trade-Off*

Dari gambar 4.14 diatas dapat dilihat bahwa kapasitor dipasang pada bus 52 dengan kapasitas 210 kVAR tipe Switch, bus 56 dengan kapasitas 210 kVAR tipe Switch, bus 72 dengan kapasitas 210 kVAR tipe Switch, bus 82 dengan kapasitas 210 kVAR tipe Switch dan bus 98 dengan kapasitas 210 kVAR tipe Switch seperti yang terlihat pada gambar 4.15 *single line Diagram* penempatan Kapasitor Metode *Interactive Trade-Off*. Dimana besar biaya yang dikeluarkan adalah sebesar 45.507 US \$ atau sebesar Rp. 423.215.100,- (dengan asumsi 1 US \$ adalah Rp. 9.300,-).



Gambar 4-15. Single Line Diagram Penempatan Kapasitor
Metode Interactive Trade-Off

Setelah dilakukan pemasangan kapasitor diperoleh perbaikan profil tegangan, penurunan batas pembebahan saluran serta pengurangan Aliran daya tiap Saluran . Data dapat dilihat pada tabel 4-6 sampai tabel 4-7.

Tabel 4-6.
Profil Tegangan dan Sudut Fasa Tiap Bus Penyulang Pujon
Setelah Kompensasi

Bus	Tegangan Abs (pu)	Sudut Fasa (Rad)
1	1.00000	0.00000
2	0.99798	-0.07840
3	0.99306	-0.27145
4	0.99016	-0.38723
5	0.99015	-0.38732
6	0.98789	-0.47853
7	0.98105	-0.75777
8	0.98098	-0.75968
9	0.98082	-0.76414
10	0.98057	-0.77145

Tabel 4-6 Selanjutnya untuk Bus 10-101 Dapat dilihat pada Lampiran A-1

Tabel 4-7
Aliran Daya Tiap Saluran Penyulang Pujon
Setelah Kompensasi

Saluran		P (kW)	Q (kVAR)	Saluran		P (kW)	Q (kVAR)
Dari	Ke			Dari	Ke		
1	2	3927.077	1649.351	2	1	-3921.385	-1640.652
2	3	3876.665	1614.122	3	2	-3862.956	-1593.163
3	4	3802.756	1557.449	4	3	-3794.760	-1545.227
4	5	36.980	21.939	5	4	-36.980	-21.939
4	6	3757.780	1523.288	6	4	-3751.587	-1513.821
6	7	3724.067	1497.495	7	6	-3705.483	-1469.084
7	8	411.222	244.077	8	7	-411.203	-244.046
8	9	357.023	211.903	9	8	-356.982	-211.842
9	10	270.965	160.812	10	9	-270.915	-160.735
10	11	148.795	88.287	11	10	-148.787	-88.275

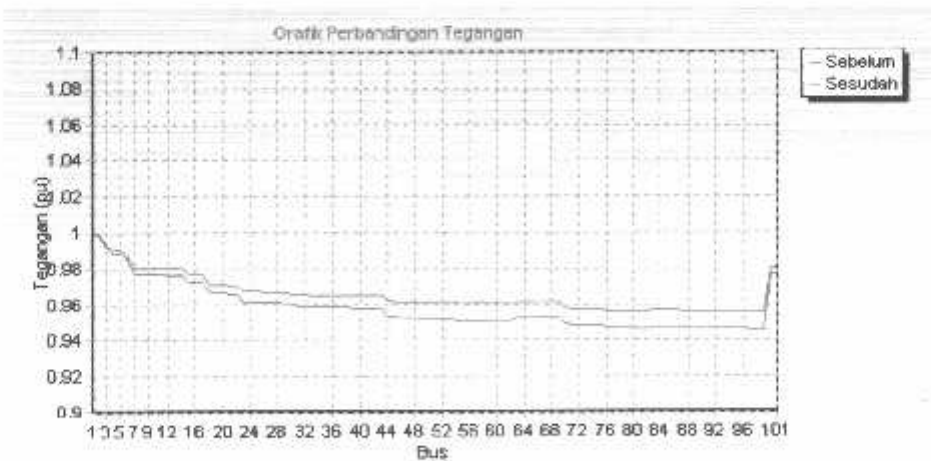
Tabel 4-7 Selanjutnya Dapat dilihat pada Lampiran A-1

Setelah ditentukan penempatan kapasitor pada jaringan 20 kV Sistem Distribusi Radial Penyulang Pujon Gardu Induk Sengkaling dengan menggunakan metode *Interactive- Trade-Off*, maka didapatkan beberapa hasil pada tabel 4-8:

Tabel 4-8
Hasil Program Metode *Interactive- Trade-Off*

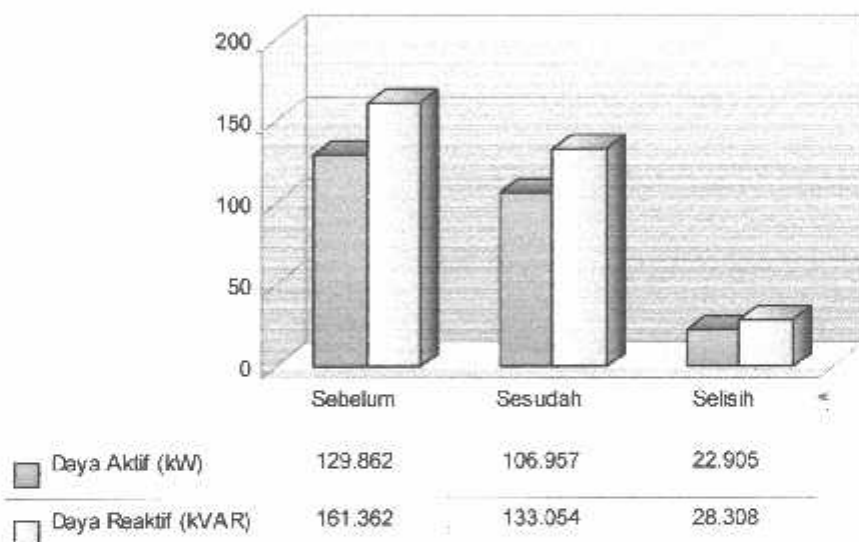
No	Lokasi, kapasitas, dan setting kapasitor yang akan dipasang	Sebelum	Setelah			
			Bus	Kapasitas (kVAR)	Setting	
1					L	M
		52	210	210	180	
		56	210	210	180	
		72	210	150	210	
		82	210	180	210	
2	Tegangan Terendah Pada Bus 99 (pu)	0.94572			0.95590	
3	Rugi Daya: Aktif (kW) Pengurangan (%)	129.862			106.957	17.73
	Reaktif (kVAR)	161.362			133.054	17.54
4	Total Biaya (Rp/Tahun) Selisih (Rp/Tahun) Penghematan (%)	587.118.300			423.215.100	27.92
					163.903.200	

Grafik 4-1. Tegangan Tiap-Tiap Bus Terhadap Asumsi Tegangan Awal, Tegangan Sebelum dan Setelah Kompensasi.

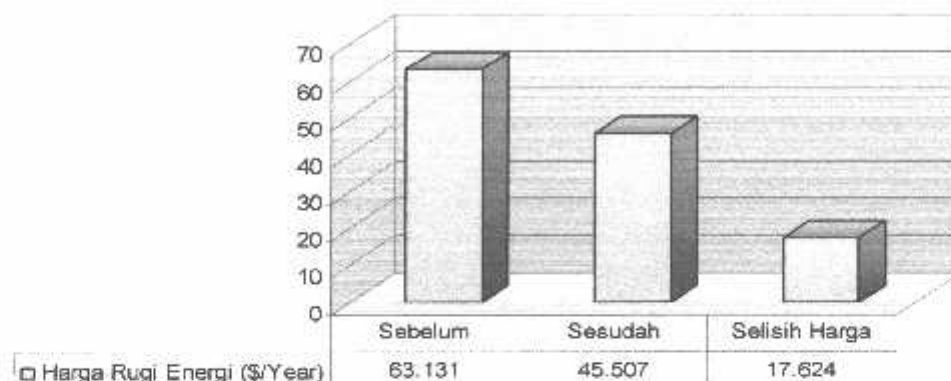


Dari grafik 4-1 terlihat bahwa tegangan terendah terjadi pada bus 99 sebesar 0.94572 pu dan setelah kompensasi naik menjadi 0.95590 pu. Batas tegangan yang diijinkan oleh PLN adalah sebesar 0.95 pu sampai 1.05 pu. Sedangkan rugi-rugi daya sebelum dan setelah kompensasi dapat ditunjukkan seperti pada grafik 4-2

Grafik 4-2. Rugi-Rugi Saluran Sebelum dan Setelah Kompensasi



Dari grafik 4-2 terlihat bahwa penurunan rugi daya aktif adalah 22.905 kW dari 129.862 kW menjadi 106.957 kW sehingga terjadi penurunan sebesar 17.73 %. Sedangkan untuk daya reaktif juga terjadi penurunan sebesar 28.308 kVAR dari 161.362 kVAR menjadi 133.054 kVAR sehingga terjadi penurunan sebesar 17.54 %.

Grafik 4-3. Harga Rugi Energi Sebelum dan Sesudah Kompensasi

Dari grafik 4-3 diatas dapat lihat bahwa biaya yang dikeluarkan sebelum kompensasi sebesar 63.131 \$/Tahun atau sebesar Rp. 587.118.300,-/Tahun dan besar biaya yang dikeluarkan setelah kompensasi adalah sebesar 45.507 US \$ atau sebesar Rp. 423.215.100,-/Tahun sehingga diperoleh nilai penghematan sebesar 27.92 % atau sebesar Rp.163.903.200,-/Tahun (dengan asumsi 1 US \$ adalah Rp. 9.300,-).

BAB V

KESIMPULAN

5.1 Kesimpulan

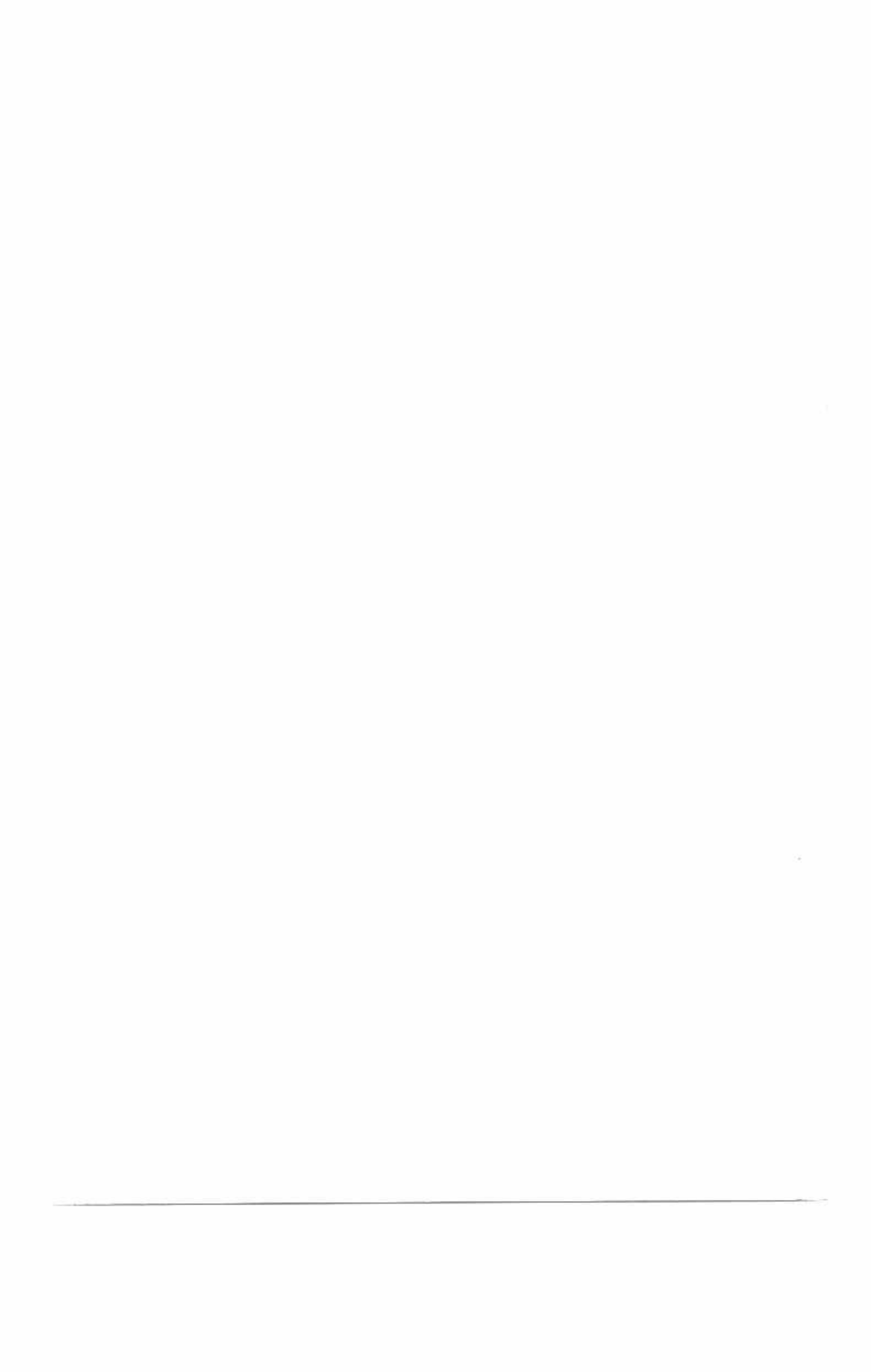
Setelah dilakukan analisis mengenai penentuan lokasi, kapasitas, dan setting kapasitor yang optimal pada sistem distribusi 20 kV dengan menggunakan metode *Interactive Trade-Off* dari uji coba program, maka dapat ditarik kesimpulan sebagai berikut:

1. Berdasarkan hasil perhitungan dengan metode ini letak kapasitor yang optimal terletak pada bus 52 dengan kapasitas 210 kVAR dengan setting 210 kVAR pada level beban Rendah, 180 kVAR pada level beban Normal, dan 210 kVAR pada level beban Tinggi. Bus 56 dengan kapasitas 210 kVAR dengan setting 210 kVAR pada level beban Rendah, 210 kVAR pada level beban Normal, dan 180 kVAR pada level beban Tinggi. Bus 72 dengan kapasitas 210 kVAR dengan setting 150 kVAR pada level beban Rendah, 210 kVAR pada level Normal, dan 90 kVAR pada level beban Tinggi. Bus 82 dengan kapasitas 210 kVAR dengan setting 180 kVAR pada level beban Rendah, 210 kVAR pada level Normal, dan 90 kVAR pada level beban Tinggi. Dan pada bus 98 dengan kapasitas 210 kVAR dengan setting 180 kVAR pada level beban Rendah, 210 kVAR pada level Normal, dan 180 kVAR pada level beban Tinggi.

2. Dari hasil perhitungan aliran daya sebelum kompensasi dengan metode *Newton Raphson* pada penyulang Pujon, tegangan yang beroperasi diluar batas yang diijinkan (0.95% - 1,05%), tidak terjadi pada semua bus. Tegangan terendah saluran yang terjadi sebesar 0.94572 pu atau sebesar 18.9144 kV pada bus 99 dan setelah kompensasi diperbaiki menjadi 0.95590 pu atau sebesar 19.118 kV.
3. Besarnya penurunan rugi-rugi daya setelah kompensasi dengan metode *Interactive Trade-Off* : rugi daya aktif sebesar 17.73 % dari 129.862 kW menjadi 106.957 kW , dan daya reaktif sebesar 17.54 % dari 161.362 kVAR menjadi 133.054 kVAR.
4. Nilai penghematan yang diperoleh setelah kompensasi dengan metode *Interactive Trade-Off* sebesar Rp. 163.903.200/Tahun atau sebesar 27.92%, dimana biaya sebelum pemasangan sebesar 63.131 US \$/Tahun atau sebesar Rp. 587.118.300,-/Tahun, dan total biaya setelah pemasangan sebesar 45.507 US \$/Tahun atau sebesar Rp.423.215.100,-/Tahun (dengan assumsi 1 US \$/ adalah Rp. 9300,-).

DAFTAR PUSTAKA

- [1]. Hasan Basri, "Sistem Distribusi Tenaga Listrik".
- [2]. Djiteng Marsudi, 1990, "Operasi sistem tenaga Listrik", Balai Penerbit Dan Humas ISTN.
- [3]. Turan Gonen, "Electric Power Distribution System Engineering," Mc Graw Hill, 1986.
- [4]. William D Stevenson, Jr. "Analisa Sistem Tenaga Listrik". Edisi ke empat, Erlangga, Jakarta, 1993.
- [5]. AS.Pabla *Punjab State Electricity Board Chandigarh*, Ir. Abdul Hadi "Sistem Distribusi Daya Listrik" Penerbit Erlangga 1986.
- [6]. Mitsuo Gen, Runwei Cheng, "Genetic Algorithm And Engineering Design", (John Wiley & Son, Inc., 1994) p-7
- [7]. Y.-T.Ihsiao and C.-Y.Chien, "OTIMISATION OF CAPACITOR ALLOCATION USING an INTERACTIVE TRADE-OFF METHOD", IEE Proc.-Gener. Transm. Distrib., Vol. 148, No. 4. July 2001.



LAMPIRAN

■ LAMPIRAN A-1

■ LAMPIRAN A-2

■ LAMPIRAN A-3

■ LAMPIRAN A-4

■ LAMPIRAN A-5

■ UCAPAN
TERIMA KASIH
④ BIODATA
PENULIS

LAMPIRAN A-1

- ④ Tabel A-1.1 Data Hasil Perhitungan Panjang Saluran Penyulang Pujon
- ④ Tabel 4-2 Data Hasil Perhitungan Saluran Penyulang Pujon
- ④ Tabel 4-3 Data Hasil Perhitungan Pembebatan Sistem 20kV Penyulang Pujon
- ④ Tabel 4-4 Profil Tegangan dan Sudut Fasa Tiap Bus Penyulang Pujon Sebelum Kompensasi
- ④ Tabel 4-5 Aliran Daya Tiap Saluran Penyulang Pujon Sebelum Kompensasi
- ④ Tabel 4-6 Profil Tegangan dan Sudut Fasa Tiap Bus Penyulang Pujon Setelah Kompensasi
- ④ Tabel 4-7 Aliran Daya Tiap Saluran Penyulang Pujon Setelah Kompensasi

Tabel 4-2
Data Hasil Perhitungan Saluran Penyalang Pujon

No Saluran	Node		Panjang (m)	Impedansi Saluran			
	Dari	Ke		R (Ω)	X (Ω)	R (pu)	X (pu)
1	1	2	580.3	0.1255	0.1918	0.0094	0.0144
2	2	3	1432.6	0.3097	0.4735	0.0232	0.0355
3	3	4	863.9	0.1868	0.2855	0.0140	0.0214
4	4	5	85.4	0.0185	0.0282	0.0014	0.0021
5	4	6	683.3	0.1477	0.2258	0.0111	0.0169
6	6	7	2082.8	0.4503	0.6884	0.0338	0.0516
7	7	8	154.4	0.0334	0.051	0.0025	0.0038
8	8	9	414.5	0.0896	0.137	0.0067	0.0103
9	9	10	896.5	0.1938	0.2963	0.0145	0.0222
10	10	11	463.5	0.1002	0.1532	0.0075	0.0115
11	11	12	452	0.0977	0.1494	0.0073	0.0112
12	12	13	1424.5	0.308	0.4708	0.0231	0.0353
13	12	14	1233	0.2666	0.4075	0.0200	0.0306
14	7	15	1244.8	0.2691	0.4114	0.0202	0.0309
15	15	16	90.5	0.0196	0.0299	0.0015	0.0022
16	16	17	20.4	0.0044	0.0067	0.0003	0.0005
17	15	18	338	0.0731	0.1117	0.0055	0.0084
18	18	19	182.2	0.049	0.0615	0.0037	0.0046
19	18	20	402.8	0.1083	0.136	0.0081	0.0102
20	18	21	304.3	0.0658	0.1006	0.0049	0.0075
21	21	22	293.7	0.079	0.0992	0.0059	0.0074
22	21	23	1257.4	0.2719	0.4156	0.0204	0.0312
23	23	24	406.5	0.0879	0.1344	0.0066	0.0101
24	23	25	154.2	0.0995	0.0567	0.0075	0.0043
25	23	26	627.4	0.5783	0.2378	0.0434	0.0178
26	26	27	6.4	0.0059	0.0024	0.0004	0.0002
27	26	28	204.2	0.1882	0.0774	0.0141	0.0058
28	28	29	1145	1.0562	0.4343	0.0792	0.0326
29	23	30	868.2	0.1877	0.2869	0.0141	0.0215
30	30	31	141.2	0.0305	0.0467	0.0023	0.0035
31	31	32	848.8	0.1835	0.2805	0.0138	0.0210
32	31	33	272.5	0.1758	0.1002	0.0132	0.0075
33	33	34	1127.05	0.7272	0.4145	0.0546	0.0311
34	34	35	102.2	0.0659	0.0376	0.0049	0.0028
35	34	36	496.35	0.1073	0.164	0.0080	0.0123
36	36	37	282.5	0.0611	0.0934	0.0046	0.0070
37	37	38	294.5	0.0637	0.0973	0.0048	0.0073
38	31	39	943.3	0.039	0.3118	0.0029	0.0234
39	39	40	302.31	0.1951	0.1112	0.0146	0.0083

40	39	41	648.11	0.1185	0.1812	0.0089	0.0136
41	41	42	105.9	0.0229	0.035	0.0017	0.0026
42	39	43	40.5	0.0088	0.0134	0.0007	0.0010
43	43	44	1653.6	0.3575	0.5465	0.0268	0.0410
44	44	45	785.2	0.1698	0.2595	0.0127	0.0195
45	45	46	335	0.0726	0.111	0.0054	0.0083
46	46	47	793.2	0.1715	0.2622	0.0129	0.0197
47	47	48	571	0.1235	0.1887	0.0093	0.0142
48	48	49	365.5	0.079	0.1208	0.0059	0.0091
49	49	50	729.8	0.1578	0.2412	0.0118	0.0181
50	49	51	54.1	0.0117	0.0179	0.0009	0.0013
51	51	52	121.8	0.0263	0.0403	0.0020	0.0030
52	51	53	940.35	0.2033	0.3108	0.0153	0.0233
53	53	54	1715.3	0.7904	0.6127	0.0593	0.0460
54	54	55	1192.7	0.5496	0.426	0.0412	0.0320
55	55	56	1123.5	0.2429	0.3713	0.0182	0.0279
56	56	57	1353.3	0.2926	0.4473	0.0220	0.0336
57	57	58	1067.1	0.2307	0.3527	0.0173	0.0265
58	56	59	396.5	0.0857	0.131	0.0064	0.0098
59	59	60	296.8	0.0642	0.0981	0.0048	0.0074
60	59	61	1093.4	0.2364	0.3614	0.0177	0.0271
61	61	62	1162.6	0.2514	0.3842	0.0189	0.0288
62	44	63	497.1	0.1075	0.1643	0.0081	0.0123
63	63	64	570.4	0.1233	0.1885	0.0092	0.0141
64	64	65	907	0.1961	0.2998	0.0147	0.0225
65	65	66	1769.8	0.3826	0.5849	0.0287	0.0439
66	63	67	135.2	0.0292	0.0447	0.0022	0.0034
67	67	68	821.6	0.1776	0.2715	0.0133	0.0201
68	67	69	110.15	0.0238	0.0364	0.0018	0.0027
69	69	70	891.3	0.927	0.2946	0.0695	0.0221
70	70	71	603.2	0.1304	0.1994	0.0098	0.0150
71	71	72	27.3	0.0059	0.0009	0.0004	0.0001
72	72	73	233.1	0.0504	0.077	0.0038	0.0058
73	72	74	258.7	0.0559	0.0855	0.0042	0.0064
74	74	75	198.1	0.0428	0.0655	0.0032	0.0049
75	75	76	1538.1	0.3325	0.5083	0.0249	0.0381
76	76	77	381.43	0.0895	0.1261	0.0067	0.0095
77	76	78	472	0.1021	0.156	0.0077	0.0117
78	78	79	449.6	0.0972	0.1486	0.0073	0.0111
79	79	80	721.4	0.156	0.2384	0.0117	0.0179
80	80	81	940.5	0.2033	0.3108	0.0153	0.0233
81	81	82	1428.3	0.3088	0.4721	0.0232	0.0354
82	75	83	322.1	0.0696	0.1065	0.0052	0.0080
83	83	84	186.4	0.0403	0.0616	0.0030	0.0046

Tabel 4-3
Data Hasil Perhitungan Pembebanan Sistem 20kV Penyalang Pujon

No Node	Kode Trafo	Lokasi	Pembebanan					Type Node
			S (kVA)	P (kW)	Q (kVAR)	P (pu)	Q (pu)	
1	-	-	0	0.000	0.000	0.000	0.000	Slack
2	T55	Jl Raya Ngandat	52	44.720	26.530	1.491	0.884	Load
3	T43	Jl Raya Mojorejo	70	60.200	35.714	2.007	1.190	Load
4	-	-	0	0.000	0.000	0.000	0.000	Load
5	T67	Dk Beji	43	36.980	21.939	1.233	0.731	Load
6	T38	Jl Raya Beji	32	27.520	16.326	0.917	0.544	Load
7	-	-	0	0.000	0.000	0.000	0.000	Load
8	T72	Emanuel temas	63	54.180	32.143	1.806	1.071	Load
9	-	-	0	0.000	0.000	0.000	0.000	Load
10	T97	Ds Temas Kerek	142	122.120	72.448	4.071	2.415	Load
11	T95	Ds Torong Rejo	93	79.980	47.449	2.666	1.582	Load
12	-	-	0	0.000	0.000	0.000	0.000	Load
13	T96	Ds Torong Rejo tutup	80	68.800	40.816	2.293	1.361	Load
14	T156	Ds wukir	0	0.000	0.000	0.000	0.000	Load
15	-	-	0	0.000	0.000	0.000	0.000	Load
16	T31	Jl Sudiro	38	32.680	19.388	1.089	0.646	Load
17	T126	Jl Sudiro	138	118.680	70.408	3.956	2.347	Load
18	-	-	0	0.000	0.000	0.000	0.000	Load
19	T105	R.s Paru-paru	73	62.780	37.245	2.093	1.241	Load
20	T189	Jl Kasiman	78	67.080	39.796	2.236	1.327	Load
21	-	-	0	0.000	0.000	0.000	0.000	Load
22	T188	Jl Lesti	90	77.400	45.918	2.580	1.531	Load
23	-	-	0	0.000	0.000	0.000	0.000	Load
24	T9	jl Hasanudin	167	143.620	85.203	4.787	2.840	Load
25	T32	Jl Indragiri	84	72.240	42.857	2.408	1.429	Load
26	-	-	0	0.000	0.000	0.000	0.000	Load
27	T46	Ds. Sumberejo	113	97.180	57.653	3.239	1.922	Load
28	119	Ds. Sumberejo	0	0.000	0.000	0.000	0.000	Load
29	78	Ds Satrehan	122	104.920	62.244	3.497	2.075	Load
30	25	Jl Trunojoyo	26	22.360	13.265	0.745	0.442	Load
31	-	-	0	0.000	0.000	0.000	0.000	Load
32	30	Ds Songgoriti	39	33.540	19.898	1.118	0.663	Load
33	T129	Jl Flamboyan	110	94.600	56.122	3.153	1.871	Load
34	-	-	0	0.000	0.000	0.000	0.000	Load
35	99	Jl Flamboyan	67	57.620	34.183	1.921	1.139	Load
36	200	Ds Tanbuh	10	8.600	5.102	0.287	0.170	Load
37	201	Ds Tanbuh	8	6.880	4.082	0.229	0.136	Load

38	202	Ds Tanbuh	2	1.720	1.020	0.057	0.034	Load
39	-	-	0	0.000	0.000	0.000	0.000	Load
40	168	Bukit Pinus	12	10.320	6.122	0.344	0.204	Load
41	174	Jl Songgoriti	94	80.840	47.959	2.695	1.599	Load
42	175	Jl Songgoriti	16	13.760	8.163	0.459	0.272	Load
43	16	Jl Songgoriti	71	61.060	36.224	2.035	1.207	Load
44	-	-	0	0.000	0.000	0.000	0.000	Load
45	57	Dk Sebaluh	65	55.900	33.163	1.863	1.105	Load
46	153	Dk Sebaluh	83	71.380	42.347	2.379	1.412	Load
47	59	Dk Maron	69	59.340	35.204	1.978	1.173	Load
48	87	Dk Maron	65	55.900	33.163	1.863	1.105	Load
49	-	-	0	0.000	0.000	0.000	0.000	Load
50	112	Ds Gunung Sari	55	47.300	28.061	1.577	0.935	Load
51	-	-	0	0.000	0.000	0.000	0.000	Load
52	88	Ds Pujon Kidul	34	29.240	17.347	0.975	0.578	Load
53	89	Ds Pujon Kidul	103	88.580	52.551	2.953	1.752	Load
54	101	Dk Biyan	33	28.380	16.837	0.946	0.561	Load
55	102	Dk Bakir	82	70.520	41.836	2.351	1.395	Load
56	-	-	0	0.000	0.000	0.000	0.000	Load
57	103	Dk Cukal	38	32.680	19.388	1.089	0.646	Load
58	167	Dk dadapan	12	10.320	6.122	0.344	0.204	Load
59	-	-	0	0.000	0.000	0.000	0.000	Load
60	104	Ds Cukal	45	38.700	22.959	1.290	0.765	Load
61	166	Dk Tretes	23	19.780	11.735	0.659	0.391	Load
62	167	Dk Dadapan	12	10.320	6.122	0.344	0.204	Load
63	-	-	0	0.000	0.000	0.000	0.000	Load
64	58	Dk Pandemas	36	30.960	18.367	1.032	0.612	Load
65	60	Ds Jurang Rejo	120	103.200	61.224	3.440	2.041	Load
66	217	Ds Brau	14	12.040	7.143	0.401	0.238	Load
67	-	-	0	0.000	0.000	0.000	0.000	Load
68	212	Dk Don Bayi	16	13.760	8.163	0.459	0.272	Load
69	36	Ds Pandesari	108	92.880	55.102	3.096	1.837	Load
70	145	Dk Watu Gong	47	40.420	23.979	1.347	0.799	Load
71	19	Jl Raya Pujon	83	71.380	42.347	2.379	1.412	Load
72	-	-	0	0.000	0.000	0.000	0.000	Load
73	198	Pasar Baru	55	47.300	28.061	1.577	0.935	Load
74	123	Jl Raya Pujon	105	90.300	53.571	3.010	1.786	Load
75	-	-	0	0.000	0.000	0.000	0.000	Load
76	-	-	0	0.000	0.000	0.000	0.000	Load
77	98	Dk Kalangan	70	60.200	35.714	2.007	1.190	Load
78	79	Ds Wiyun Rejo	123	105.780	62.755	3.526	2.092	Load
79	80	Ds Madirejo	47	40.420	23.979	1.347	0.799	Load
80	223	Dk Sobo	16	13.760	8.163	0.459	0.272	Load
81	94	Dk Delik	54	46.440	27.551	1.548	0.918	Load

82	216	Dk Delik	77	66.220	39.285	2.207	1.310	Load
83	-	-	0	0.000	0.000	0.000	0.000	Load
84	195	KOP SAE	29	24.940	14.796	0.831	0.493	Load
85	-	-	0	0.000	0.000	0.000	0.000	Load
86	62	KOP SAE	114	98.040	58.163	3.268	1.939	Load
87	33	Ds Ngroto	132	113.520	67.346	3.784	2.245	Load
88	61	Ds Ngroto	72	61.920	36.734	2.064	1.224	Load
89	-	-	0	0.000	0.000	0.000	0.000	Load
90	64	Dk Iebaksari	36	30.960	18.367	1.032	0.612	Load
91	147	Dk Torong	29	24.940	14.796	0.831	0.493	Load
92	63	Dk Mantung	43	36.980	21.939	1.233	0.731	Load
93	-	-	0	0.000	0.000	0.000	0.000	Load
94	196	Dk Bunder	16	13.760	8.163	0.459	0.272	Load
95	-	-	0	0.000	0.000	0.000	0.000	Load
96	197	Dk Ngebrong	16	13.760	8.163	0.459	0.272	Load
97	65	Ds Ngabab	123	105.780	62.755	3.526	2.092	Load
98	66	Ds Ngabab	63	54.180	32.143	1.806	1.071	Load
99	219	Ds Manting	46	39.560	23.469	1.319	0.782	Load
100	76	Ds Manting	0	0.000	0.000	0.000	0.000	Load
101	77	Dk Gerih	100	86.000	51.020	2.867	1.701	Load

Tabel 4-4.
Profil Tegangan dan Sudut Fasa Tiap Bus Penyulang Pujon
Sebelum Kompensasi

Bus	Tegangan Abs (pu)	Sudut Fasa (Rad)
1	1.00000	0.00000
2	0.99760	-0.06503
3	0.99174	-0.22509
4	0.98826	-0.32095
5	0.98826	-0.32104
6	0.98554	-0.39650
7	0.97732	-0.62770
8	0.97725	-0.62962
9	0.97710	-0.63441
10	0.97684	-0.64148
11	0.97677	-0.64357
12	0.97674	-0.64452
13	0.97663	-0.64750
14	0.97674	-0.64452
15	0.97295	-0.75206
16	0.97294	-0.75248
17	0.97294	-0.75255
18	0.96651	-0.59598
19	0.96650	-0.59603
20	0.96648	-0.59672
21	0.96553	-0.62396
22	0.96550	-0.62458
23	0.96160	-0.73713
24	0.96154	-0.73896
25	0.96157	-0.73711
26	0.96122	-0.73384
27	0.96122	-0.73382
28	0.96122	-0.73384
29	0.96086	-0.73071
30	0.95928	-0.80431
31	0.95890	-0.81519
32	0.95887	-0.81609
33	0.95880	-0.81508
34	0.95861	-0.81489
35	0.95859	-0.81487
36	0.95858	-0.81514
37	0.95858	-0.81521
38	0.95858	-0.81523
39	0.95758	-0.91658
40	0.95757	-0.91657
41	0.95752	-0.91821

42	0.95752	-0.91826
43	0.95748	-0.91931
44	0.95376	-1.02832
45	0.95323	-1.04379
46	0.95303	-1.04981
47	0.95261	-1.06225
48	0.95234	-1.07012
49	0.95219	-1.07451
50	0.95215	-1.07561
51	0.95217	-1.07508
52	0.95217	-1.07520
53	0.95187	-1.08408
54	0.95123	-1.08887
55	0.95084	-1.09176
56	0.95071	-1.09578
57	0.95064	-1.09765
58	0.95063	-1.09800
59	0.95068	-1.09666
60	0.95066	-1.09703
61	0.95064	-1.09771
62	0.95063	-1.09810
63	0.95297	-1.05144
64	0.95288	-1.05410
65	0.95277	-1.05744
66	0.95275	-1.05812
67	0.95278	-1.05711
68	0.95277	-1.05747
69	0.95263	-1.06168
70	0.94913	-1.01277
71	0.94837	-1.03530
72	0.94835	-1.03484
73	0.94834	-1.03520
74	0.94806	-1.04353
75	0.94786	-1.04960
76	0.94731	-1.06636
77	0.94728	-1.06706
78	0.94717	-1.07051
79	0.94708	-1.07293
80	0.94698	-1.07588
81	0.94686	-1.07898
82	0.94676	-1.08204
83	0.94764	-1.05603
84	0.94763	-1.05618
85	0.94729	-1.08516
86	0.94726	-1.08593
87	0.94718	-1.08845
88	0.94693	-1.09573
89	0.94663	-1.10459

90	0.94660	-1.10542
91	0.94657	-1.10636
92	0.94657	-1.10637
93	0.94631	-1.11426
94	0.94627	-1.11422
95	0.94612	-1.11406
96	0.94611	-1.11404
97	0.94597	-1.11390
98	0.94572	-1.11377
99	0.94572	-1.11377
100	0.97695	-0.63396
101	0.97689	-0.63392

Tabel 4-5
Aliran Daya Tiap Saluran Penyulang Pujon
Sebelum Kompensasi

Saluran		P (kW)	Q (kVAR)	Saluran		P (kW)	Q (kVAR)
Dari	Ke			Dari	Ke		
1	2	3949.982	2427.659	2	1	-3943.238	-2417.352
2	3	3898.518	2390.822	3	2	-3882.247	-2365.945
3	4	3822.047	2330.231	4	3	-3812.532	-2315.690
4	5	36.980	21.939	5	4	-36.980	-21.939
4	6	3775.552	2293.750	6	4	-3768.174	-2282.470
6	7	3740.654	2266.144	7	6	-3718.484	-2232.252
7	8	411.223	244.078	8	7	-411.204	-244.048
8	9	357.024	211.905	9	8	-356.983	-211.843
9	10	270.965	160.812	10	9	-270.915	-160.735
10	11	148.795	88.287	11	10	-148.787	-88.275
11	12	68.807	40.826	12	11	-68.805	-40.824
12	13	68.805	40.824	13	12	-68.800	-40.816
12	14	0.000	0.000	14	12	0.000	0.000
7	15	3307.261	1988.174	15	7	-3296.773	-1972.140
15	16	1515.362	89.799	16	15	-151.360	-89.796
16	17	118.680	70.408	17	16	-118.680	-70.408
15	18	3145.411	1882.341	18	15	-3119.471	-1878.378
18	19	62.781	37.246	19	18	-62.780	-37.245
18	20	67.082	39.798	20	18	-67.080	-39.796
18	21	2989.608	1801.333	21	18	-2987.463	-1798.054
21	22	77.402	45.920	22	21	-77.400	-45.918
21	23	2910.061	1752.133	23	23	-2901.648	-1739.268
23	24	143.627	85.213	24	23	-143.620	-85.203
23	25	72.242	42.858	25	23	-72.240	-42.857
23	26	202.229	119.950	26	23	-202.143	-119.915
26	27	97.180	57.653	27	26	-97.180	-57.653
26	28	0.000	0.000	28	26	0.000	0.000
26	29	104.963	62.262	29	26	-104.920	-62.244
23	30	2483.550	1491.246	30	23	-2479.292	-1484.737
30	31	2456.932	1471.472	31	30	-2456.252	-1470.431
31	32	33.541	19.899	32	31	-33.540	-19.898
31	33	169.455	100.529	33	31	-169.436	-100.519
33	34	74.836	44.397	34	33	-74.821	-44.388
34	35	74.821	44.388	35	34	-74.820	-44.387
35	36	17.200	10.204	36	35	-17.200	-10.204
36	37	8.600	5.102	37	36	-8.600	-5.102
37	38	1.720	1.020	38	37	-1.720	-1.020
31	39	2253.256	1350.003	39	31	-2252.525	-1344.154

39	40	10.320	6.122	40	39	-10.320	-6.122
39	41	94.604	56.128	41	39	-94.600	-56.122
41	42	13.760	8.163	42	41	-13.760	-8.163
39	43	2147.601	1281.904	43	39	-2147.451	-1281.675
43	44	2086.391	1245.451	44	43	-2080.635	-1236.652
44	45	619.240	368.051	45	44	-618.998	-367.681
45	46	563.098	334.521	46	45	-563.012	-334.390
46	47	491.632	292.043	47	46	-491.478	-291.807
47	48	432.138	256.603	48	47	-432.052	-256.472
48	49	376.152	223.309	49	48	-376.110	-223.245
49	50	47.301	28.063	50	49	-47.300	-28.061
49	51	328.809	195.182	51	49	-328.804	-195.175
51	52	29.240	17.347	52	51	-29.240	-17.347
51	53	299.564	177.827	52	51	-299.496	-177.723
53	54	210.916	125.172	54	53	-210.785	-125.071
54	55	182.405	108.234	55	54	-182.336	-108.181
55	56	111.816	66.351	56	55	-111.805	-66.333
56	57	43.002	25.513	57	56	-43.000	-25.510
57	58	10.320	6.122	58	57	-10.320	-6.122
56	59	68.803	40.820	59	56	-68.801	-40.818
59	60	38.700	22.960	60	59	-38.700	-22.959
59	61	30.101	17.868	61	59	-30.100	17.857
61	62	10.320	6.122	62	61	-10.320	-6.122
44	63	1461.395	868.601	63	44	1460.541	-867.296
63	64	146.220	86.760	64	63	-146.210	-86.745
64	65	115.250	68.378	65	64	-115.240	-68.363
65	66	12.040	7.143	66	65	-12.040	-7.143
63	67	1314.321	780.536	67	63	-1314.133	-780.249
67	68	13.760	8.163	68	67	-13.760	-8.163
67	69	1300.373	772.085	69	67	-1300.223	-771.856
69	70	1207.343	716.754	70	69	-1202.309	-715.154
70	71	1161.889	691.175	71	70	-1161.228	-690.164
71	72	1089.848	647.817	72	71	-1089.821	-647.813
72	73	47.300	28.062	73	72	-47.300	-28.061
72	74	1042.521	619.751	74	72	-1042.292	-619.402
74	75	951.992	565.831	75	74	-951.846	-565.607
75	76	333.021	197.757	76	75	-332.886	-197.545
76	77	60.201	35.716	77	76	-60.200	-35.714
76	78	272.684	161.829	78	76	-272.656	-161.786
78	79	166.876	99.031	79	78	-166.866	-99.015
79	80	126.446	75.036	80	79	-126.436	-75.022
80	81	112.676	66.859	81	80	112.665	-66.844
81	82	66.225	39.293	82	81	-66.220	-39.285
75	83	618.825	367.850	83	75	-618.725	-367.696

83	84	24.940	14.796	84	83	-24.940	-14.796
83	85	593.784	352.900	85	83	-593.743	-352.467
85	86	98.042	58.166	86	85	-98.040	-58.163
85	87	495.701	294.301	87	85	-495.660	-294.238
87	88	382.140	226.892	88	87	-382.070	-226.785
88	89	320.150	190.051	89	88	-320.078	-189.942
89	90	55.902	33.166	90	89	-55.901	-33.164
90	91	24.941	14.797	91	90	-24.940	-14.796
89	92	264.176	156.776	92	89	-264.165	-156.758
92	93	227.185	134.819	93	92	-227.141	-134.751
93	94	13.761	8.163	94	93	-13.760	-8.163
93	95	213.380	126.587	95	93	-213.338	-126.563
95	96	13.760	8.163	96	95	-13.760	-8.163
95	97	199.577	118.400	97	95	-199.545	-118.381
97	98	93.765	55.626	98	97	-93.740	-55.612
98	99	39.560	23.469	99	98	-39.560	-23.469
9	100	86.018	51.030	100	9	-86.005	-51.023
100	101	86.005	51.023	101	100	-86.000	51.020

Tabel 4-6.
Profil Tegangan dan Sudut Fasa Tiap Bus Penyulang Pujon
Setelah Kompensasi

Bus	Tegangan Abs (pu)	Sudut Fasa (Rad)
1	1.00000	0.00000
2	0.99798	-0.07840
3	0.99306	-0.27145
4	0.99016	-0.38723
5	0.99015	-0.38732
6	0.98789	-0.47853
7	0.98105	-0.75777
8	0.98098	-0.75968
9	0.98082	-0.76414
10	0.98057	-0.77145
11	0.98050	-0.77353
12	0.98046	-0.77447
13	0.98036	-0.77742
14	0.98046	-0.77447
15	0.97751	-0.91096
16	0.97749	-0.91138
17	0.97749	-0.91145
18	0.97133	-0.84005
19	0.97131	-0.84035
20	0.97129	-0.84078
21	0.97055	-0.87523
22	0.97052	-0.87585
23	0.96746	-1.01824
24	0.96740	-1.02005
25	0.96743	-1.01822
26	0.96708	-1.01498
27	0.96708	-1.01497
28	0.96708	-1.01498
29	0.96673	-1.01189
30	0.96571	-1.10615
31	0.96543	-1.12039
32	0.96540	-1.12128
33	0.96533	-1.12029
34	0.96514	-1.12009
35	0.96512	-1.12008
36	0.96511	-1.12034
37	0.96511	-1.12042
38	0.96511	-1.12043

39	0.96473	-1.22471
40	0.96472	-1.22471
41	0.96467	-1.22633
42	0.96467	-1.22637
43	0.96466	-1.22842
44	0.96203	-1.37700
45	0.96178	-1.40246
46	0.96169	-1.41276
47	0.96153	-1.43533
48	0.96146	-1.45052
49	0.96144	-1.45960
50	0.96140	-1.46068
51	0.96143	-1.46086
52	0.96143	-1.46097
53	0.96145	-1.48197
54	0.96110	-1.50872
55	0.96092	-1.52689
56	0.96096	-1.53761
57	0.96111	-1.54760
58	0.96109	-1.54795
59	0.96093	-1.53847
60	0.96092	-1.53883
61	0.96090	-1.53950
62	0.96088	-1.53988
63	0.96141	-1.40570
64	0.96132	-1.40831
65	0.96121	-1.41159
66	0.96119	-1.41226
67	0.96126	-1.41290
68	0.96125	-1.41325
69	0.96114	-1.41871
70	0.95796	-1.42266
71	0.95739	-1.45210
72	0.95738	-1.45199
73	0.95738	-1.45305
74	0.95715	-1.46287
75	0.95699	-1.47064
76	0.95644	-1.48707
77	0.95642	-1.48776
78	0.95631	-1.49115
79	0.95623	-1.49352
80	0.95613	-1.49641
81	0.95600	-1.49946
82	0.95590	-1.50246

83	0.95685	-1.47989
84	0.95685	-1.48003
85	0.95665	-1.50933
86	0.95663	-1.51009
87	0.95658	-1.51380
88	0.95643	-1.52454
89	0.95626	-1.53844
90	0.95624	-1.53926
91	0.95620	-1.54017
92	0.95624	-1.54145
93	0.95614	-1.55552
94	0.95610	-1.55548
95	0.95603	-1.56234
96	0.95601	-1.56232
97	0.95593	-1.56824
98	0.95589	-1.58913
99	0.95590	-1.58987
100	0.98068	-0.76398
101	0.98062	-0.76395

Tabel 4-7.
Aliran Daya Tiap Saluran Penyulang Pujon
Setelah Kompensasi

Saluran		P (kW)	Q (kVAR)	Saluran		P (kW)	Q (kVAR)
Dari	Ke			Dari	Ke		
1	2	3927.077	1649.351	2	1	-3921.385	-1640.652
2	3	3876.665	1614.122	3	2	-3862.956	-1593.163
3	4	3802.756	1557.449	4	3	-3794.760	-1545.227
4	5	36.980	21.939	5	4	-36.980	-21.939
4	6	3757.780	1523.288	6	4	-3751.587	-1513.821
6	7	3724.067	1497.495	7	6	-3705.483	-1469.084
7	8	411.222	244.077	8	7	-411.203	-244.046
8	9	357.023	211.903	9	8	-356.982	-211.842
9	10	270.965	160.812	10	9	-270.915	-160.735
10	11	148.795	88.287	11	10	-148.787	-88.275
11	12	68.807	40.826	12	11	-68.805	-40.824
12	13	68.805	40.824	13	12	-68.800	-40.816
12	14	0.000	0.000	14	12	0.000	0.000
7	15	3294.261	1225.007	15	7	-3285.626	-1211.807
15	16	151.362	89.799	16	15	-151.360	-89.769
16	17	118.680	70.408	17	16	-118.680	-70.408
15	18	3134.264	1122.007	18	15	-3113.068	-1118.768
18	19	62.781	37.246	19	18	-62.780	-37.245
18	20	67.082	39.798	20	18	-67.080	-39.796
18	21	2983.206	1041.725	21	18	-2981.465	-1039.063
21	22	77.402	45.920	22	21	-77.400	-45.918
21	23	2904.064	993.143	23	23	-2897.266	-982.748
23	24	143.627	85.213	24	23	-143.620	-85.203
23	25	72.242	42.858	25	23	-72.240	-42.857
23	26	202.228	119.949	26	23	-202.142	-119.914
26	27	97.180	57.653	27	26	-97.180	-57.653
26	28	0.000	0.000	28	26	0.000	0.000
26	29	104.962	62.261	29	26	-104.920	-62.244
23	30	2479.170	734.727	30	23	-2475.818	-729.603
30	31	2453.458	716.338	31	30	-2452.924	-715.521
31	32	33.541	19.899	32	31	-33.540	-19.898
31	33	169.455	100.529	33	31	-169.436	-100.518
33	34	74.836	44.396	34	33	-74.821	-44.388
34	35	74.821	44.388	35	34	-74.820	-44.387
35	36	17.200	10.204	36	35	-17.200	-10.204
36	37	8.600	5.102	37	36	-8.600	-5.102
37	38	1.720	1.020	38	37	-1.720	-1.020
31	39	2249.928	595.093	39	31	-2249.362	-590.563

39	40	10.320	6.122	40	39	-10.320	-6.122
39	41	94.604	56.128	41	39	-94.600	-56.122
41	42	13.760	8.163	42	41	-13.760	-8.163
39	43	2144.438	528.313	43	39	-2144.323	-528.137
43	44	2083.263	491.913	44	43	-2078.863	-485.186
44	45	619.079	-22.166	45	44	-618.903	22.435
45	46	563.003	-55.595	46	45	-562.940	55.691
46	47	491.560	-98.038	47	46	-491.444	98.216
47	48	432.104	-133.420	48	47	-432.035	133.524
48	49	376.135	-166.687	49	48	-376.099	166.743
49	50	47.301	28.063	50	49	-47.300	-28.061
49	51	328.798	-194.806	51	49	-328.793	194.813
51	52	29.240	17.347	52	51	-29.240	-17.347
51	53	299.553	-212.160	52	51	-299.479	212.273
53	54	210.899	-54.824	54	53	-210.797	54.903
54	55	182.417	-71.740	55	54	-182.360	71.784
55	56	111.840	-113.614	56	55	-111.824	113.639
56	57	43.021	-154.459	57	56	-43.000	154.490
57	58	10.320	6.122	58	57	-10.320	-6.122
56	59	68.803	40.820	59	56	-68.801	-40.818
59	60	38.700	22.960	60	59	-38.700	-22.959
59	61	30.101	17.858	61	59	-30.100	-17.857
61	62	10.320	6.122	62	61	-10.320	-6.122
44	63	1459.784	507.352	63	44	-1459.091	-506.292
63	64	146.219	86.760	64	63	-146.210	-86.745
64	65	115.250	68.378	65	64	-115.240	-68.363
65	66	12.040	7.143	66	65	-12.040	-7.143
63	67	1312.871	419.532	67	63	-1312.721	-419.303
67	68	13.760	8.163	68	67	-13.760	-8.163
67	69	1298.961	411.139	69	67	-1298.842	-410.957
69	70	1205.962	355.854	70	69	-1201.995	-354.593
70	71	1161.576	330.615	71	70	-1161.058	-329.823
71	72	1089.677	287.475	72	71	-1089.657	-287.472
72	73	47.301	-61.938	73	72	-47.300	61.939
72	74	1042.356	349.411	74	72	-1042.172	-349.129
74	75	951.872	295.558	75	74	-951.756	-295.380
75	76	333.017	197.751	76	75	-332.884	-197.543
76	77	60.201	35.716	77	76	-60.200	-35.714
76	78	272.683	161.828	78	76	-272.655	-161.785
78	79	166.875	99.030	79	78	-166.865	-99.014
79	80	126.445	75.035	80	79	-126.436	-75.021
80	81	112.676	66.858	81	80	-112.665	-66.844
81	82	66.225	39.293	82	81	-66.220	-39.285
75	83	618.738	97.629	83	75	-618.664	-97.515

83	84	24.940	14.796	84	83	-24.940	-14.796
83	85	593.723	172.719	85	83	-593.691	-172.379
85	86	98.042	58.166	86	85	-98.040	-58.163
85	87	495.649	114.213	87	85	-495.618	-114.165
87	88	382.098	46.819	88	87	-382.046	-46.740
88	89	320.126	10.006	89	88	-320.074	-9.926
89	90	55.902	33.166	90	89	-55.901	-33.164
90	91	24.941	14.797	91	90	-24.940	-14.796
89	92	264.172	-23.239	92	89	-264.164	23.253
92	93	227.184	-45.192	93	92	-227.151	45.243
93	94	13.761	8.163	94	93	-13.760	-8.163
93	95	213.390	-53.407	95	93	-213.357	53.425
95	96	13.760	8.163	96	95	-13.760	-8.163
95	97	199.597	-61.589	97	95	-199.572	61.603
97	98	93.792	-124.358	98	97	-93.742	124.387
98	99	39.562	-156.529	99	98	-39.560	156.532
9	100	86.018	51.030	100	9	-86.005	-51.023
100	101	86.005	51.023	101	100	-86.000	-51.020

LAMPIRAN A-2

◎ Tabel Data Lapangan PT. PLN (PERSERO) DISTRIBUSI
JAWA TIMUR AREA MALANG UP & J - BATU,
HASIL PENGUKURAN GARUDU MALAM (SEMESTER
II Bulan, Mei s/d Agustus 2004).

1940-1941

HASIL PENGUKURAN GARDU MALAM

SEPTEMBER 1974

HASIL PENGUKURAN GARDU MALAM

SEMESTER II Bulan Mei s/d Agustus 2004

No	PNSY	NO	Cat	GARDU TUTAI			BEGAS SAMPERE			TEGANGAN (V)			BEJANA TRAF			TEGANGAN UJUNG							
				DAYA (kVA)	TEG (V)	TEN	JUSSANA	JUSSANH	JUSSANC	PADA TRAF	PADA TRAF	R-S	S-N	N	T-N	T-S	T-U	T-U	V (%)	I (%)	Induk		
21	St	21	Ds. Bawangan, B.A.	160	220x30	050604	13:11	54	91	75	31	75	78	70	23	35	52	19	112	137	48	208	
22	Jl	22	Ds. Jeling Gore	160	220x30	060704	19:40	-	-	75	101	22	55	-	-	-	-	224	224	95	95		
23	Siz	23	Ds. Bumi Ajil	100	220x30	052304	18:05	-	-	33	35	34	8	-	-	14	12	23	11	47	51	219	
24	Btu	24	Jl. Panglima Sudirman	160	220x30	140804	18:20	-	-	24	81	63	65	-	-	153	117	76	75	180	198	99	
25	Pin	25	Jl. Trunojoyo	75	220x30	050404	18:11	-	-	-	-	-	-	-	-	29	52	35	16	29	52	95	
26	Sle	26	Jl. Siregar	75	220x30	050604	19:20	54	42	75	17	-	-	-	-	54	42	76	19	215	216	215	
27	Btu	27	Jl. Dukunegge	160	220x30	050604	18:25	52	10	38	59	42	45	2	4	3	37	72	83	22	220	220	220
28	Btu	28	Jl. Agung	150	220x30	050604	20:21	-	-	95	126	75	24	30	45	33	51	72	23	25	216	216	216
29	Btu	29	Jl. Simpato	200	220x30	050604	19:46	-	-	-	-	-	-	-	-	95	92	91	92	91	92	95	
30	Stn	30	Us. Sanggani	160	220x30	050604	19:27	35	25	19	2	4	2	19	5	-	-	60	35	29	50	60	55
31	Sjn	31	Jl. Suizio	75	220x30	130624	18:07	-	-	-	-	-	-	-	-	-	60	47	69	21	221	222	220
32	Btu	32	Jl. Indragiri	160	220x30	050604	19:45	-	-	-	-	-	-	-	-	120	127	135	20	219	219	219	
33	Fjt	33	Ds. Ngento	250	220x30	020404	18:23	-	-	72	116	12	46	-	-	127	122	129	40	213	213	213	
34	Btu	34	Jl. Desa	150	220x30	050604	19:20	-	-	55	121	82	22	-	-	17	45	221	220	218	101	63	63
35	Btu	35	Jl. Seti	130	220x30	050604	18:23	-	-	32	55	41	15	-	-	72	77	220	220	220	51	51	51
36	Pjt	36	Ds. Pardesan	150	220x30	021304	18:17	-	-	72	125	33	2	-	-	72	76	226	227	229	108	72	6
37	Sjt	37	Jl. Ry. Dieng	50	220x30	050604	18:06	-	-	6	3	6	2	-	-	72	33	29	18	31	16	208	
38	Pjt	38	Jl. Ry. Bet	75	220x30	300504	18:30	67	61	24	43	-	-	-	-	55	41	47	12	224	224	224	
39	Jl	39	Ds. Junrejo	160	220x30	020204	18:35	-	-	25	38	41	43	-	-	74	105	102	28	225	225	225	
40	Jl	40	Ds. Jating	50	220x30	050604	19:45	-	-	22	41	45	26	-	-	58	36	223	223	223	30	69	1

HASIL PENGUKURAN GARDU MALAM

SEMESTER II Bulan Mei & Agustus 2004

NO.	NAMA	ALAMAT	DINA (KV.A)	TGL. (V)	TGL. UKL (V)	JENIS UKL	JURUSAN	JURUSAN								PADATRAFO				TEGGANGAN (VOLT)				BESARAN KVA	(*)	TTK TUBI	%	(% TB)			
								R	S	T	N	R	S	T	N	R	S	T	N	R	S	T	N	R	S	T	N				
41	Jl. Jl. Jeteng Kerton	160	220/380	020602	02-25	-	-	32	15	35	14	-	-	-	57	78	35	19	99	93	74	31	230	231	231	61	38	D21	217	90	
42	Jl. Raya Perak	200	220/380	050704	12-35	43	45	39	8	-	-	105	105	86	20	-	-	-	-	148	150	125	33	217	218	92	46	A	203	95	
43	Jl. Raya Majoro	160	220/380	051205	12-43	-	-	-	40	41	21	22	-	-	-	112	127	63	56	152	168	104	42	223	223	223	112	70	D	209	95
44	Ds. Rego	100	220/380	052604	13-53	-	-	-	40	43	12	26	-	-	-	37	56	53	18	77	95	68	39	226	226	226	54	54	D	221	100
45	Ds. Kekas	50	220/380	053104	13-55	28	31	34	-	-	-	15	67	10	37	-	-	-	-	41	95	41	56	226	226	41	81	C	222	103	
46	Ds. Sumberrejo	150	220/380	053204	13-57	142	122	117	23	-	-	53	15	12	19	15	15	15	15	220	160	144	80	215	215	113	70	A12	229	95	
47	Ds. Buntul	160	220/380	103006	17-78	-	-	-	45	46	41	6	-	-	-	39	9	114	119	110	16	110	16	227	227	227	73	49	D	216	73
48	Ds. Kipar	160	220/380	103104	18-77	41	43	77	-	-	-	20	35	12	24	-	-	-	-	61	78	119	36	222	222	220	57	36	A13B3	216	68
49	Ds. Bunc. 3 A	100	220/380	052204	18-77	41	5	5	-	-	-	56	66	18	56	-	-	-	-	51	70	75	23	219	219	45	45	A394C3	216	95	
50	Ds. Pungkuk	160	220/380	053304	19-72	-	-	-	123	111	109	15	-	-	-	135	150	133	42	225	183	200	52	218	220	219	133	83	B337A3	208	90
51	Ds. Gedebon	50	220/380	053404	19-72	-	-	-	9	7	6	5	-	-	-	35	30	45	16	44	37	51	16	220	222	219	29	58	D	215	85
52	Ds. Ngawi	150	220/380	053504	19-75	-	-	-	30	17	59	39	-	-	-	50	81	74	32	30	98	133	49	221	219	69	46	B2A16B3	210	95	
53	Ds. Gireno	200	220/380	053704	19-77	-	-	-	72	80	37	14	-	-	-	125	127	138	15	197	207	225	38	222	219	210	140	70	B2A15B7	215	95
54	Ds. Sumber	160	220/380	053804	19-78	-	-	-	22	39	52	16	-	-	-	85	71	74	15	154	150	133	35	222	222	221	99	62	D	210	95
55	Jl. Raya Tambang	150	220/380	053904	19-79	-	-	-	-	-	-	-	74	58	20	30	82	87	27	16	220	220	220	52	52	D	217	95			
56	Jl. Anyarharjo	100	220/380	054004	19-80	-	-	-	-	-	-	-	36	49	18	34	51	35	48	226	225	225	39	38	D	217	95				
57	Ds. Sumber	150	220/380	054104	19-81	-	-	-	-	-	-	-	20	27	29	13	95	94	112	40	216	216	216	55	43	B	217	95			
58	Ds. Pandegaran	100	220/380	054204	19-81	-	-	-	-	-	-	-	0	32	12	40	23	62	80	34	220	219	219	36	36	B	214	95			
59	Diklatara	100	220/380	054304	19-81	-	-	-	-	-	-	-	32	31	25	13	106	95	118	16	216	215	215	69	69	O	213	95			
60	Dukurambo	100	220/380	054404	19-81	-	-	-	-	-	-	-	60	70	50	2	180	210	22	218	217	220	120	120	A	216	95				

HASIL PENGUKURAN GARDU MALAM

SEMESTER III Balloons 2014 Austin 2504

NO. IDENT.	NO	GARDU TRAFICO	TGL	JAM	S.E.W.N (CAMPERE)												REGANAN W.C.T.															
					JURUSAN A				JURUSAN B				JURUSAN C				JURUSAN D				PADATRAFO				REGANAN T-N							
					DAYA (KVVA)	TEC (KVVA)	DAYA (KVVA)	TEC (KVVA)	R	S	T	N	R	S	T	N	R	S	T	N	R	S	T	N	R	S	T	N				
51	Pn	61	Ds. Ngabed	100	220/300	020704	12.50		52	49	83	41					70	45	46	35	122	24	129	75	209	241	210	72	72	B		
52	Pn	62	KOP SAE	250	220/300	020704	13.0	165/125/175/7													166	189	174	7	215	215	214	114	45	A		
53	Pn	63	Dk. Marding	100	220/300	020704	19.00		58	47	32	19					29	25	13	11	87	72	45	31	213	214	213	43	43	D		
54	Pn	64	Dk. Lembasari	50	220/300	020704	19.20	25	21	17	7					43	20	28	20	69	41	45	8	230	230	230	36	36	I	U		
55	Pn	65	Gs. Ngabed	160	220/300	020704	18.15		115/87/81/34								78	103	76	33	197	195	157	70	224	224	224	123	77	D	212	65
56	Pn	66	Ds. Ngabed	160	220/300	020704	12.50	70	53	17	52					64	67	10	52			143	120	27	89	211	211	215	63	63	C	
57	Pn	67	Ds. Baj	160	220/300	020704	12.45		64	52	60	14					54	52	60	14			227	227	227	40	25	0	224	132		
58	Pn	68	Ds. Giro Ordo Cimoro	160	220/300	020704	19.00		14	13	15	5					44	43	45	5			231	231	231	30	19	A	228	104		
59	Pn	69	Ds. Tukung Rejo	100	220/300	020704	13.21	3	3	9	2					49	45	15	8			58	57	54	14	215	215	215	36	36	D	
60	Pn	70	Al+ Al+ Persegi	150	220/300	020704	7.50									47	36	33	16	47	39	53	15	211	211	211	35	22	A	229	95	
61	Pn	71	Jl. Diponegoro	75	220/300	020704	9.30	6	7	2	13					53	75	49	26			69	83	70	15	220	220	220	24	32	D	
62	Pn	72	Emasau Terate	100	220/300	020704	15.0		35	63	102	56				15	23	19	9	54	106	123	29		223	223	220	63	63	B		
63	Pn	73	Ds. Giro Juring	100	220/300	020704	13.15	10	8	6	4					31	50	31	32			61	68	90	34	224	224	224	49	49	A	
64	Pn	74	Ds. Kuta Selatan	75	220/300	020704	11.05		18	75	25					40	27	45		88	82	85	25	228	228	228	54	71	D	210	53	
65	Pn	75	Ds. Pek. 31	150	220/300	020704	13.02									55	42	60	19	55	47	60	24	218	218	218	34	23	A	210	53	
66	Pn	76	Ds. Marding	100	220/300	020704	10.25									31	50	31	32			61	68	90	34	224	224	224	49	49	A	
67	Pn	77	Dk. Giro	75	220/300	020704	17.5		74	51	32					66	20	54	20	150	133	180	53	217	217	220	100	63	b	210	53	
68	Pn	78	Ds. Sandungan	150	220/300	020704	17.52	74	81	43						129	128	99	15			203	209	147	55	219	219	219	122	77	A	
69	Pn	79	Ds. Wayrejo	160	220/300	020704	13.5									87	40	63	26	213	248	87	123	225	225	225	77	77	B	215	47	D
70	Pn	80	Ds. Medewetan	75	220/300	020704	13.5									39	46	131	32	218	218	218	32	131	46	46	131	32		215	47	

HASIL PENGUKURAN GARDU MALAM

SEMESTER II, BULAN MEI S/D AGUSTUS 2004

HASIL PENGUKURAN GARDU MALAM
SEMESTER II Bulan Mei s/d Agustus 2004

SEMESTER II Bulan Mei s/d Agustus 2004

HASTI PENGUKURAN GARDU MALAM

SEMESTER II 2019/2020 ASSHS 2004

HASIL PENGUKURAN GARDU MALAM

SEMESTER II Session 2004

NO. PONY	S/N	GANDU TRAFO			BUKAN (AMPERE)												TEGANAN (VOLT)			REBAN TRAFO			LEGANGAN UJUNG			
		Gal	Alat	(KV.A.)	JAM			JURUSAN			JURUSAN			HARIAN			PADA TRAFO			PADA TRAFO			PADA TRAFO			
					T.H.	V.E.	(V.A.)	UKR	R	S	T	N	b	s	t	n	s	t	N	b	s	t	N	b	s	
141	S.C	141	Ds. Tega'Zan	150	2100360	160704	1630	59	60	72	72	40	51	35	18	99	111	107	28	228	227	226	72	48	A	
142	S.C	142	Ds. SumberGordo	100	2100360	170704	1831	46	48	60	6	110	96	78	40	155	144	138	50	218	217	219	95	95	A	
143	B.U	143	Pabel Asida	100	2100360	170704	1850	35	37	42	5	47	12	41	33	164	120	174	46	220	220	220	104	63	D02C10	
144	B.U	144	Jl. Raya Biji	150	2100360	170704	1815	117	108	133	23	43	32	37	13	62	72	69	34	212	212	211	47	47	D	
145	P.D	145	Dk. Wanapog	100	2100360	170704	1845	49	50	52	15	58	68	70	26	120	153	100	48	222	222	222	89	56	C	
146	B.U	146	Wr. Supreme	150	2253380	172704	1850	22	27	39	9	22	32	35	19	35	65	38	27	210	204	206	29	57	D	
147	P.D	147	Dk. Tarong	50	2100360	170304	1800	13	33	1	25	12	31	33	42	12	99	114	103	25	236	235	235	75	75	A
148	B.I	148	Ds. Jum'ad	100	2253380	172704	1910	68	81	62	2	24	25	13	13	76	51	63	30	103	76	76	76	297	103	A
149	S.C	149	Ds. Bulukemiri	150	1200360	170304	1920	65	81	62	2	41	52	37	30	139	155	126	33	217	216	216	91	61	C	
150	S.C	150	Ds. Cilacap	150	2100360	170304	1912	65	81	62	2	41	52	37	30	139	155	126	33	217	216	216	91	61	C	
151	B.I	151	Bahal Dens. Melang	150	2253380	172704	1914	65	87	112	15	91	29	45	43	176	101	141	68	222	226	224	93	58	D123403A4	
152	B.I	152	Ds. Teluk	150	2253380	172704	1916	65	72	95	25	94	18	5	14	93	160	124	66	216	214	214	83	52	D	
153	P.D	153	Ds. Sebatu	150	2253380	172704	1916	65	72	95	25	94	18	5	14	93	160	124	66	226	229	226	51	61	D13438	
154	P.D	154	Ds. Gading K14600	150	2100360	170304	1917	51	66	29	25	25	26	47	28	18	91	93	30	728	225	225	64	64	L	
155	B.I	155	Ds. Pakas	50	2100360	170304	1917	51	66	29	25	27	23	25	21	57	48	32	37	230	230	230	39	78	B	
156	P.D	156	Ds. Wuk	150	2100360	170304	1917	51	66	29	25	27	23	25	21	57	48	32	37	230	230	230	39	78	B	
157	S.C	157	Horai Cemara	150	2253380	172704	1917	51	66	29	25	27	23	25	21	57	48	32	37	230	230	230	39	78	B	
158	S.C	158	Kesang K Sek. Sekolah	150	2100360	170304	1917	51	66	29	25	27	23	25	21	57	48	32	37	230	230	230	39	78	B	
159	B.I	159	Jl. Raya Merapi	150	2100360	170304	1917	51	66	29	25	27	23	25	21	57	48	32	37	230	230	230	39	78	B	
160	F.G	160	Ds. Gunung Sari	150	2100360	170304	1917	51	66	29	25	27	23	25	21	57	48	32	37	230	230	230	39	78	B	

HASIL PENGUKURAN GARDU MALAM

SEMESTER II Bulan Mei sd Agustus 2004

NO. TESY	NO.	GARDUTRAFO		DAYA (KVA)		VOL (V)		JURUSNA		JURUSNA		JURUSNA		JURUSNA		PADATRAFO		TUGANGAN (volt.)		DITINJAU		TUGANGAN UDING												
		Gard	Sekuat	R	I	S	V	R	S	I	N	S	T	N	R	S	T	N	R-N	S-N	T-N	R-N	S-N	T-N										
161	Sic	25	Sumber Brantas	250	220/380	190304	17.05	125/114	150/45	—	—	55	54	65	17	—	—	180	168	215	42	225	223	223	127	51	C	205	53					
162	Btu	162	Ds. Toyop Metro	100	220/380	191504	19.30	35	51	17	—	29	15	12	15	—	—	65	50	63	17	222	220	223	40	40	B	215	38					
163	Jf	163	Ds. Sebekento	100	220/380	192004	18.15	—	—	—	61	75	60	28	—	—	14	28	34	15	95	103	94	31	229	228	230	67	67	D	217	59		
164	Pjn	164	195. Sebet	30	220/380	190504	15.40	—	—	—	—	—	12	14	18	7	—	—	12	14	18	14	18	120	122	120	5	18	D	110	50			
165	Fjn	165	Ds. Permai	100	220/380	190504	19.20	—	—	—	47	25	33	23	100	43	65	52	2	4	2	3	149	72	101	75	222	225	223	71	71	D.G.H2	210	55
166	Pjn	166	Drk. Trebes	50	220/380	062704	13.65	—	—	—	—	—	—	—	—	—	39	45	24	18	30	45	24	18	218	213	23	47	47	7	206	95		
167	Hn	167	Cik. Jatipar	50	220/380	062704	18.15	—	—	—	—	—	—	—	—	20	20	16	8	20	20	16	8	216	218	217	12	24	D	216	94			
168	Pjn	168	Bukit Permai	25	220/380	190704	19.15	10	25	18	15	—	—	—	—	—	10	25	18	15	15	225	223	220	12	48	A	217	59					
169	Sic	169	Ds. Ngapung	160	220/380	190704	19.20	—	—	—	—	12	9	26	12	—	—	81	58	69	34	93	77	95	33	220	222	222	53	36	I	210	95	
170	Sic	170	Ds. Ngapung No.20	100	220/380	192704	14.37	100	80	143	45	—	—	5	4	8	5	—	—	115	84	131	54	213	219	213	76	48	C	216	94			
171	Btu	171	Jl. Sutera Agung	25	220/380	192704	15.30	17	56	20	38	—	—	—	—	—	17	56	20	38	229	223	226	21	85	A	210	93						
172	Pjn	172	Ds. Sebel	160	220/380	192704	15.40	—	—	—	—	28	35	33	25	—	—	145/104	29	99	173	159	62	113	222	227	37	55	122	216	93			
173	Sbu	173	Jl. Taman Barata	250	220/380	192704	12.75	—	—	—	—	215/216/217	37	64	87	133	46	279	297	350	70	217	217	217	201	80	R.H2	209	95					
174	Pjn	174	Jl. P. Sentral	160	220/380	192704	12.75	102	96	140	44	—	—	20	26	43	20	—	—	122	122	193	64	217	221	213	34	59	411	210	100			
175	Pjn	175	Jl. Sentral 40	160	220/380	192704	13.77	32	22	16	15	—	—	—	—	—	—	—	—	32	22	15	15	225	225	225	16	13	A	216	93			
176	Sic	176	Ds. Samarahan	150	220/380	192704	13.85	71	75	50	16	58	47	37	39	—	—	129	122	137	34	219	213	219	35	57	C	209	95					
177	Jl	177	Jl. Jati	160	220/380	192704	13.85	124	115	97	48	110	32	49	62	—	—	234	147	146	106	218	218	212	115	72	A	204	93					
178	Sic	178	Jl. Raya Samarahan	160	220/380	192704	13.85	5	14	24	15	83	78	113	24	—	—	88	92	137	35	219	220	219	69	43	C	205	94					
179	Sic	179	Watesojo Raja Koyu	250	220/380	192704	13.85	—	—	—	—	115	116	145	33	—	—	115	118	145	33	222	222	222	84	34	A	209	100					
180	Pjn	180	Kantor Pos Betu	250	220/380	192704	13.85	—	—	—	—	30	111	74	46	—	—	64	63	37	40	194	111	46	219	219	220	131	40	W	212	96		

HASIL PENGUKURAN GARDU MALAM

SEMESTER II Bulan, Mei s/d Agustus 2004

No	No	Gardu	GARDU TEGO				TEGUNGAN AMPERAGE				TEGUNGAN MUNGKIN				PERSENTASE				PERSENTASE				
			DAYA (kVA)	MULAI T (W)	TEG. (V)	JAD ISKUM	JURUSAN A	JURUSAN B	JURUSAN C	JURUSAN D	PERSEN	PERSEN	PERSEN	PERSEN	PERSEN	PERSEN	PERSEN	PERSEN	PERSEN	PERSEN	PERSEN	PERSEN	
181	181	Ds. Praet	100	220/380	17060±	18.00					21	30	18	35	64	54	27	218	219	219	33	33 D	
182	182	Pandeman Hill	25	220/380	17060±	19.00					6	8	6	4	10	10	8	13	218	217	218	6	24 D
183	183	Pandeman Hill	25	220/380	17060±	19.05					6	6	7	3	2	4	3	4	6	10	5	216	216
184	184	Pandeman Hill	25	220/380	17060±	19.15					5	7	4	6	3	2	2	4	8	9	6	222	222
185	185	Pandeman Hill	25	220/380	17060±	19.40					4	6	3	4	4	6	5	5	6	10	8	3	222
186	186	Pandeman Hill	25	220/380	17060±	19.50					2	4	3	4	4	4	6	11	12	6	230	230	
187	187	Pandeman Hill	100	220/380	17060±	19.50					4	3	4	4	4	4	6	7	9	11	12	6	230
188	188	Jl. Lestari	60	220/380	17080±	19.60					3	4	3	4	3	3	5	6	6	7	9	11	226
189	189	Jl. Kertasari	60	220/380	17080±	19.15					25	56	37	26	25	56	37	26	106	135	162	50	221
190	190	Jl. Brantas	60	220/380	17080±	18.25					92	64	78	12	23	48	17	34	115	143	95	17	220
191	191	Puri Indah Dep	200	220/380	17080±	18.10	103	136/14.45			61	79	37	35	102	108	74	22	221	223	63	39	114
192	192	Agr. Alas Perhutani	200	220/380	17080±	18.20					54	31	54	26	54	31	54	26	157	167	190	45	218
193	193	Agrohisto	200	220/380	17080±	19.20					33	35	33	3	33	35	33	3	102	121	122	73	222
194	194	Haliputih	200	220/380	17080±	19.20					138	99	95	15	138	99	95	15	115	115	143	95	222
195	195	KUP Sari	165	220/380	17080±	17.25					36	44	47	8	36	44	47	6	23	25	23	29	114
196	196	GK. Durian	25	220/380	17080±	19.35					13	0	5	13	37	14	16	10	14	16	33	296	215
197	197	Ok.Ngabean	25	220/380	17080±	19.35					30	13	32	14	30	13	32	14	213	216	217	16	217
198	198	Pasar Baru	100	220/380	17080±	19.00	72	133	56	30	9	20	9	13	30	113	54	43	214	214	215	55	115
199	199	Karibas + Sab.Bungga	200	220/380	17080±	19.30					173	177	159	9	173	177	169	9	224	224	224	116	58
200	200	Ds. Tarsun	100	220/380	17080±	18.00					5	5	5	5	12	0	6	4	17	13	2	219	218

HASIL PENGUKURAN GARDU MALAM

SEMESTER II Bulan Mei s/d Agustus 2004

NO.	NAMA	GARDU TRAKO		TELEFON		JURUSAN		PERUSAHAAN		PADA TRAKO		TRAKO		BEBAN TRAKO		TRIGANGAN UJUNG							
		NO.	ALAMAT	DAYA (KV)	TEG. (KV)	WKT. (V)	UKUR	UKUR	R	S	T	N	R	S	I	N	R	S	TRAKO (%)	V (%)	T (%)		
1.1.1.1	Pjn	201	Ds. Tarabih	25	220/380	160004	16:15	-	5	5	0	-	6	7	8	1	11	12	13	31	105	216	
1.1.1.2	Pjn	202	Ds. Tarabih	25	220/380	160004	16:30	-	2	1	-	-	2	1	2	4	2	3	2	9	165	220	
1.1.1.3	Btu	203	Indosiar	160	220/380	160004	16:10	-	-	-	-	34	73	78	15	-	-	-	-	-	-	100	
1.1.1.4	Pjn	204	Dk. Tulungelo	25	220/380	160004	16:30	-	-	-	-	23	13	16	9	-	23	13	16	11	44	C	
1.1.1.5	Sic	205	Junggo II, Rejo	100	220/380	160004	20:30	48	42	7	-	-	-	-	-	48	42	10	225	225	30		
1.1.1.6	Btu	205	Day Lawan	25	220/380	02/003	-	b	e	b	a	r	k	o	n	c	0	0	-	0	0	0	
1.1.1.7	Btu	207	Agrowisata	100	220/380	160004	19:15	-	-	-	-	22	22	23	4	-	32	36	10	84	78	91	
1.1.1.8	Btu	208	Indopal	160	220/380	160004	16:00	111	120	35	23	-	-	-	-	-	111	120	35	25	216	216	
1.1.1.9	Btu	209	Jl. Mojopipo	160	220/380	010304	18:15	-	75	81	19	-	-	48	56	50	16	123	137	135	33	216	111
1.1.1.10	Sic	210	Agro Kencana	160	220/380	010304	17:00	-	-	-	-	22	20	19	5	-	52	34	32	14	74	51	
1.1.1.11	Btu	211	R. S. Detis	160	220/380	170004	18:00	-	-	-	-	54	50	50	12	-	54	50	12	51	77	44	
1.1.1.12	Pjn	212	Dk. Boro Bayu	100	220/380	050004	19:00	-	-	-	-	23	27	24	6	-	1	0	1	24	27	46	
1.1.1.13	Pjn	213	Dk. Dardzen	50	220/380	160004	18:30	-	-	-	-	-	-	-	-	53	65	55	55	55	25		
1.1.1.14	Btu	214	Jl. Dewi Sriwijaya	160	220/380	160004	17:50	-	51	76	37	25	-	20	29	32	14	74	71	217	16	D	
1.1.1.15	Pjn	215	Jl. Setiajiw	50	220/380	160004	16:20	-	-	-	-	59	21	39	35	-	63	67	35	35	35	22	
1.1.1.16	Pjn	216	Dk. Detis	100	220/380	160004	18:15	-	73	42	34	31	-	69	56	71	18	122	93	125	77		
1.1.1.17	Pjn	217	Ds. BGS	100	220/380	170004	19:20	-	-	-	-	-	-	-	-	63	67	35	35	35	22		
1.1.1.18	Pjn	218	Ds. Gunungsari	130	220/380	050704	17:50	54	56	33	24	-	28	18	16	22	33	18	16	14	14	14	
1.1.1.19	Pjn	219	Ds. Mantul	120	220/380	120601	18:30	85	64	64	21	-	-	5	9	7	5	85	64	72	45	C	
1.1.1.20	Sic	220	Ds. Bonggolan R.A.	130	220/380	160004	18:00	-	51	53	38	-	-	51	53	21	235	245	32	32	11		

HASIL PENGUKURAN GARDU MALAM

SEMESTER II Bulan, Hari dan Agustus 2004

NO.	NO. End	GARDU TIAFO			JAM UKUR	TGL. UKUR	JURUSAN A	JURUSAN B	JURUSAN C	JURUSAN D	PADATIAFO				TUGASAN (WAKTU)			BERANTIAFO		TERANGAN TUGAS												
		MALAM	DAYA (KV.A)	TSC (KV.A)							R	S	T	N	R	S	T	N	R	S.N.	T.N	PADA TIAFO	(%)	LITIK	V (%)	TUMPU	Thd					
221	Btu	221	Ds. Sumbersekar Dau	150	2200300	080004	18:50	-	82	29	75	-	-	-	2	2	1	64	130	76	52	225	220	224	65	44	D	210	95			
222	Btu	222	Jl. Kanika I Jatim Pari	200	2200300	170004	08:00	-	-	-	-	-	-	-	-	-	-	-	234	235	5	5	230	229	229	162	81	-	226	102		
223	Btu	223	Dk. Soba	50	2200300	170004	19:05	-	-	-	-	-	-	-	10	44	22	36	-	36	215	213	214	16	33	C	200	91	-	200		
224	Btu	224	Jl. Kanika Bunga	100	2200300	170004	19:10	-	-	-	-	-	-	-	-	-	-	0	0	0	0	218	219	217	0	0	D	210	91	-	200	
225	Sle	225	Perum Agro Kencana	100	2200300	170004	19:00	-	-	-	-	-	-	-	-	-	-	0	0	0	0	217	219	217	0	0	-	215	93	-	200	
226	Btu	226	Panderman Hill	100	2200300	170004	19:50	5	7	7	-	3	2	-	-	-	-	0	0	0	0	221	223	222	0	0	-	210	95	-	200	
227	Sle	227	Ds. Sumber Brantas	160	2200300	170004	17:31	112	97	117	24	-	19	39	18	12	-	-	8	9	16	12	230	230	230	6	6	A	228	76	-	200
228	Sle	228	Kusuma ES	100	2200300	170004	-	-	-	-	-	-	-	-	-	-	-	0	0	0	0	-	-	-	85	53	A	227	94	-	200	
229	Sle	229	Hotel Wijaya IN	75	2200300	170004	B-OP	-	-	-	-	-	-	-	-	-	-	0	0	0	0	-	-	-	0	0	-	227	94	-	200	

Batu, 05 SEPTEMBER 2004
Asmen Teknik

SUJOKO

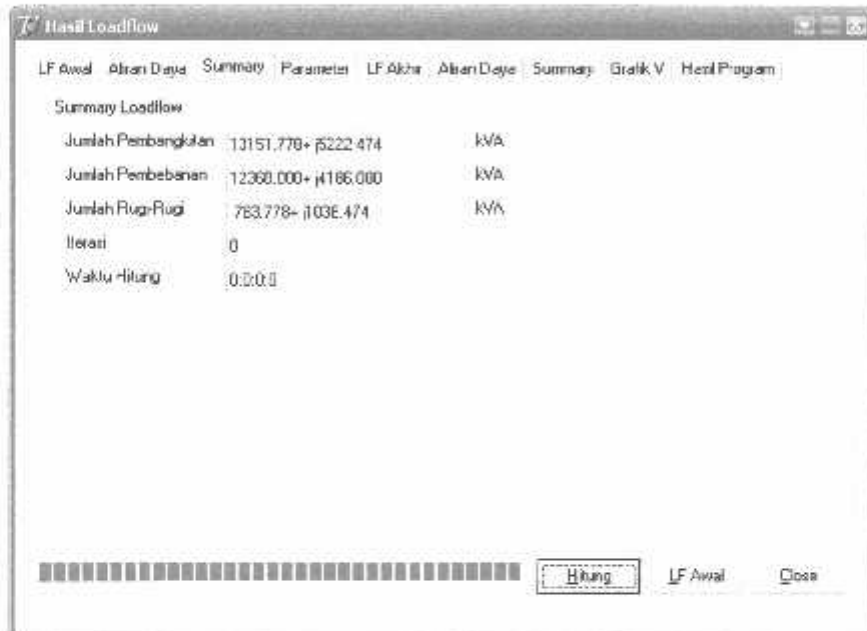
LAMPIRAN A-3

- ④ Validasi 9 Bus, Data Jurnal IEEE, 2001
- ④ Hasil Perhitungan Perbandingan Data Jurnal Dengan Hasil Validasi

A. Validasi 9 Bus, Data Jurnal IEEE, 2001

Validasi Data IEEE, 2001, Dengan Menggunakan Data 9 Bus dari jurnal Untuk Penempatan Kapasitor Dengan Menggunakan Metode II-o (*Interactive Trade-off*)

Hasil Tampilan Rugi-rugi Daya P + jQ Dengan Data IEEE 9 Bus



Tabel 1
Tabel Perbandingan Data Jurnal

Data Jurnal		Hasil Pengujian	
P (kW)	Q (kVAR)	P (kW)	Q (kVAR)
783.77	1036.47	783.778	1036.474

Untuk Perbandingan Rugi Daya Aktif (P)

$$\% \text{ error} = \frac{\text{Hasil Jurnal} - \text{Hasil Pengujian}}{\text{Hasil Jurnal}} \times 100\%$$

$$\% \text{ error} = \frac{783.77 - 783.778}{783.77} \times 100\%$$

$$\% \text{ error} = 0.00048\%$$

□ Untuk Perbandingan Rugi Daya Reaktif (Q)

$$\% \text{ error} = \frac{\text{Hasil Jurnal} - \text{Hasil Pengujian}}{\text{Hasil Jurnal}} \times 100\%$$

$$\% \text{ error} = \frac{1036.47 - 1036.474}{1036.47} \times 100\%$$

$$\% \text{ error} = 0.00023\%$$

LAMPIRAN A-4

TAMPILAN URUTAN PROGRAM YANG DI TULIS BERDASARKAN METODE

```
④ program CapTradeOff;  
  uses  
    Forms,  
    uAbout in 'uAbout.pas' {frmAbout},  
    uHasil in 'uHasil.pas' {frmHasil},  
    uInputLFChild in 'uInputLFChild.pas',  
    uMenu in 'uMenu.pas' {frmMenu},  
    uGenetic in 'Genetic\uGenetic.pas',  
    uFitness in 'ObjFunc\uFitness.pas',  
    uVarGenetic in  
      'Genetic\uVarGenetic.pas';
```

```
apTradeOff;  
  
.n 'uAbout.pas' (frmAbout),  
.n 'uHasil.pas' (frmHasil),  
Child in 'uInputLFChild.pas',  
.n 'uMenu.pas' (frmMenu),  
.in 'Genetic\uGenetic.pas',  
.in 'Obj\Func\uFitness.pas',  
tic in 'Genetic\uVarGenetic.pas';
```

```
ion.Initialize;  
ion.CreateForm(TfrmMenu, frmMenu);  
ion.CreateForm(TfrmHasil, frmHasil);  
ion.CreateForm(TfrmAbout, frmAbout);  
ion.Run;
```

Messages, SysUtils, Variants, Classes, Graphics, Controls, Forms,

```
it = class(TForm)  
  etc declarations /  
  ic declarations }
```

```
: TFormAbout;  
tion
```

```
Messages, SysUtils, Variants, Classes, Graphics, Controls, Forms,  
StdCtrls, ExtCtrls, TeEngine, Series, TeeProcs, Chart, Grids,  
;  
;  
 1 = class(TForm)  
  e1: TTabSheet;  
  TStringGrid;  
  et3: TTabSheet;  
  ch: TStringGrid;  
  et4: TTabSheet;  
  ox6: TGroupBox;  
  : TLabel;  
  : TLabel;  
  0: TLabel;  
  1: TLabel;  
  2: TLabel;  
  : TLabel;  
  :d: TLabel;  
  :g1: TLabel;  
  Gen: TEdit;  
  Load: TEdit;  
  Loss: TEdit;  
  rasi: TEdit;  
  e: TEdit;  
  et9: TTabSheet;  
  : TPanel;  
  ac1: TButton;  
  wai1: TButton;  
  et11: TTabSheet;  
  et5: TTabSheet;  
  et6: TTabSheet;  
  et7: TTabSheet;  
  : TChart;  
  l1: TLineSeries;  
  l2: TLineSeries;  
  : TStringGrid;  
  ch2: TStringGrid;  
  ox1: TGroupBox;  
  : TLabel;  
  : TLabel;  
  : TLabel;  
  : TLabel;  
  i2: TLabel;  
  id2: TLabel;  
  is2: TLabel;  
  Gen2: TEdit;  
  Load2: TEdit;  
  Loss2: TEdit;  
  rasi2: TEdit;  
  e2: TEdit;  
  TProgressBar;  
  ox2: TGroupBox;  
  : TLabel;  
  3: TLabel;  
  4: TLabel;  
  5: TLabel;  
  6: TLabel;  
  7: TLabel;  
  8: TLabel;  
  9: TLabel;  
  0: TLabel;  
  Gen: TEdit;  
  Size: TEdit;  
  oss: TEdit;  
  rasi: TEdit;  
  ip: TEdit;  
  WFedit;  
  am: TEdit;  
  gtb: TEdit;
```

```
Box3: TGroupBox;
1: TLabel;
2: TLabel;
3: TLabel;
4: TLabel;
5: TLabel;
7: TLabel;
5: TStringGrid;
ntCap: TEdit;
Bank: TEdit;
e: TComboBox;
tCap: TEdit;
Install: TEdit;
n: TEdit;
x: TEdit;
st6: TTabSheet;
ntrol2: TPageControl;
st10: TTabSheet;
9: TLabel;
9: TLabel;
9: TLabel;
1: TLabel;
lTGA: TStringGrid;
Sebelum: TEdit;
Sesudah: TEdit;
Selisih: TEdit;
stll: TTabSheet;
1: TChart;
3: TLineSeries;
4: TLineSeries;
5: TLineSeries;
avg: TButton;
eCrosser: TComboBox;
Parent: TComboBox;
CapBark: TEdit;
Default: TButton;
2: TLabel;
3: TLabel;
x: TEdit;
4: TLabel;
procedure btnCloseClick(Sender: TObject);
procedure btnLFAwaiClick(Sender: TObject);
procedure FormCreate(Sender: TObject);
procedure btnHitungClick(Sender: TObject);
procedure btnUseDefaultClick(Sender: TObject);

var declarations;

begin declarations;

end declarations;

object TfrmHasil;
private
  s, uploadflow, uNewtonRaphson, uComplex, uTopology, uFitness,
  , uVarGenetic;

  TfrmHasil.btnExitClick(Sender: TObject);

  public
    qcr;
    selesai,selang:TDateTime;
    nit,detik,mdetik:word;
    imo;
    phson(qBus,qBranch,qParamLF);
    -time;
    selesai-mulai;
    Clear;
    Clear;
  end
```

```

) to high(gBus) do
Cells[0,i+1]:=IntToStr(i+1);
Cells[1,i+1]:=RealToStr(qBus[i].absV,5);
Cells[2,i+1]:=RealToStr(qBus[i].sudV*
    ANGLE_OF_DEGREES/ANGLE_OF_RADTAN,b);
Cells[3,i+1]:=RealToStr(qBus[i].Fgen,3);
Cells[4,i+1]:=RealToStr(qBus[i].Qgen,3);
Cells[5,i+1]:=RealToStr(qBus[i].Pf,3);
Cells[6,i+1]:=RealToStr(qBus[i].Ql,3);
Cells[7,i+1]:=RealToStr(qBus[i].Cap,3);
Cells[8,i+1]:=IntToStr(qBus[i].typeBus);
1.Add(qBus[i].absV,IntToStr(i+1));

to high(gBranch) do

cn.Cells[0,i+1]:=IntToStr(i+1);
ct.Cells[1,i+1]:=IntToStr(qBranch[i].dat_);
ch.Cells[2,i+1]:=IntToStr(qBranch[i].ke);
ch.Cells[3,i+1]:=RealToStr(qBranch[i].Sj_.real,3);
ch.Cells[4,i+1]:=RealToStr(qBranch[i].Sj_.imag,3);
sh.Cells[5,i+1]:=RealToStr(qBranch[i].Aj_.real,3);
sh.Cells[6,i+1]:=RealToStr(qBranch[i].Aj_.imag,3);
sn.Cells[7,i+1]:=IntToStr(qBranch[i].ke);
th.Cells[8,i+1]:=IntToStr(qBranch[i].dat_);
th.Cells[9,i+1]:=RealToStr(qBranch[i].Sj_.real,3);
th.Cells[10,i+1]:=RealToStr(qBranch[i].Sj_.imag,3);
th.Cells[11,i+1]:=RealToStr(qBranch[i].Aj_.real,3);
th.Cells[12,i+1]:=RealToStr(qBranch[i].Aj_.imag,3);

m.Text:=toStringJ(gParamLP.SumGen,3);
oad.Text:=toStringJ(gParamLP.SumLoad,3);
loss.Text:=toStringJ(gParamLP.SumLoss,3);
isi.Text:=IntToStr(gParamLP.Iterasi);
me(selang,jam,menit,detik,mdetik);
Text:=IntToStr(jam)+':'+intToStr(menit)+':'+
    IntToStr(detik)-':'+IntToStr(mdetik));
fault.Enabled:=true;

TfrmHasil.FormCreate(Sender: TObject);

Cells[0,0]:='No';
Cells[1,0]:='Load';
Cells[2,0]:='Time';
Cells[3,0]:='Kj';
Cells[0,1]:='1';
Cells[0,2]:='2';
Cells[0,3]:='3';
GA.Cells[0,0]:='No';
GA.Cells[1,0]:='Bus';
GA.Cells[2,0]:='T1';
GA.Cells[3,0]:='T2';
GA.Cells[4,0]:='T3';
GA.Cells[5,0]:='Type Cap';

TfrmHasil.btrHitungClick(Sender: TObject);
pap,CapBank,TypCap,Tlow,Tmed,Tpeak,Year:integer;
Tmed,Speak,XeLow,XeMed,XePeak:double;
p,CapInstall:double;
TBatas;
ram,length,maxgen,popsize:integer;
pmutasi,pflip,ka,col,coh:double;
cnCap;
rom:TChrcnCap;
g,Max:dArr1;
BusArr1;
sai,ta,ja,jmlCapBank:integer;
L:CxArr1;
rr1;
HasilCap:cxArr2;
:iarri;
lir,Arus:CxArr2;
selesai,solang:TDateTime;
nit,detik,macetik:word;
elum,ElCSCsudah:double;

```

```

ross:=TTypeCross;
newParent:=TNewParent;

:=StrToInt(edtCountCap.Text);
:=StrToInt(edtCapBank.Text);
nk:=StrToInt(edtJmlCapBank.Text);
pe.Text='Fixed' then
:=1;

:=2;

:=ToFloat(fgInput.Cells[1,1]);
:=ToFloat(fgInput.Cells[1,2]);
:=ToFloat(fgInput.Cells[1,3]);
:=ToInt(fgInput.Cells[2,1]);
:=ToInt(fgInput.Cells[2,2]);
:=ToInt(fgInput.Cells[2,3]);
:=ToFloat(fgInput.Cells[3,1]);
:=ToFloat(fgInput.Cells[3,2]);
:=ToFloat(fgInput.Cells[3,3]);
:=StrToFloat(edtCostCap.Text);
:=StrToFloat(edtCapInstall.Text);
:=ToInt(edtYear.Text);
:=StrToFloat(edtVmin.Text);
:=StrToFloat(edtVmax.Text);
object fitness
=TFitness.Create(CountCap,CapBank,TypCap,Tlow,Tmed,
    Tpeak,JmlCapBank,Year,Slow,Smed,Speak,KeLow,KeMed,KePeak,
    CostCap,CapInstall,BatasV);
Fitness.Param;
kondisi sebelum optimasi
:=qFitness.doHitungAwal(qBus);
:jumlah.Text:=FormatFloat('#,##0',ELCSebelum);
:=IntToStr(param);
:=ToInt(edtMaxGen);
:=maxgen;
:=StrToInt(edtPopSize.Text);
:=StrToFloat(edtPCross.Text);
:=StrToFloat(edtPMutasi.Text);
:=Float(edtKa.Text);
:=count(high(qBus)+1);
:=CountCap/length;
:=Cross.Text='crOne' then
ross:=crOne;
:=crTwo;
:=crMulti;
newParent.Text='npStandart' then
ent:=npStandart;
cmbNewParent.Text='npReplikasi' then
ent:=npReplikasi;
ent:=npElitism;
object Genetic algorithm
nCap.Create(JmlCapBank,maxgen,popsize,engta,pcross,pmutasi,
ip,ka,NewParent,TypeCross);
m:=qas.BestChrom;
:=doHitungAkhir(BestChrom,LBus,BasilCap,ELCSesudah);
:udah.Text:=FormatFloat('#,##0',ELCSesudah);
:slisih.Text:=FormatFloat('#,##0',(ELCSebelum-ELCSesudah));
GA.RowCount:=high(Basil_Cap)+2;

```

```

: to hgn(HasilCap) do
  lFGA.Cells[0,i+1]:=IntToStr(i+1);
=0 to high(HasilCap[0,]) do
  =0 then
  n
  HasilFGA.Cells[0,i+1]:=IntToStr(round(HasilCap[i,j1]));
  if j=4 then
  n
  round(HasilCap[i,j1])-1 then
  gin
  f(HasilGA.Cells[j+1,i+1]:='Fixed';
  d
  se
  gin
  f(HasilFGA.Cells[j+1,i+1]:='Switch';
  d;

  n
  HasilFGA.Cells[j+1,i+1]:=FloatToStr(HasilCap[i,j1]);
  Min;
  Avg;
  Max;
  'lear';
  'lear';
  'lear';
  to high(Min) do
  i3.Add(Min[i],IntToStr(i+1));
  i4.Add(Avg[i],IntToStr(i+1));
  i5.Add(Max[i],IntToStr(i+1));

  smmDataToLFDData(LBus,Nbus,Nsal,V,Sq,SL,Cap,TypBus,
  Z,Tp,Lc,Tr);
  inc;
  phson(qParamLF,V,Sq,SL,Cap,TypBus,Z,Tp,Alir,Arus,
  =lime;
  -selesai-mulai;
  Clear;
  : to high(gBus) do
    .Cells[0,i+1]:=IntToStr(i+1);
    .Cells[1,i+1]:=RealToStr(V[i].real,3);
    .Cells[2,i+1]:=RealToStr(V[i].imag*
      ANGLE_OF_DEGREES/ANGLE_OF_RADIAN,5);
    .Cells[3,i+1]:=RealToStr(Sg[i].real,3);
    .Cells[4,i+1]:=RealToStr(Sg[i].imag,3);
    .Cells[5,i+1]:=RealToStr(SL[i].real,3);
    .Cells[6,i+1]:=RealToStr(SL[i].imag,3);
    .Cells[7,i+1]:=RealToStr(Cap[i],3);
    .Cells[8,i+1]:=IntToStr(TypBus[i]);
    i2.Add(V[i].real,IntToStr(-1));
  : to high(gBranch) do
    branch[i].dari:=1;
    branch[i].ke:=1;
    ch2.Cells[0,i+1]:=IntToStr(i+1);
    ch2.Cells[1,i+1]:=IntToStr(gBranch[i].dari);
    ch2.Cells[2,i+1]:=IntToStr(gBranch[i].ke);
    ch2.Cells[3,i+1]:=RealToStr(Alir[ja,jal].real,3);
    ch2.Cells[4,i+1]:=RealToStr(Alir[ja,jal].imag,3);
    ch2.Cells[5,i+1]:=RealToStr(Arus[ia,jal].real,3);
    ch2.Cells[6,i+1]:=RealToStr(Arus[ia,jal].imag,3);
    ch2.Cells[7,i+1]:=IntToStr(gBranch[i].ke);
    ch2.Cells[8,i+1]:=IntToStr(gBranch[i].dari);
    ch2.Cells[9,i+1]:=RealToStr(Alir[ja,ia].real,3);
    ch2.Cells[10,i+1]:=RealToStr(Alir[ja,ia].imag,3);
    ch2.Cells[11,i+1]:=RealToStr(-(Arus[ia,ial].real,3));

```

```

    tch2.Cells[12,1+1]:=RealToStr(AkhirJ,1aj,imag,3);
    n2.Text:=ToString(gParamIF.SumGen,3);
    ad2.Text:=ToString(gParamIF.SumLoad,3);
    ss2.Text:=ToString(gParamIF.SumLoss,3);
    si2.Text:='3';//IntToStr(gParamIF iterasi);
    me(selang,jam,menit,detik,mdetik);
    .Text:=IntToStr(jam)+':'+IntToStr(menit)+':'+
      IntToStr(detik)+':'+IntToStr(mdetik);

    ;
    .Free;
  end;

TfrmHasil.btrUseDefaultClick(Sender: TObject);

parameter Genetic Algorithm
n.Text:='50';
ze.Text:='10';
s.Text:='0.75';
si.Text:='0.008';
.TEXT:='0.5';
xt:='1000000';
j.Text:='30';
cross.Text:='crOne';
cont.Text:='rpReplikasi';
parameter objective function
tar.Text:='5';
'ext:='10';
k.Text:='30';
Bank.Text:='7';
ext:='Mixed';
cells[1,1]:='0.8';fgInput.Cells[2,1]:='4024';fgInput.Cells[3,1]:='0.04';
cells[1,2]:='1.0';fgInput.Cells[2,2]:='3295';fgInput.Cells[3,2]:='0.06';
cells[1,3]:='1.2';fgInput.Cells[2,3]:='1417';fgInput.Cells[3,3]:='0.09';
p.Text:='400';
stall.Text:='600';
duV.Text:='1000';
duS.Text:='1000';
Text:='0.95';
Text:='1.05';
tg.Enabled:=true;

```

```

unit uHasil,SysUtils,Forms;

{tLFChild-class(TfrmInputLF)
ed
procedure ShowHasil;override;

begin:TfrmInputLFChild;
  action
    iflow;
    TfrmInputLFCnild.ShowHasil;
  end;
end;

if Hasil=nil then
begin
  Hasil:=TfrmHasil.Create(Application);
  Hasil.fqBus.Cells[0,0]:='Bus';
  Hasil.fqBus.Cells[1,0]:='absV (pu)';
  Hasil.fqBus.Cells[2,0]:='sudV (deg)';
  Hasil.fqBus.Cells[3,0]:='Sups (pu)';
  Hasil.fqBus.Cells[4,0]:='Type Bus';
  Hasil.fqBranch.Cells[0,0]:='No';
  Hasil.fqBranch.Cells[1,0]:='Dari';
  Hasil.fqBranch.Cells[2,0]:='Ke';
  Hasil.fqBranch.Cells[3,0]:='Arus re (A)';
  Hasil.fqBranch.Cells[4,0]:='Arus im (A)';
  Hasil.fqBranch.Cells[5,0]:='Dari';
  Hasil.fqBranch.Cells[6,0]:='Ke';
  Hasil.fqBranch.Cells[7,0]:='Arus re (A)';
  Hasil.fqBranch.Cells[8,0]:='Arus im (A)';

  Hasil.fqBus2.Cells[0,0]:='Bus';
  Hasil.fqBus2.Cells[1,0]:='absV (pu)';
  Hasil.fqBus2.Cells[2,0]:='sudV (deg)';
  Hasil.fqBus2.Cells[3,0]:='Sups (pu)';
  Hasil.fqBus2.Cells[4,0]:='Type Bus';
  Hasil.fqBranch2.Cells[0,0]:='No';
  Hasil.fqBranch2.Cells[1,0]:='Dari';
  Hasil.fqBranch2.Cells[2,0]:='Ke';
  Hasil.fqBranch2.Cells[3,0]:='Arus re (A)';
  Hasil.fqBranch2.Cells[4,0]:='Arus im (A)';
  Hasil.fqBranch2.Cells[5,0]:='Dari';
  Hasil.fqBranch2.Cells[6,0]:='Ke';
  Hasil.fqBranch2.Cells[7,0]:='Arus re (A)';
  Hasil.fqBranch2.Cells[8,0]:='Arus im (A)';

  if ramLF.PKonst=1 then
  begin
    Hasil.fqBus.Cells[3,0]:='Pq (W)';
    Hasil.fqBus.Cells[4,0]:='Qq (VAR)';
    Hasil.fqBus.Cells[5,0]:='Pd (W)';
    Hasil.fqBus.Cells[6,0]:='Qd (VAR)';
    Hasil.fqBranch.Cells[3,0]:='P (W)';
    Hasil.fqBranch.Cells[4,0]:='Q (VAR)';
    Hasil.fqBranch.Cells[5,0]:='P (W)';
    Hasil.fqBranch.Cells[6,0]:='Q (VAR)';
    Hasil.lblGen.Caption:='VA';
    Hasil.lblLoad.Caption:='VA';
    Hasil.lblLoss.Caption:='VA';

    Hasil.fqBus2.Cells[3,0]:='Pq (W)';
    Hasil.fqBus2.Cells[4,0]:='Qq (VAR)';
    Hasil.fqBus2.Cells[5,0]:='PL (W)';
    Hasil.fqBus2.Cells[6,0]:='QL (VAR)';
    Hasil.fqBranch2.Cells[3,0]:='P (W)';
    Hasil.fqBranch2.Cells[4,0]:='Q (VAR)';
    Hasil.fqBranch2.Cells[5,0]:='P (W)';
    Hasil.fqBranch2.Cells[6,0]:='Q (VAR)';
  end;
end;

```

```

lasi1.lblGen2.Caption:='VA';
lasi1.lblLoad2.Caption:='VA';
lasi1.lblLoss2.Caption:='VA';

if gParamLP.PKonst=1000 then
begin
  fgbus.Cells[3,0]:='Pg (kW)';
  fgbus.Cells[4,0]:='Qg (kVAR)';
  fgbus.Cells[5,0]:='Pl (kW)';
  fgbus.Cells[6,0]:='Ql (kVAR)';
  fgBranch.Cells[3,0]:='P (kW)';
  fgBranch.Cells[4,0]:='Q (kVAR)';
  fgBranch.Cells[9,0]:='F (kW)';
  fgBranch.Cells[10,0]:='Q (kVAR)';
  lbiGen.Caption:='kVA';
  lbiLoad.Caption:='kVA';
  lbiLoss.Caption:='kVA';

  fgBus2.Cells[3,0]:='Pg (kW)';
  fgBus2.Cells[4,0]:='Qg (kVAR)';
  fgBus2.Cells[5,0]:='Pl (kW)';
  fgBus2.Cells[6,0]:='Ql (kVAR)';
  fgBranch2.Cells[3,0]:='P (kW)';
  fgBranch2.Cells[4,0]:='Q (kVAR)';
  fgBranch2.Cells[9,0]:='P (kW)';
  fgBranch2.Cells[10,0]:='Q (kVAR)';
  lbiGen2.Caption:='kVA';
  lbiLoad2.Caption:='kVA';
  lbiLoss2.Caption:='kVA';

end;

if gParamLP.PKonst=1000000 then
begin
  fgbus.Cells[3,0]:='Pg (MW)';
  fgbus.Cells[4,0]:='Qg (MVAR)';
  fgbus.Cells[5,0]:='Pl (MW)';
  fgbus.Cells[6,0]:='Ql (MVAR)';
  fgBranch.Cells[3,0]:='P (MW)';
  fgBranch.Cells[4,0]:='Q (MVAR)';
  fgBranch.Cells[9,0]:='P (MW)';
  fgBranch.Cells[10,0]:='Q (MVAR)';
  lbiGen.Caption:='MVA';
  lbiLoad.Caption:='MVA';
  lbiLoss.Caption:='MVA';

  fgBus2.Cells[3,0]:='Pg (MW)';
  fgBus2.Cells[4,0]:='Qg (MVAR)';
  fgBus2.Cells[5,0]:='Pl (MW)';
  fgBus2.Cells[6,0]:='Ql (MVAR)';
  fgBranch2.Cells[3,0]:='P (MW)';
  fgBranch2.Cells[4,0]:='Q (MVAR)';
  fgBranch2.Cells[9,0]:='P (MW)';
  fgBranch2.Cells[10,0]:='Q (MVAR)';
  lbiGen2.Caption:='MVA';
  lbiLoad2.Caption:='MVA';
  lbiLoss2.Caption:='MVA';

end;

il1.fgBus.RowCount:=StrToInt(edtNbus.Text)+1;
il1.fgBranch.RowCount:=StrToInt(edtNzal.Text)+1;
il1.fgBus2.RowCount:=StrToInt(edtNbus.Text)+1;
il1.fgBranch2.RowCount:=StrToInt(edtNzai.Text)+1;
il1.ShowModal;
il1.Free;

```

```
  , Messages, SysUtils, Variants, Classes, Graphics, Controls, Forms,
  , ComCtrls, StdCtrls, ExtCtrls;

  = class(TForm)
  l: TPanel;
  t: TButton;
  in: TButton;
  it: TButton;
  sBar1: TStatusBar;
  lPanel: TPanel;
  dialog1: TOpenDialog;
  procedure btnExitClick(Sender: TObject);
  procedure btnNewClick(Sender: TObject);
  procedure btnOpenClick(Sender: TObject);

  private declarations
  public declarations
  end;

  : TfrmMenu;
  action
  itLFChild, uComplex, uUtils, uLoadflow;
  begin
    if TfrmMenu.btnExitClick(Sender: TObject);
    then Application.Terminate;
    if TfrmMenu.btnNewClick(Sender: TObject);
    then
      if input=nil then
        begin
          input:=TfrmInputLcChild.Create(Application);
          input.Caption:='Input Data';
          input.btnNext.Caption:='Save';
          input.ShowModal;
        end;
      input.Free;
    end;
    if TfrmMenu.btnOpenClick(Sender: TObject);
    then
      begin
        file:=OpenDialog1.FileName;
        if file<>'' then
          begin
            inLnFile(output,Namofile);
            inLn(output);
            inLn(output,Nbus);
            inLn(output,Nsal);
            inLn(output,Vbase);
            inLn(output,VKonst);
            inLn(output,Pbase);
            inLn(output,PKonst);
            inLn(output,param);
            namLF.Vbase:=Vbase;
            namLF.VKonst:=VKonst;
          end;
      end;
  end;
```

```

paramF.Pbase:=Pbase;
paramF.PKonst:=PKonst;
param=1 then
in
ParamLF.ParamBranch:=pb0m;

a if param=2 then
in
ParamLF.ParamBranch:=pb0nm;
;
ramLF.MaxIterasi:=15;
ramLF.Toleransi:=0.0001;

minput:=TfrmInputFCnild.Create(Application);
minput.edtNbus.Text:=IntToStr(Nbus);
minput.edtNsai.Text:=IntToStr(Nsai);
minput.edtVbase.Text:=FloatToStr(Vbase);
i Konst=1 then
egin
frmInput.cmbVKonst.Text:='V';
id
.se if VKonst=1000 then
egin
frmInput.cmbVKonst.Text:='kV';
id
.se if VKonst=1000000 then
egin
frmInput.cmbVKonst.Text:='MV';
id;
minput.edtPbase.Text:=FloatToStr(Pbase);
i PKonst=1 then
egin
frmInput.cmbPKonst.Text:='VA';
frmInput.fqBus.Cells[3,0]:='Pg (W)';
frmInput.fqBus.Cells[4,0]:='Qg (VAR)';
frmInput.fqBus.Cells[5,0]:='Pl (W)';
frmInput.fqBus.Cells[6,0]:='Ql (VAR)';
frmInput.fqBranch.Cells[9,0]:='Kap (VA)';
frmInput.fqBranch.Cells[10,0]:='P (W)';
frmInput.fqBranch.Cells[11,0]:='Q (VAR)';
frmInput.fqBranch.Cells[16,0]:='P (W)';
frmInput.fqBranch.Cells[17,0]:='Q (VAR)';
id
.se if PKonst=1000 then
egin
frmInput.cmbPKonst.Text:='kVA';
frmInput.fqBus.Cells[3,0]:='Pg (kW)';
frmInput.fqBus.Cells[4,0]:='Qg (kVAR)';
frmInput.fqBus.Cells[5,0]:='Pl (kW)';
frmInput.fqBus.Cells[6,0]:='Ql (kVAR)';
frmInput.fqBranch.Cells[9,0]:='Kap (kVA)';
frmInput.fqBranch.Cells[10,0]:='P (kW)';
frmInput.fqBranch.Cells[11,0]:='Q (kVAR)';
frmInput.fqBranch.Cells[16,0]:='P (kW)';
frmInput.fqBranch.Cells[17,0]:='Q (kVAR)';
id
.se if PKonst=1000000 then
egin
frmInput.cmbPKonst.Text:='MVA';
frmInput.fqBus.Cells[3,0]:='Pg (MW)';
frmInput.fqBus.Cells[4,0]:='Qg (MVAR)';
frmInput.fqBus.Cells[5,0]:='Pl (MW)';
frmInput.fqBus.Cells[6,0]:='Ql (MVAR)';
frmInput.fqBranch.Cells[9,0]:='Kap (MVA)';
frmInput.fqBranch.Cells[10,0]:='P (MW)';
frmInput.fqBranch.Cells[11,0]:='Q (MVAR)';
frmInput.fqBranch.Cells[16,0]:='P (MW)';
frmInput.fqBranch.Cells[17,0]:='Q (MVAR)';
id;
i param=1 then
egin
frmInput.cmbParam.Text:='pu';
frmInput.fqBranch.Cells[3,0]:='R (pu)';
frmInput.fqBranch.Cells[4,0]:='X (pu)';
frmInput.fqBranch.Cells[5,0]:='Lc (pu)';
frmInput.fqBus.Cells[7,0]:='Cap (pu)';
id

```

```

ise if param=2 then
begin
frmInput.cmbParam.Text:='ohm';
frmInput.fgBranch.Cells[3,0]:='R (ohm)';
frmInput.fgBranch.Cells[4,0]:='X (ohm)';
frmInput.fgBranch.Cells[5,0]:='Lc (ohm)';
frmInput.fgBus.Cells[7,0]:='Cap (ohm)';
end;
stLength(qBus,Nbus);
for i:= 0 to Nbus-1 do
begin
Readln(output,absV,sudV,Pg,Qg,PL,QL,Cap,Typ);
qBus[i].absV:=absV;
qBus[i].sudV:=sudV;
qBus[i].Pg:=Pg;
qBus[i].Qgen:=Qg;
qBus[i].PL:=PL;
qBus[i].QL:=QL;
qBus[i].Cap:=Cap;
qBus[i].typeBus:=Typ;
frmInput.fgBus.Cells[0,i+1]:=IntToStr(i+1);
frmInput.fgBus.Cells[1,i+1]:=FloatToStr(absV);
frmInput.fgBus.Cells[2,i+1]:=FloatToStr(sudV);
frmInput.fgBus.Cells[3,i+1]:=FloatToStr(Pg);
frmInput.fgBus.Cells[4,i+1]:=FloatToStr(Qg);
frmInput.fgBus.Cells[5,i+1]:=FloatToStr(PL);
frmInput.fgBus.Cells[6,i+1]:=FloatToStr(QL);
frmInput.fgBus.Cells[7,i+1]:=FloatToStr(Cap);
frmInput.fgBus.Cells[8,i+1]:=IntToStr(typ);
end;
stLength(qBranch,Nsal);
for i:=0 to Nsal-1 do
begin
Readln(output,dari,ke,R,X,Lc,Tr,Tu,Su,CapSal);
qBranch[i].dari:=dari;
qBranch[i].ke:=ke;
qBranch[i].R:=R;
qBranch[i].X:=X;
qBranch[i].Lc:=Lc;
qBranch[i].Tr:=Tr;
qBranch[i].Tu:=Tu;
qBranch[i].Su:=Su;
qBranch[i].CapSal:=CapSal;
frmInput.fgBranch.Cells[0,i+1]:=IntToStr(i+1);
frmInput.fgBranch.Cells[1,i+1]:=IntToStr(dari);
frmInput.fgBranch.Cells[2,i+1]:=IntToStr(ke);
frmInput.fgBranch.Cells[3,i+1]:=FloatToStr(R);
frmInput.fgBranch.Cells[4,i+1]:=FloatToStr(X);
frmInput.fgBranch.Cells[5,i+1]:=FloatToStr(Lc);
frmInput.fgBranch.Cells[6,i+1]:=FloatToStr(Tr);
frmInput.fgBranch.Cells[7,i+1]:=FloatToStr(Tu);
frmInput.fgBranch.Cells[8,i+1]:=FloatToStr(Su);
frmInput.fgBranch.Cells[9,i+1]:=FloatToStr(CapSal);
end;
writeln(output,Ngen);
if Ngen<>0 then
begin
frmInput.fgGen.RowCount:=Ngen+1;
SetLength(qGenLF,Ngen);
for i:=0 to Ngen-1 do
begin
Readln(output,dari,R,X,Lc,Tr,Tu,Su,CapSal,Pmin,Pmax);
qGenLF[i].bus:=dari;
qGenLF[i].Qmin:= R;
qGenLF[i].Qmax:=X;
qGenLF[i].a2:=Lc;
qGenLF[i].a1:=Tr;
qGenLF[i].a0:=Tu;
qGenLF[i].FixCost:=Su;
qGenLF[i].VarCost:=CapSal;
qGenLF[i].Pmin:=Pmin;
qGenLF[i].Pmax:=Pmax;
frmInput.fgGen.Cells[0,i+1]:=IntToStr(i+1);
frmInput.fgGen.Cells[1,i+1]:=IntToStr(qGenLF[i].bus);
frmInput.fgGen.Cells[2,i+1]:=RealToStr(qGenLF[i].Qmin,2);
frmInput.fgGen.Cells[3,i+1]:=RealToStr(qGenLF[i].Qmax,2);
frmInput.fgGen.Cells[4,i+1]:=RealToStr(qGenLF[i].a2,b1);

```

```
frmInput.fgGen.Cells[5,i+1]:= RealToStr(gGenLF[i].a1,5);
frmInput.fgGen.Cells[6,i+1]:= RealToStr(gGenLF[i].a0,5);
frmInput.fgGen.Cells[7,i+1]:= RealToStr(gGenLF[i].FixCost,2);
frmInput.fgGen.Cells[8,i+1]:= RealToStr(gGenLF[i].VarCost,2);
frmInput.fgGen.Cells[9,i+1]:=RealToStr(gGenLF[i].Pmin,2);
frmInput.fgGen.Cells[10,i+1]:=RealToStr(gGenLF[i].Pmax,2);
end;
nd;
begin
begin
  frmInput.fgGen.RowCount:=7;
  id;
  closeFile(output);
  cminput.Caption:='Tampilan Data';
  cminput.btnExit.Caption:='&Next';
  cminput.ShowModal;
  ally;
  cminput.Free;
  :

  end;
```

```

is,uRandom,uFitness,ullasil,uVarGenetic;

ul-record
:bArr1;
ss:double;

1=array of TIndiBin1;

n2-record
:bArr2;
ss:double;

2=array of TIndiBin2;

ant=(npStandart,npReplikasi,npElitism);
oss=(crOne,crTwo,crMulti);

class

en,FPopSize,FLength:integer;
ion getMin:dArr1;
ion getAvg:dArr1;
ion getMax:dArr1;
ed
Favg,FMax:dArr1;
.FAvg1,FMax1,FSumFitness:double;
em:TRandomu;

uctor Create(const rMaxGen,rPopSize,rLength:integer);
ictor Destroy;override;
cty MaxGen:integer read FMaxgen write FMaxGen;
cty PopSize:integer read FPopSize write FPopsize;
cty Length:integer read FLength write FLength;
cty Min:dArr1 read getMin;
cty Avg:dArr1 read getAvg;
cty Max:dArr1 read getMax;

=class(TGenetic)

is,FPMutasi,FPFlip,FKa:double;
ed
arent:TNewParent;
Cross:TTypeCross;
ion Mutasi(const rAllele:boolean):boolearn;

uctor Create(const rMaxGen,rPopSize,rLength:integer;
  const rPCross,rPMutasi,rPFlip,rKa:double;
  const rNewParent:TNewParent;
  const rTypeCross:TTypeCross);
  cty PCross:double read FPCross write FPCross;
  cty PMutasi:double read FPMutasi write FPMutasi;
  cty PFlip:double read FPFlip write FPFlip;
  cty Kd:double read FKa write FKa;

=class(TGenBin)

:integer;
it,FChild:TPopBin2;
Indi:TIndiBin2;
on getIndividu(const rIndi:TIndiBin2):TIndiBin2;
ture SwapIndi(var rIndi1,rIndi2:TIndiBin2);
on getBestIndi:TIndiBin2;
ture InitParent;
ture Statistik;
on Seleksi:integer;
ture Crossover(const rParent1,rParent2:bArr2;
  var rChild1,rChild2:bArr2);
ture Generasi;

```

```

procedure FindNewParent;
procedure doHitung;
function getBestChrom:bArr2;
constructor Create(const rMaxGen,rPopSize,rLength,rParam:integer;
    const rPCross,rPMutasi,rPFlip,rKa:double;
    const rNewParent:TNewParent;
    const rTypeCross:TTYPECROSS);
property Param:integer read FParam write FParam;
property BestChrom:bArr2 read getBestChrom;

class(TGenBin)

private :byte;
at,FChild:TPopCap;
Indi:TIndiCap;
public getAllele(const rAllele:TAlleleCap):TAlleleCap;
public MutasiCap(const rAllele:TAlleleCap):TAlleleCap;
public getIndividu(const rIndi:TIndiCap):TIndiCap;
public SwapIndi(var rIndi1,rIndi2:TIndiCap);
public getBestIndi:TIndiCap;
public InitParent;
public Statistik;
public Seleksi:integer;
public Crossover(const rParent1,rParent2:TChromCap;
    var rChild1,rChild2:TChromCap);
public Generasi;
public FindNewParent;
public doHitung;
public getBestChrom:TChromCap;

constructor Create(const rNCap:byte;
    const rMaxGen,rPopSize,rLength:integer;
    const rPCross,rPMutasi,rPFlip,rKa:double;
    const rNewParent:TNewParent;
    const rTypeCross:TTYPECROSS);
property BestChrom:TChromCap read getBestChrom;

end at TGenetic;
implementation

procedure TGenetic.Create(const rMaxGen,rPopSize,rLength:integer);
begin
  Create;
  :=rMaxGen;
  :=rPopSize;
  :=rLength;
  ch(rMin,rMaxGen);
  ch(rAvg,rMaxGen);
  ch(rMax,rMaxGen);
  :=TRandomu.Create;
  end

procedure TGenetic.Destroy;
begin
  m.Free;
  end Destroy;

procedure TGenetic.Crossing;
begin
  Genetic.getMin:dArr1;
  i:=rMin;
  result:=rMaxGen;
  for i:=rMin+1 to rMaxGen-1 do
    dArr1[i]:=rMin[i];
  end Crossing;

```

```

TGenetic.getAvg:dArr;
eger;

ch(result,FMaxGen);
0 to FMaxGen-1 do
  l[i]:=FAvg[i];
end;

TGenetic.getMax:dArr;
eger;

ch(result,FMaxGen);
0 to FMaxGen-1 do
  l[i]:=FMax[i];
end;

}

ctor
var TGenBin.Create(const rMaxGen,rPopSize,rLength:integer;
  const rPCross,rPMutasi,rPFlip,rKa:double;
  const rNewParent:TNewParent;
  const rTypeCross:TTyTypeCross);

ed Create(rMaxGen,rPopSize,rLength);
:=rPCross;
:=rPMutasi;
:=rPFlip;
:=rNewParent;
:=rTypeCross;

TGenBin.Mutasi(const rAllele:boolean):boolean;
begin.NextBoolean(FPMutasi)=true then
  r:=not rAllele;
else
  r:=rAllele;
end;

var TGenBin2.Create(const rMaxGen,rPopSize,rLength,rParam:integer;
  const rPCross,rPMutasi,rPFlip,rKa:double;
  const rNewParent:TNewParent;
  const rTypeCross:TTyTypeCross);

ed Create(rMaxGen,rPopSize,rLength,rPCross,rPMutasi,rPflip,
  rKa,rNewParent,rTypeCross);
:=rParam;

processing
TGenBin2.getIndividu(const rindi:TIndiBin2):TIndiBin2;
integer;
begin(result.chrom,FFparam,Length);
0 to FParam-1 do
=0 to Length-1 do
  l7.chrom[i,j]:=rindi.chrom[i,j];
  fitness:=rindi.fitness;
TGenBin2.SwapIndi(var rind1,rIndi2:TIndiBin2);

```

```

tIndividu(rIndi1);
=GetIndividu(rIndi2);
->GetIndividu(tmp);

'GenBin2.getBestIndi:TIndiBin2;
eager;

=GetIndividu(FParent[0]);
: to PopSize-1 do
  sult.fitness<FFParent[i].fitness then
    alt:=GetIndividu(FFParent[i]);
  end;

TGenBin2.InitParent;
:integer;
:th(FParent,PopSize);
:th(FChild,PopSize);
) to PopSize-1 do
  length(FFParent[i].chrom,FFParam,Length);
  length(FChild[i].chrom,FFParam,Length);
  :=0 to FParam-1 do
    k:=0 to Length-1 do
      in
      Parent[i].chrom[j,k]: FRandom.NextBoolean(PF); p);
    end;

  avg fitness parent
  it[i].fitness:=qFitness.CalcHuntingFitness(FFParent[i].chrom);
end;

TGenBin2.Statistik;
eager;

:FFParent[0].fitness;
:FFParent[0].fitness;
ness:=FFParent[0].fitness;
) to PopSize-1 do
  ini>FFParent[i].fitness then
    i1:=FFParent[i].fitness;
  else<FFParent[i].fitness then
    d1:=FFParent[i].fitness;
    fitness:=FSumFitness+FFParent[i].fitness;
    fitness:=fitness/PopSize;

'GenBin2.Seleksi:integer;
:partsum:double;
:integer;
-0;
Random.NextDouble*FSumFitness;
;

im:=partsum+FFParent[i-1].fitness;
partsum>rand) or (i=PopSize);
i-1;

TGenBin2.Crossover(const rParent1,rParent2:bArr2);

```

```

var rChild1,rChild2:array();
pos1,pos2,sum,sumChrom:integer;
dom.NextBoolean(FPCross)=true then
  typeCross:=cOne then
    Chrom:=FParam*Length;
    i:=FRandom.NextInt(0,sumChrom-2);
    :=0;
    i:=0 to FParam-1 do
    in
    or j:=0 to Length-1 do
    begin
      if sum<=pos1 then
      begin
        rChild1[i,j]:=Mutasi(rParent1[i,j]);
        rChild2[i,j]:=Mutasi(rParent2[i,j]);
      end
      else
      begin
        rChild1[i,j]:=Mutasi(rParent2[i,j]);
        rChild2[i,j]:=Mutasi(rParent1[i,j]);
      end;
      inc(sum);
    end;
    id;
  ;
  if FTypeCross=cTwo then
    Chrom:=FParam*Length;
    i:=FRandom.NextInt(0,sumChrom-2);
    :=0;
    pos2:=FRandom.NextInt(0,sumChrom-2);
    if pos2<pos1;
    pos1>pos2 then
    in
    sep(pos1,pos2);
    :=0;
    i:=0 to FParam-1 do
    in
    or j:=0 to Length-1 do
    begin
      if sum<=pos1 then
      begin
        rChild1[i,j]:=Mutasi(rParent1[i,j]);
        rChild2[i,j]:=Mutasi(rParent2[i,j]);
      end
      else if (sum>pos1) and (sum<=pos2) then
      begin
        rChild1[i,j]:=Mutasi(rParent2[i,j]);
        rChild2[i,j]:=Mutasi(rParent1[i,j]);
      end
      else
      begin
        rChild1[i,j]:=Mutasi(rParent1[i,j]);
        rChild2[i,j]:=Mutasi(rParent2[i,j]);
      end;
      inc(sum);
    end;
    id;
  ;
  i:=0 to FParam-1 do
  in
  or j:=0 to Length-1 do
  begin
    if FRandom.NextBoolean(0.5) = true then
    begin
      rChild1[i,j]:=Mutasi(rParent1[i,j]);
      rChild2[i,j]:=Mutasi(rParent2[i,j]);
    end
    else
    begin
      rChild1[i,j]:=Mutasi(rParent2[i,j]);
    end;
  end;

```

```

rChild2[i,j]:=Mutasi(rParent1[i,j]);
end;
nd;
;

:=0 to FParam-1 do
  j:=0 to length-1 do
in
Chid1[i,j]:=Mutasi(rParent1[i,j]);
Chid2[i,j]:=Mutasi(rParent2[i,j]);
;

TGenBin2.Generasi;
n1,mate2:integer;

i:=Seeks1;
j:=Seeks1;
over(FParent[mate1].chrom,FParent[mate2].chrom,
  FChild[i].chrom,FChild[i+1].chrom);
i[i].fitness:=qFitness.doritungFitness(FChild[i].chrom);
i[i+1].fitness:=qFitness.doritungFitness(FChild[i+1].chrom);
;
:=PopSize;

TGenBin2.FindNewParent;
ite:integer;
i:TPop3in2;

parent=npStandart then
  :=0 to PopSize-1 do
    rent[i]:=getIndividu(FChild[i]);

  if NewParent=rpReplikasi then
    iqth(tmpPop,PopSize);
    :=0 to PopSize-1 do

      sat
      mate:=FRandom.NextInt(0,PopSize-1);
      if mate<>i;
      FChild[i].fitness>FParent[mate].fitness then
      in
        ipPop[i]:=getIndividu(FChild[i]);
      ;
      in
        ipPop[i]:=getIndividu(FParent[mate]);
      ;

    :=0 to PopSize-1 do
      rent[i]:=getIndividu(tmpPop[i]);


    iqth(tmpPop,2*PopSize);
    =0 to PopSize-1 do

      ipop[i]:=getIndividu(FParent[i]);
      ipop[i+PopSize]:=getIndividu(FChild[i]);
      =0 to 2*PopSize-2 do

```

```

j:=i to 2*PopSize-1 do
in
f tmpPop[i].fitness<tmpPop[j].fitness then
begin
SwapIndi(tmpPop[i],tmpPop[j]);
end;
;

i:=0 to PopSize-1 do
rent[i]:=getIndividu(tmpPop[i]);

TCenBin2.dollitzung;
integer;
di:TIndiBin2;
end;
ik;
di:=getBestIndi;

isi;
ewParent;
stik;
si:=getBestIndi;
estIndi.fitness<tmpIndi.fitness then
stIndi:=getIndividu(tmpIndi);

i1:=FMin1;
i2:=FAvg1;
i3:=FMax1;
i3.i.pnGen.StepBy(1);
if
>=MaxGen;

TGenBin2.getBestChrom:bArr2;
integer;

j;
jh(result,FParam,Length);
i to FParam-1 do
:-0 to Length-1 do
it[i,j]:=FBestIndi.chrom[i,j];
;

for
do TConCap.Create(const rNCap:byte;
const rMaxGen,rPopSize,rLength:integer;
const rFCross,rPMutasi,rPFlip,rKa:double;
const rNewParent:TNewParent;
const rTypeCross:TTyoeCross);

sd Create(rMaxGen,rPopSize,rLength,rFCross,rPMutasi,rPFlip,
rKa,rNewParent,rTypeCross);
rNCap;

accessing
TConCap.getAllle(const rAllele:TAlleleCap):TAlleleCap;
status:=rAllele.status;
capLow:=rAllele.capLow;
capMed:=rAllele.capMed;
capHigh:=rAllele.capHigh;

```

```
'GenCap.Mutasi(ap|const rAllele:IAAlleleCap):IAAlleleCap;
ap,dX:integer;
random.NextBool:=true then
random.NextInt(1,4);
=1 then
 ilt.status:=not rAllele.status;
 ilt.capLow:=rAllele.capLow;
 ilt.capMed:=rAllele.capMed;
 ilt.capHigh:=rAllele.capHigh;
if ia=2 then
 ilt.status:=rAllele.status;
random.NextBoolean(0.5)=true then
in
  cap:=FNCap-rAllele.capLow;
  i:=FRandom.NextInt(0,3Cap);
  result.capLow:=rAllele.capLow+dX;
  :
  ilt.capMed:=rAllele.capMed;
  ilt.capHigh:=rAllele.capHigh;
if ia=3 then
 ilt.status:=rAllele.status;
 ilt.capLow:=rAllele.capLow;
random.NextBoolean(0.5)=true then
in
  cap:=FNCap-rAllele.capMed;
  i:=FRandom.NextInt(0,3Cap);
  result.capMed:=rAllele.capMed+dX;
  :
  ilt.capHigh:=rAllele.capHigh;
if ia=4 then
 ilt.status:=rAllele.status;
 ilt.capLow:=rAllele.capLow;
 ilt.capMed:=rAllele.capMed;
random.NextBoolean(0.5)=true then
in
  cap:=FNCap-rAllele.capHigh;
  i:=FRandom.NextInt(0,3Cap);
  result.capHigh:=rAllele.capHigh+dX;
  :
  ilt.capLow:=rAllele.capLow;
  ilt.capMed:=rAllele.capMed;
  ilt.capHigh:=rAllele.capHigh;
```

```

TGenCap.getIndividu(const rindi:TIndiCap):TIndiCap;
begin;
  result.chrom:=rindi.chrom;
  result.length:=rindi.length;
end;

procedure TGenCap.SwapIndi(var rIndi1,rIndi2:TIndiCap);
var
  i:integer;
begin;
  for i:=0 to rIndi1.length-1 do
    rIndi1.chrom[i]:=getAllele(rIndi2.chrom[i]);
  rIndi1.fitness:=rIndi2.fitness;
  rIndi2.fitness:=rIndi1.fitness;
end;

procedure TGenCap.getBestIndi:TIndiCap;
var
  i:integer;
begin;
  FParent[0].fitness:=0;
  for i:=1 to PopSize-1 do
    if FParent[i].fitness < FParent[0].fitness then
      FParent[0]:=FParent[i];
end;

procedure TGenCap.InitParent;
var
  i,j:integer;
begin;
  FParent:=TIndiCap.Create(PopSize);
  FChild:=TIndiCap.Create(PopSize);
  for i:=0 to PopSize-1 do
    begin;
      FParent[i].chrom:=TIndiCap.Create(Length);
      FChild[i].chrom:=TIndiCap.Create(Length);
      for j:=0 to Length-1 do
        begin;
          FParent[i].chrom[j].status:=FRandom.NextBoolean(FFlip);
          FParent[i].chrom[j].capLow:=FRandom.NextInt(1,FNCap);
          FParent[i].chrom[j].capMed:=FRandom.NextInt(1,FNCap);
          FParent[i].chrom[j].capHigh:=FRandom.NextInt(1,FNCap);
        end;
    end;
end;

procedure TGenCap.Crossover;
var
  i,j,l:integer;
begin;
  for i:=0 to PopSize-1 do
    begin;
      l:=FRandom.NextInt(0,PopSize-1);
      for j:=0 to Length-1 do
        begin;
          if FRandom.NextBoolean(FFlip) then
            begin;
              FChild[i].chrom[j]:=FParent[i].chrom[j];
              FChild[l].chrom[j]:=FParent[i].chrom[j];
            end
          else
            begin;
              FChild[i].chrom[j]:=FParent[l].chrom[j];
              FChild[l].chrom[j]:=FParent[i].chrom[j];
            end;
        end;
    end;
end;

procedure TGenCap.Mutation;
var
  i,j,l:integer;
begin;
  for i:=0 to PopSize-1 do
    begin;
      l:=FRandom.NextInt(0,PopSize-1);
      for j:=0 to Length-1 do
        begin;
          if FRandom.NextBoolean(FFlip) then
            begin;
              FChild[i].chrom[j]:=FParent[i].chrom[j];
              FChild[l].chrom[j]:=FParent[i].chrom[j];
            end
          else
            begin;
              FChild[i].chrom[j]:=FParent[l].chrom[j];
              FChild[l].chrom[j]:=FParent[i].chrom[j];
            end;
        end;
    end;
end;

procedure TGenCap.Statistik;
var
  i:integer;
begin;
  FSumFitness:=FParent[0].fitness;
  for i:=1 to PopSize-1 do
    if FParent[i].fitness > FParent[0].fitness then
      FSumFitness:=FSumFitness+FParent[i].fitness;
  FSumFitness:=FSumFitness/PopSize;
end;

procedure TGenCap.Select;
var
  sumsum:double;
  i:integer;
begin;
  sumsum:=0;
  for i:=0 to PopSize-1 do
    sumsum:=sumsum+FParent[i].fitness;
  for i:=0 to PopSize-1 do
    FParent[i].prob:=FParent[i].fitness/sumsum;
end;

```

```

:=0;
Random.NextDouble*FSumFitness;

{
im:=partsum-FParent[i-1].fitness;
partsum>rand) or (i=PopSize);
i-1;

TGenCap.Crossover(const rParent1,rParent2:TChromCap;
var rChild1,rChild2:TChromCap);
,pos2:integer;

tom.NextBoolean(FPCross)=true then

tieCross=crOne then

:=FRandom.NextInt(1,Length-1);
i:=0 to pos1-1 do
n
rChild1[i]:=getAllele(rParent1[i]);
rChild2[i]:=getAllele(rParent2[i]);

i:=pos1 to Length-1 do
n
rChild1[i]:=getAllele(rParent2[i]);
rChild2[i]:=getAllele(rParent1[i]);

f FTypeCross=crTwo then

:=FRandom.NextInt(1,Length-1);
at
:s2:=FRandom.NextInt(1,Length-1);
l pos2<>pos1;
pos2<pos1 then
n
swap(pos1,pos2);

i:=0 to pos1-1 do
n
rChild1[i]:=getAllele(rParent1[i]);
rChild2[i]:=getAllele(rParent2[i]);

i:=pos1 to pos2-1 do
n
rChild1[i]:=getAllele(rParent2[i]);
rChild2[i]:=getAllele(rParent1[i]);

i:=pos2 to Length-1 do
n
rChild1[i]:=getAllele(rParent1[i]);
rChild2[i]:=getAllele(rParent2[i]);

i:=0 to Length-1 do
n
: FRandom.NextBoolean(0.5)=true then
begin
rChild1[i]:=getAllele(rParent1[i]);
rChild2[i]:=getAllele(rParent2[i]);
end
else
begin
rChild1[i]:=getAllele(rParent2[i]);
rChild2[i]:=getAllele(rParent1[i]);
end;

-0 to Length-1 do

```

```

i1[i]:=getAllele(rParent1[i]);
i1d2[i]:=getAllele(rParent2[i]);

) to length-1 do
i1[i]:=MutasiCap(rChild1[i]);
i2[i]:=MutasiCap(rChild2[i]);

TGenCap.Generasi;
i1,mate2:integer;

:=Seleksi;
:=Seleksi;
over(FParent[mate1].chrom,FParent[mate2].chrom,
      FChild[i].chrom,FCchild[i+1].chrom);
i[i].fitness:=gFitness.dohitungFitness(FChild[i].chrom);
i[i+1].fitness:=gFitness.dohitungFitness(FChild[i+1].chrom);
;
--PopSize;

TGenCap.FindNewParent;
ite:integer;
;TPopCap;

'parent=npStandart then
=0 to PopSize-1 do
  ient[i]:=getIndividu(FChild[i]);

FNewParent=npRepifikasi then
  gth(tmpPop,PopSize);
  =0 to PopSize-1 do
    sat
    ite:=FRandom.NextInt(0,PopSize-1);
    l mate<>i;
    'Child[i].fitness>FParent[mate].fitness then
    .n
    ipPop[i]:=getIndividu(FChild[i]);
    ;
    .n
    ipPop[i]:=getIndividu(FParent[mate]);
    ;
    =0 to PopSize-1 do
      ient[i]:=getIndividu(tmpPop[i]);

  gth(tmpPop,2*PopSize);
  =0 to PopSize-1 do
    ipPop[i]:=getIndividu(FParent[i]);
    ipPop[PopSize]:=getIndividu(FChild[i]);
    =0 to 2*PopSize-2 do
      j:=1 to 2*PopSize-1 do
      .n
      if tmpPop[i].fitness<tmpPop[j].fitness then
        begin
          SwapIndi(tmpPop[i],tmpPop[j]);
        end;

```

```
:-0 to PopSize-1 do
    ent[]:=getIndividu(tmpPop[i]);
    TGenCap.doEitung;
    eger;
    ii:TIndiCap;
    ent;
    k;
    i5:=getBestIndi;
    if stIndi.fitness<tmpIndi.fitness then
        stIndi:=getIndividu(tmpIndi);
    l:=FMinl;
    l:=FAvgl;
    l:=FMaxl;
    i1,pbGen.StepBy(1);
    ;
    >=MaxGen;

    TGenCap.getBestChrom:TChromCap;
    eger;
    ;
    h(result,length);
    i to Length-1 do
        .[-]:=getAllele(FBestIndi.chrom[i]);
```

```

ls, unloadflow, uNewtonRaphson, uComplex, uVarGenetic;

```

class

```

tCap, FCapBank, FType, FTlow, FTmed, FTpeak, FJmlCapBank, FYear:integer;
rSmed, FSpeak, FKeLow, FKemMed, FKefPeak, FLandaV, FLandaS:double;
Cap, FCapInstall, FFO:double;
sV:TBatas;
eChrom:TBatasArr1;
ion getmif1(const rMin, rMax, rX:double):double;
ion getmif2(const rMin, rF02, rMax, rX:double):double;
ion getmifCap(const rNCap:integer):double;
ion FindMax(const rValue1, rValue2, rValue3:double):double;
ion FindMin(const rValue1, rValue2, rValue3:double):double;
ion FindBatasChromFixed:TBatasArr1;
ion FindBatasChromMixed:TBatasArr1;
func DecodeChromToLData(const rChrom:bArr2;
    var rLBusLow, rLBusMed, rLBusPeak:TBatasArr1;
    var rCap:dArr2);overload;
func DecodeChromToLData(const rChrom:TChromCap;
    var rLBusLow, rLBusMed, rLBusPeak:TBatasArr1;
    var rCap:dArr2);overload;
ion doHitungCostCap(const rCap:dArr2):double;
ion doHitungPloss(const rPlossLow, rPlossMed, rPlossPeak:double):double;
ion doHitungPinV(const rLBus:TBatasArr1):double;
ion doHitungMaxdV(const rLBus:TBatasArr1):double;
ion doHitungMaxdS(const rLBranch:TBranchArr1):double;
ion doHitungPinS(const rLBranch:TBranchArr1):double;
ion getParamChrom:integer;

uctor Create(const rCountCap, rCapBank, rType, rTlow,
    rTmed, rTpeak, rJmlCapBank, rYear:integer;
    const rSmed, rSpeak, rKeLow, rKeMed, rKePeak,
    rCostCap, rCapInstall:double;
    const rBatasV:TBatas);
ion doHitungFitness(const rChrom:bArr2):double;overload;
ion doHitungFitness(const rChrom:TChromCap):double;overload;
func doHitungAkhir(const rChrom:bArr2;
    var rLBus:TBatasArr1;
    var rCap:dArr2;
    var rCost:double);overload;
func doHitungAkhir(const rChrom:TChromCap;
    var rLBus:TBatasArr1;
    var rCap:dArr2;
    var rCost:double);overload;
ion doHitungAwal(const rLBus:TBatasArr1):double;
ty Param:integer read getParamChrom;

ss:TFitness;

```

ation

```

der
or TFitness.Create(const rCountCap, rCapBank, rType, rTlow,
    rTmed, rTpeak, rJmlCapBank, rYear:integer;
    const rSmed, rSpeak, rKeLow, rKeMed, rKePeak,
    rCostCap, rCapInstall:double;
    const rBatasV:TBatas);

id Create;
ip:=rCountCap;
:=rCapBank;
Type;
Tlow;
Tmed;
rTpeak;
Bank:=rJmlCapBank;
Year;
S_low;
Smed;
rSpeak;

```

```

:=xBelow;
:=xMed;
:=xPeak;
rCostCap;
tall:=rCapInstall;
:=1000;
:=1000;
:min:=rBatasV.min;
:max:=rBatasV.max;
s=1 then

sChrom:=FindBatasChromFixed;

sChrom:=FindBatasChromMixed;
if ungAwan(gBus);

processing
Fitness.getmft1(const rimin,rimax,rX:double):double;
imin then
i:=1;
(x>=rimin) and (x<=rimax) then
i=(rimax-rX)/(rimax-rimin);

i:=0;

Fitness.getmft2(const rimin,rf02,rfmax,rX:double):double;
imin then
i:=1;
(x>=rimin) and (x<rf02) then
i=(rf02-rX)/(rf02-rimin);
(x>=rf02) and (x<=rfmax) then
i=(rfmax-rX)/(rfmax-rf02);

i:=0;

Fitness.getmfNCap(const rNCap:integer):double;
il;
igtCountCap then
i:=exp(-4*rNCap/FCountCap);

Fitness.FindMax(const rValue1,rValue2,rValue3:double):double;
irValue1;
i>rValue2 then result:=rValue2;
i>rValue3 then result:=rValue3;

Fitness.FindMin(const rValue1,rValue2,rValue3:double):double;
irValue1;
i>rValue2 then result:=rValue2;

```

```

TFitness.FindBatasChromFixed:TBatasArr;
jth,Nbus:integer;

ign(gBus)+1;
=2*FCountCap;
lh(result,length);
) to length-1 do

mod 2)=0 then

ilt[i].min:=-0;
ilt[i].max:=Nbus-1;

ilt[i].min:=-1;
ilt[i].max:=FJmlCapBank;

FFitness.FindBatasChromMixed:TBatasArr;
jth,Nbus:integer;

ign(gBus): 1;
=4*FCcountCap;
lh(result,length);
) to length-1 do

mod 4)=0 then

ilt[i].min:=-0;
ilt[i].max:=Nbus-1;

ilt[i].min:=-1;
ilt[i].max:=FJmlCapBank;

TFitness.DecodeChromToLFData (const rChrom:bArr2;
var rLBusLow,rLBusMed,rLBusPeak:TBusArr1;
var rCap:dArr2);
,i,in,ca,length:integer;
float,param:dArr1;
ip:dArr1;
boolean;

ign(gBus)+1;
lh(rLBusLow,rows);
lh(rLBusMed,rows);
lh(rLBusPeak,rows);
// data loadflow to local data function
) to rows-1 do

low[i].absV:=gBus[i].absV;
low[i].sudV:=gBus[i].sudV;
low[i].Pgen:=gBus[i].Pgen;
low[i].Qgen:=gBus[i].Qgen;
low[i].Ph:=PSlow*gBus[i].PL;
low[i].QL:=PSlow*gBus[i].QL;
low[i].Cap:=gBus[i].Cap;
low[i].typeBus:=gBus[i].typeBus;
fed[i].absV:=gBus[i].absV;
fed[i].sudV:=gBus[i].sudV;
fed[i].Pgen:=gBus[i].Pgen;
fed[i].Qgen:=gBus[i].Qgen;
fed[i].PL:=FSmed*gBus[i].PL;
fed[i].QL:=FSmed*gBus[i].QL;
fed[i].Cap:=gBus[i].Cap;
led[i].typeBus:=gBus[i].typeBus;
led[i].absV:=gBus[i].absV;

```

```

Peak[i].Sinv:=gBus[i].Sinv;
Peak[i].Pgen:=gBus[i].Pgen;
Peak[i].Qcon:=gBus[i].Qcon;
Peak[i].PL:=FSpeak*gBus[i].PL;
Peak[i].QL:=FSpeak*gBus[i].QL;
Peak[i].Cap:=gBus[i].Cap;
Peak[i].typeBus:=gBus[i].typeBus;

e data biner chromosome ke bilangan real antara 0 - 1
sat:=DecodeBinToFloat2Base0(rChrom);
length(chromFloat);1;
ch(param,rows);
e data bilangan real antara 0 - 1 ke bilangan sesungguhnya
0 to rows-1 do
    i]:=getRatestoReal(chromFloat[i],PBoundChrom[],min,
    PBoundChrom[i].max);

kao type Fixed atau Mixed
i=1 then //jika type Fixed
ode param ke data pembebanan loadflow
i:=rows div 2;
length(rCap,length,5);
/
1;
:=) to rows-1 do
(i mod 2)=0 then
in
i:=round(param[i]);
ic{ca};
lap{ca,0}:=ia;
.

in
LBusLow{ia}.Qgen:=round(param[i])*FCapBank;
LBusMed{ia}.Qgen:=round(param[i])*FCapBank;
LBusPeak{ia}.Qgen:=round(param[i])*FCapBank;
lap{ca,1}:=rLBusLow{ia}.Qgen;
lap{ca,2}:=rLBusMed{ia}.Qgen;
lap{ca,3}:=rLBusPeak{ia}.Qgen;
;

length(TypeCap,length);
:=) to length-1 do
eCap[i]:=l;
i,4]:=l;

jika type Mixed
ode param ke data pembebanan loadflow
i:=rows div 4;
length(rCap,length,5);
/
=) to rows-1 do
(i mod 4)=0 then
in
i:=round(param[i]);
ic{ca};
lap{ca,0}:=ia;
if (i mod 4)=1 then
in
LBusLow{ia}.Qgen:=round(param[i])*FCapBank;
lap{ca,1}:=rLBusLow{ia}.Qgen;
if (i mod 4)=2 then
in
LBusMed{ia}.Qgen:=round(param[i])*FCapBank;
lap{ca,2}:=rLBusMed{ia}.Qgen;
if (i mod 4)=3 then
in
LBusPeak{ia}.Qgen:=round(param[i])*FCapBank;
lap{ca,3}:=rLBusPeak{ia}.Qgen;
;
```

```

in
LBusPeak[i].Qgen:=round(param[i])*FCapBank;
Cap[ca,3]:=LBusPeak[i].Qgen;
;

if type capacitor jika Fixed i jika Switch-2
  Fixed jika Qgen pada rBusLow,rBusMed,rBusPeak sama
  nglth(TypeCap,length);
  :=0 to high(rCap) do

  :=false;
  (rCap[i,1]=rCap[i,2]) and (rCap[i,1]=rCap[i,3]) then
  in
  ex:=true;
  ;
  ok=true then
  in
  typeCap[i]:=1;
  Cap[i,4]:=1;
  ;

  in
  typeCap[i]:=2;
  Cap[i,4]:=2;
  ;
}

Twitness.DecodeChromToLData(const rChrom:TChromCap;
var rLBusLow,rLBusMed,rLBusPeak:TBusArr1;
var rCapIdArr2);
l,sa:integer;

row(qBus)-1;
ch(zLBus_low,rows);
ch(r_BusMed,rows);
ch(zLBusPeak,rows);
{il data loadflow to local data function
} to rows-1 do

row[i].absV:=qBus[i].absV;
row[i].sudV:=qBus[i].sudV;
row[i].Pgen:=qBus[i].Pgen;
row[i].Qgen:=qBus[i].Qgen;
row[i].PL:=FSlow*qBus[i].PL;
row[i].QL:=FSlow*qBus[i].QL;
row[i].Cap:=qBus[i].Cap;
row[i].typeBus:=qBus[i].typeBus;
fed[i].absV:=gBus[i].absV;
fed[i].sudV:=gBus[i].sudV;
fed[i].Pgen:=gBus[i].Pgen;
fed[i].Qgen:=gBus[i].Qgen;
fed[i].PL:=FSmed*gBus[i].PL;
fed[i].QL:=FSmed*gBus[i].QL;
fed[i].Cap:=gBus[i].Cap;
fed[i].typeBus:=gBus[i].typeBus;
peak[i].absV:=gBus[i].absV;
peak[i].sudV:=gBus[i].sudV;
peak[i].Pgen:=gBus[i].Pgen;
peak[i].Qgen:=gBus[i].Qgen;
peak[i].PL:=FSpeak*gBus[i].PL;
peak[i].QL:=FSpeak*gBus[i].QL;
peak[i].Cap:=gBus[i].Cap;
peak[i].typeBus:=gBus[i].typeBus;

} to rows-1 do

iron[i].status=true then
isLow[i].Qgen:=rChrom[i].capLow*FCapBank;
isMed[i].Qgen:=rChrom[i].capMed*FCapBank;
isPeak[i].Qgen:=rChrom[i].capHigh*FCapBank;
sa);

```

```

rh(rCap,sa,b);
0 to rows-1 do
  hrom[i].status=true then
    p[sa,0]:=1;
    p[sa,1]:=rChrom[i].capLow*FCapBank;
    p[sa,2]:=rChrom[i].capMed*FCapBank;
    p[sa,3]:=rChrom[i].capHigh*FCapBank;
    (rCap[sa,1]=rCap[sa,2]) and (rCap[sa,1]-rCap[sa,3])) then
      in
      Cap[sa,4]:=1;
      b
      in
      Cap[sa,4]:=2;
      ;(sa);

```

```

FFitness.doHitungCostCap(const rCap:dArr2):double;
i:integer;
double;
begin(rCap)+1;
=0;
) to Ncap-1 do
  f:=max(rCap[i,1],rCap[i,2],rCap[i,3]);
  t:=result+f*year*(round(Cap/FCapBank)*FCostCap+FCapInstall);

```

```

FFitness.doHitungPloss(const rPlossLow,rPlossMed,rPlossPeak:double):double;
=0;
= result+FKeLow*FTLow*rPlossLow;
= result+FKeMed*FTMed*rPlossMed;
= result+FKePeak*FTPeak*rPlossPeak;

```

```

FFitness.doHitungPinV(const rLBus:TBusArr):double;
i:integer;
begin(rLBus)+1;
=0;
) to Nbus-1 do
  bus[i].absV>FBatasV.max then
    i:=result+(rLBus[i].absV-FBatasV.max);
  bus[i].absV<FBatasV.min then
    i:=result+(FBatasV.min-rLBus[i].absV);

```

```

FFitness.doHitungMaxdV(const rLBus:TBusArr):double;
i:integer;
double;
begin(rLBus)+1;
=0;
) to Nbus-1 do
  os(rLBus[:],absV-1);
  mult<dV then
    iit:=-dV;

```

```

.5;
oHilungMaxdV(_BusMed);
getmff1(fmin, fmax, pinV);
;
;
oHilungMaxdS(gBranch);
getmff1(fmin, fmax, pinS);
-----
aphson(LBusPeak, gBranch, gParamLF);
gParamLF.SumLoss.real;
ost+TKcPeak*TPeak*Ploss;
.25;
.5;
oHilungMaxdV(LBusPeak);
getmff1(fmin, fmax, pinV);
;
;
oHilungMaxdS(gBranch);
getmff1(fmin, fmax, pinS);
-----
.5*FFC;
79;
'FFC;
ost/CostCap;
ifc2(fmin, F012, fmax, Cost);
rUC+3V+18;
-----

Fitness.dohitungFitness(const xChrom:TChromCap):double;
.0V, oS, oN, fmin, fmax:double;
low, PlossMed, PlossPeak, fc, fp, fv, fs, dvLow, dvMed, dvPeak:double;
dSMed, dSPeak:double;
integer;
ow, LBusMed, LBusPeak:TBusArr;
arr2;
sinC, pinV, Cost, CostCap, Ploss, uNCap:double;
;

ide of fitness here

;
fromPolrData(rChrom,LBusLow,LBusMed,LBusPeak,Cap);
lgh(Cap)+1;
loun:Cap;
nint1;
getmff1(fmin, fmax, NCap);
oHilungCostCap(Cap);
aphson(LBusLow, gBranch, gParamLF);
gParamLF.SumLoss.real;
ost+TKcLow*FTlow*Ploss;
.025;
.05;
oHilungMaxdV(LBusLow);
getmff1(fmin, fmax, pinV);
;
;
oHilungMaxdS(gBranch);
getmff1(fmin, fmax, pinS);
-----
aphson(LBusMed, gBranch, gParamLF);
gParamLF.SumLoss.real;
ost+TKcMed*FTMed*Ploss;
.025;
.05;
oHilungMaxdV(LBusMed);
getmff1(fmin, fmax, pinV);
;

oHilungMaxdS(gBranch);
getmff1(fmin, fmax, pinS);
-----
aphson(LBusPeak, gBranch, gParamLF);
gParamLF.SumLoss.real;
ost+TKcPeak*TPeak*Ploss;
.025;

```

```

    doHitungMaxdV(LBusPeak);
getmff1(fmin,fmax,pinV);
;
doHitungMaxdS(gBranch);
getmff1(fmin,fmax,pinS);

.5*FF0;
F0;
*FF0;
cost+CostCap;
mf2(fmin,f012,fmax,Cost);
-NC+CV+G+UNCap;

-- code of fitness here
fromTolFlata(rChrom,LBusLow,LBusMed,LBusPeak,Cap);
i:=Cap+i;
nNCap(NCap);

aphson(LBusLow,gBranch,gParamLF);
doHitungMaxdV(LBusLow);
x:=gParamLF.SumLoss.real;
doHitungMaxdS(gBranch);

aphson(LBusMed,gBranch,gParamLS);
doHitungMaxdV(LBusMed);
l:=gParamLF.SumLoss.real;
doHitungMaxdS(gBranch);

aphson(LBusPeak,gBranch,gParamLF);
doHitungMaxdV(LBusPeak);
tik:=gParamLF.SumLoss.real;
doHitungMaxdS(gBranch);
-- enter new code here
tungCostCap(Cap);
IMax(aVLow,dVMed,dVPeak);
IMax(aSLow,dSMed,dSPeak);
=FC+(rKelow*FTLow*FlossLow+rKemed*FTMed*FlossMed+
rKePeak*FTPeak*FlossPeak)+10*fv+10*f8;
}

when
doHitungCostCap(Cap);
doHitungPloss(PlossLow,PlossMed,PlossPeak);
IndMax(dVLow,dVMed,dVPeak);
IndMax(dSLow,dSMed,dSPeak);
=0.5*FF0;
Z:=-FF0;
-2*FF0;
stnff1(fmin,fmax,tD);
=tD;
=FC*CountCap*r(JmlCapBank*FCostCap);
stnff1(fmin,fmax,fc);
=0.05;
=0.1;
stnff1(fmin,fmax,fv);
=t;
=1.0;
stnff1(fmin,fmax,fs);
t:=uP+uC+uV+uS/uN;

:::unr

[TFitness.getParamChrom:integer;
high(FBatasChrom)+1;

TFitness.doHitungAkhir(const rChrom:bArr2;
var rLBus:TBusArr1;
var rCap:dArr2;

```

```
ow[i].QL:=rLBus[i].QL;
ow[i].Cap:=rLBus[i].Cap;
ow[i].typeBus:=rLBus[i].typeBus;
ed[i].absV:=rLBus[i].absV;
ed[i].sudV:=rLBus[i].sudV;
ed[i].Pgen:=rLBus[i].Pgen;
ed[i].Qgen:=rLBus[i].Qgen;
ed[i].PL:=FSmed*rLBus[i].PL;
ed[i].QL:=FSmed*rLBus[i].QL;
ed[i].Cap:=rLBus[i].Cap;
ed[i].typeBus:=rLBus[i].typeBus;
eak[i].absV:=rLBus[i].absV;
eak[i].sudV:=rLBus[i].sudV;
eak[i].Pgen:=rLBus[i].Pgen;
eak[i].Qgen:=rLBus[i].Qgen;
eak[i].PL:=FSpeak*rLBus[i].PL;
eak[i].QL:=FSpeak*rLBus[i].QL;
eak[i].Cap:=rLBus[i].Cap;
eak[i].typeBus:=rLBus[i].typeBus;

0;
aphson(LBusLow,gBranch,gParamLF);
gParamLF.SumLoss.real;
= result+FKeLow*FTlow*Floss;
aphson(LBusMed,gBranch,gParamLF);
gParamLF.SumLoss.real;
= result+FKeMed*FTMed*Floss;
aphson(LBusPeak,gBranch,gParamLF);
gParamLF.SumLoss.real;
= result+FKePeak*FTPeak*Floss;
```

Genetic;

is;

```
Cap=record  
  s:boolean;  
  u,capMed,capHigh:byte;
```

```
ip array of TAAlleleCap;
```

```
]:=record  
  TChromCap;  
  ss:double;
```

```
array of TIndiCap;
```

```
ition
```



PERMOHONAN PERSETUJUAN SKRIPSI

Yang belanda tangan dibawah ini :

Nama : MUCH SYUJAI
N.I.K. : 01.12.116
Sertester : VIII (Delapan)
Fakultas : Teknologi Industri
Jurusan : Teknik Elektro S-1
Konsentrasi : Teknik Energi Listrik
Alamat : J. PATIMURA NO.52 RUEUL KIDUL PAS.

Dengan ini kami mengajukan permohonan untuk mendapatkan persetujuan untuk membuat **SKRIPSI Tingkat Sarjana**. Untuk melengkapi permohonan tersebut, bersama kami lampirkan persyaratan-persyaratan yang harus dipenuhi.

Adapun persyaratan-persyaratan pengambilan **SKRIPSI** adalah sebagai berikut :

1. Telah melaksanakan semua praktikum sesuai dengan konsentrasiya
2. Telah lulus dan menyerahkan Laporan Praktek Kerja
3. Telah lulus seluruh mata kuliah keahlian (MKB) sesuai konsentrasiya
4. Telah menempuh mata kuliah ≥ 134 sks dengan IPK ≥ 2 dan tidak ada nilai E
5. Telah mengikuti secara aktif kegiatan seminar skripsi yang diadakan Jurusan
6. Memenuhi persyaratan administrasi

Demikian permohonan ini untuk mendapatkan penyelesaian lebih lanjut dan atas perhatiannya kami ucapkan terima kasih.

Telah diteliti kebenaran data tersebut diatas
Recording Teknik Elektro

Malang, 200

Pemohon

(..... Much Syuaji

Disetujui
Ketua Jurusan Teknik Elektro

Mengetahui
Dosen Wali

Ir. F. Yudi Limpraptono, MT
NIP. Y. 1039500274

(..... Ir. CHAFUL SHALEM, MT ..)

Catatan :

Bagi mahasiswa yang telah memenuhi persyaratan mengambil SKRIPSI agar membuat proposal dan mendapat persetujuan dari Ketua Jurusan/Sekretaris Jurusan T. Elektro S-1

1. Yudi Limpraptono, MT
2.
3.

Form. S-1a



PERKUMPULAN PENGELOLA PENDIDIKAN UMUM DAN TEKNOLOGI NASIONAL MALANG
INSTITUT TEKNOLOGI NASIONAL MALANG

FAKULTAS TEKNOLOGI INDUSTRI
FAKULTAS TEKNIK SIPIL DAN PERENCANAAN
PROGRAM PASCASARJANA MAGISTER TEKNIK

PERSERO) MALANG
NIAGA MALANG

Kampus I : Jl. Bendungan Sigura-gura No. 2 Telp. (0341) 551431 (Hunting) Fax. (0341) 553015 Malang 65145
Kampus II : Jl. Raya Karanglo, Km 2 Telp. (0341) 417636 Fax. (0341) 417634 Malang

Nomor : ITN-1182/I.TA/2/'06
Lampiran : satu lembar
Perihal : **BIMBINGAN SKRIPSI**

Kepada : Yth. Sdr. Ir. H. TAUFIK HIDAYAT, MT
Dosen Institut Teknologi Nasional
di –
Malang

Malang, 11 Maret 2006

Dengan Hormat,
Sesuai dengan permohonan dan persetujuan dalam proposal skripsi
melalui seminar proposal yang telah dilakukan untuk mahasiswa :

Nama	: MUH. SYUJAI
Nim	: 0112116
Fakultas	: Teknologi Industri
Jurusan	: Teknik Elektro
Konsentrasi	: T. Energi Listrik (S-1)

Dengan ini pembimbingan skripsi tersebut kami serahkan sepenuhnya
kepada saudara/I selama masa waktu **6 (enam) bulan** terhitung mulai
tanggal:

13 Jan. 2006 s/d 13 Juli 2006

Adapun tugas tersebut merupakan salah satu syarat untuk memperoleh
gelar Sarjana Teknik, Jurusan Teknik Elektro.

Demikian atas perhatian serta kerjasama yang baik kami ucapkan terima
kasih



Tindasan :

1. Mahasiswa yang bersangkutan
2. Arsip.

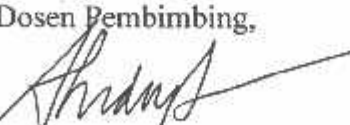
Form. S-4a

FORMULIR BIMBINGAN SKRIPSI

Nama : Much Syujai
Nim : 01.12.116
Masa Bimbingan : 13 Januari 2006 s/d 13 Juli 2006
Judul Skripsi : ANALISA PENEMPATAN KAPASITOR PADA JARINGAN DISTRIBUSI 20kV DENGAN METODE *INTERACTIVE TRADE-OFF* PADA G.I SENGKALING PENYULANG PUJON

No.	Tanggal	Uraian	Parap Pembimbing
1.	1 Maret 06	Tambahan: penjelasan Parameter program	Ah
2.		Tambahan: diagram favor penempatan kapasitor	Ah
3.		Kesimpulan berupa angka dan menjawab tanya	Ah
4.		buat analisis	Ah
5.		See untuk menghindari kyan	Ah
6.		.	
7.			
8.			
9.			
10.			

Malang 16-09-2006
Dosen Pembimbing,


Ir. H. Taufik Hidayat, MT
Nip.Y. 101 8700 151

Form.S-4b

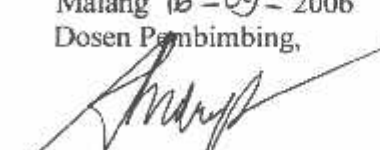


FORMULIR BIMBINGAN SKRIPSI

Nama : MUCH SYUJAI
Nim : 01.12.116
Masa Bimbingan : 13 JULI 2006 s/d 13 JANUARI 2007
Judul Skripsi : ANALISA PENEMPATAN KAPASITOR PADA JARINGAN DISTRIBUSI PRIMER 20kV DENGAN METODE INTERACTIVE TRADE-OFF PADA G.I SENGKALING PENYULANG PUJON

No.	Tanggal	Uraian	Parap Pembimbing
1.	1 maret 06	Selesaikan Bab I, II dan III	Ah
2.		Selesaikan Bab IV, Bab V	Ah
3.		Rewri Bab IV	Ah
4.		Rampirkan data = penyulang pujon	Ah
5.		Rewri Bab IV, algoritma masukilah Bab III	Ah
6.		Bertambah penulisan diterim	Ah
7.		flow chart distribusian	Ah
8.		Rewri Tentang Satuan Energy	Ah
9.		Cek kembali Referensi daya dasar	Ah
10.			

Malang 16-09-2006
Dosen Pembimbing,


Ir. H. Taufik Hidayat, MT
Nip. Y. 101.8700 151



INSTITUT TEKNOLOGI NASIONAL MALANG
FAKULTAS TEKNOLOGI INDUSTRI
JURUSAN TEKNIK ELEKTRO S-1
KONSENTRASI TEKNIK ENERGI LISTRIK

LEMBAR BIMBINGAN SKRIPSI

1. Nama : MUCH. SYUJAI
2. NIM : 01.12.116
3. NIRM : 0132021102116
4. Jurusan : TEKNIK ELEKTRO S-1
5. Konsentrasi : TEKNIK ENERGI LISTRIK
6. Judul Skripsi :

ANALISA PENEMPATAN KAPASITOR PADA JARINGAN DISTRIBUSI PRIMER 20kV DENGAN METODE *INTERACTIVE TRADE-OFF* PADA G.I SENGKALING PENYULANG PUJON

7. Tanggal Mengajukan Skripsi : 13 Januari 2006
8. Tanggal Menyelesaikan Skripsi : 26 September 2006
9. Dosen Pembimbing : Ir. H. Taufik Hidayat, MT
10. Telah dievaluasi dengan nilai : 85 (Delapan Puluh Lima)

Malang, September 2006

Mengetahui
Ketua Jurusan Teknik Elektro

Ir. F. Yudi Limpraptono, MT
NIP. P. 103 9500 274

Disetujui
Dosen Pembimbing

Ir. H. Taufik Hidayat, MT
NIP. P. 101 87000 151



INSTITUT TEKNOLOGI NASIONAL MALANG
FAKULTAS TEKNOLOGI INDUSTRI
JURUSAN TEKNIK ELEKTRO S-1
KONSENTRASI TEKNIK ENERGI LISTRIK

BERITA ACARA UJIAN SKRIPSI FAKULTAS TEKNOLOGI INDUSTRI

Nama Mahasiswa : MUCH. SYUJAI
N.I.M. : 01.12.116
Jurusan : Teknik Elektro S-1
Konsentrasi : Teknik Energi Listrik
Judul Skripsi : ANALISA PENEMPATAN KAPASITOR PADA JARINGAN DISTRIBUSI PRIMER 20 KV DENGAN METODE *INTERACTIVE TRADE-OFF* PADA G.I SENGKALING PENYULANG PUJON

Dipertahankan dihadapan Majelis Penguji Skripsi Jenjang Strata Satu (S-1) pada:

Hari : Kamis
Tanggal : 21 September 2006
Dengan Nilai : 77,5 (B+)



Panitia Ujian Skripsi

Ir. Mochtar Asroni, MSME
Ketua

Ir. F. Yudi Limpraptono, MT
Sekretaris

Anggota Penguji

Ir. Teguh Herbasuki, MT
Penguji Pertama

Ir. Eko Nurcahyo
Penguji Kedua



INSTITUT TEKNOLOGI NASIONAL
FAKULTAS TEKNOLOGI INDUSTRI
JURUSAN TEKNIK ELEKTRO

Formulir Perbaikan Ujian Skripsi

Dalam pelaksanaan Ujian Skripsi Janjang Strata 1 Jurusan Teknik Elektro Konsentasi T. Energi Listrik / T. Elektronika, maka perlu adanya perbaikan skripsi untuk mahasiswa :

NAMA : SUJAI
N I M : 0112116
Perbaikan meliputi :

Harap dicek data masukan untuk inputan pada program.

Malang,



INSTITUT TEKNOLOGI NASIONAL
FAKULTAS TEKNOLOGI INDUSTRI
JURUSAN TEKNIK ELEKTRO

Formulir Perbaikan Ujian Skripsi

Dalam pelaksanaan Ujian Skripsi Janjang Strata 1 Jurusan Teknik Elektro Konsentasi T. Energi Listrik / T. Elektronika, maka perlu adanya perbaikan skripsi untuk mahasiswa :

NAMA : Noch Sugai
NIM : 0112116
Perbaikan meliputi :

- Kegagalan agar divalidasi timonek program
anda jinak.

Malang,



PERSETUJUAN PERBAIKAN SKRIPSI

Dari hasil ujian skripsi Jurusan Teknik Elektro jenjang strata satu (S-1) yang diselenggarakan pada :

Hari : Kamis
Tanggal : 21 September 2006
Telah dilakukan perbaikan skripsi oleh :

1. Nama : MUCH. SYUJAI
2. NIM : 01.12.116
3. Jurusan : Teknik Elektro
4. Konsentrasi : Teknik Energi Listrik
5. Judul Skripsi : ANALISA PENEMPATAN KAPASITOR PADA JARINGAN DISTRIBUSI PRIMER 20 KV DENGAN METODE *INTERACTIVE TRADE-OFF* PADA G.I SENGKALING PENYULANG PUJON

Perbaikan meliputi :

No	Materi Perbaikan	Ket
1.	Harap dicek Data masukan untuk inputan pada program	
2.	Kesimpulan agar Divalidasi Termasuk Program yang anda gunakan	

Anggota Pengaji

Ir. Teguh Herbasuki, MT
Pengaji Pertama

Ir. Eko Nurcahyo
Pengaji Kedua

Dosen Pembimbing

Ir. H. TAUFIK HIDAYAT, MT
NIP.Y. 10187000151

UCAPAN
TERIMA KASIH



- Sahabat Aku Yang tercinta dan tersayang, Syamsul Arifin, ST, Yudha Krisna Widyantara, ST, Fahmi Ihsananto, ST, JAY Lulus ni....Sobat, Makasih..makasih.. Kapan Ngumpul Lagi.....???
- Yang Tersayang Ade'Q , yang selalu memberi motivasi dan Do'a, serta nasehatnya, Janji kakak sudah terpenuhi kan...? bahwa kakak lulus di bulan November. 17- Oktober-1986 apa ayoo?. Kakak makasih ya...? *ingat Janji ade'Q* KULIAH yang RAJIN Biar cePAT luLUS, ingat SHOlaTnya, *Kakak Suka siFat Ade'* , " JaDilah Ade'Q yang Dewasa " OTREEE" ..
- ARIZZA YUSNIA FITRI Ade'?? kamu Baik
- Santo, Handil, yang membantu memecahkan permasalahan dan dengan sabar menemani dalam pengerjaan Skripsi ini, kamu adalah temen aku ingat kita bimbingan 6 bulan lebih.
- Bimbingan Bapak akhirnya kita semua lulus : Nanang '01 (JaCkO), Soma '99, GiRi '98, DoYok '99, DaNi '97, Jagan Lupa adE'mu JaY Ya...
- Teman Kos 236 Sumber Sari Kalian Jangan Malas.
- Teman-teman Kontrakan PUSKOPAD Gassut 'Pendhi, Irwan, Empre't 'Arifin, Peri 'Duro Koye'sss, Germo 'Anam, Sapi 'Charis, JarWo 'Syafak, Misno 'Edwin, Brontok Tobil 'Dian, Sungeep 'Denny.
- Segenap pihak yang telah Membantu, yang tidak mungkin untuk disebutkan satu per satu.

Akhirnya penulis hanya bisa berharap agar Allah Subhanahu Wa Ta'ala membals segala karunianya, dan senantiasa memberikan Kemudahan serta keberuntungan kepada kita semua. Amien.



BIODATA
PENULIS

RIWAYAT HIDUP



Penulis bernama **MUCH SYUJAI**, lahir di kota PASURUAN pada tanggal 18 Januari 1983 pada hari yang sangat cerah dan damai. Penulis adalah anak ke empat dari lima bersaudara dari pasangan Bapak H.M. SHOLEH YAQOEB, I.I.S, dan Ibunda Hj. CHOST'AH SU'UDDAH, MA, yang selalu merasa bahagia

Riwayat Pendidikan Penulis :

Tahun 1994 : Lulus SDN I - III, Bugul Kidul PASURUAN

Tahun 1998 : Lulus MTsN 1 PASURUAN

Tahun 2001 : Lulus SMK UNTUNG SUROPATI PASURUAN

Tahun 2001 : Diterima Masuk Jurusan Elektro S-1 FTI - ITN MALANG
Melalui UMPT – ITN

Penulis menjadi Mahasiswa Teknik Elektro Dengan Nomor Induk Mahasiswa (NIM) 01.12.116. Selama Menjadi Mahasiswa, penulis aktif di WORKSHOP FTI - ITN, dan tentunya rajin Dalam Kegiatan Karya Tulis Ilmiah, dan Juga Sebagai Anggota PUSKOPAD FC.
